

**PERBANDINGAN VALIDASI METODE *PARTIAL LEAST SQUARE REGRESSION* DAN JARINGAN SYARAF TIRUAN
DALAM MEMPREDIKSI CURAH HUJAN BULANAN
DI KABUPATEN WAJO SULAWESI SELATAN**



SKRIPSI

Diajukan Untuk Memenuhi Salah Satu Syarat Meraih Gelar
Sarjana Sains Pada Jurusan Fisika Fakultas Sains dan Teknologi
Universitas Islam Negeri Alauddin Makassar

Oleh:

NUREADHILAH JUSMAN

NIM. 60400117003

**FAKULTAS SAINS DAN TEKNOLOGI
UIN ALAUDDIN MAKASSAR
2021**

PERNYATAAN KEASLIAN SKRIPSI

Mahasiswa yang bertanda tangan di bawah ini:

Nama : Nurfadhilah Jusman
NIM : 60400117003
Tempat/Tanggal Lahir : Lompolang, 29 Oktober 1999
Jurusan/Prodi/Konsentrasi : Fisika
Fakultas/Program : Sains dan Teknologi/S1
Alamat : Samata
Judul : Perbandingan Validasi Metode *Partial Least Square Regression* dan Jaringan Syaraf Tiruan dalam Memprediksi Curah Hujan Bulanan di Kabupaten Wajo Sulawesi Selatan

Menyatakan dengan sesungguhnya dan penuh kesadaran bahwa skripsi ini benar adalah hasil karya sendiri. Jika dikemudian hari terbukti bahwa ia merupakan duplikat, tiruan, plagiat, atau dibuat oleh orang lain, sebagian atau seluruhnya, maka skripsi dan gelar yang diperoleh karenanya batal demi hukum.

Gowa-Samata, 29 Oktober 2021

Penyusun



Nurfadhilah Jusman
NIM. 60400117003

PENGESAHAN SKRIPSI

Skripsi yang berjudul “**Perbandingan Validasi Metode *Partial Least Square Regression* dan Jaringan Syaraf Tiruan dalam Memprediksi Curah Hujan Bulanan di Kabupaten Wajo Sulawesi Selatan**” yang disusun oleh **Nurfadhilah Jusman** NIM: **60400117003**, mahasiswa Jurusan Fisika pada Fakultas Sains dan Teknologi UIN Alauddin Makassar, telah diuji dan dipertahankan dalam sidang munaqasyah yang diselenggarakan pada hari Jumat, tanggal **15 November 2021 M**, bertepatan dengan **10 Rabiul Akhir 1443 H**, dinyatakan telah dapat diterima sebagai salah satu syarat untuk memperoleh gelar Sarjana dalam Ilmu Sains dan Teknologi, Jurusan Fisika (dengan beberapa perbaikan).

Makassar, 15 November 2021 M.
10 Rabiul Akhir 1443 H.

DEWAN PENGUJI :

Ketua : Prof. Dr. Muhammad Halifah Mustami., M.Pd. (.....)
Sekretaris : Ihsan, S.Pd., M.Si. (.....)
Penguji I : Ayusari Wahyuni, S.Si., M.Sc. (.....)
Penguji II : Dr. Sohrah, M.Ag. (.....)
Pembimbing I : Muh. Said. L, S.Si., M.Pd. (.....)
Pembimbing II: Fitriyanti, S.Si., M.Sc. (.....)

Diketahui Oleh:
Dekan Fakultas Sains dan Teknologi
UIN Alauddin Makassar,

Prof. Dr. Muhammad Halifah Mustami, M.Pd
NIP: 19710412 200003 1 001

KATA PENGANTAR

Alhamdulillah, puji syukur kehadirat Allah SWT karena berkat rahmat dan karunia-Nya sehingga penulis dapat menyelesaikan laporan Tugas Akhir yang berjudul **“Perbandingan Validasi Metode Partial Least Square Regression dan Jaringan Syaraf Tiruan dalam Memprediksi Curah Hujan Bulanan di Kabupaten Wajo Sulawesi Selatan”**. Tidak lupa shalawat serta salam dikirimkan pada Baginda Nabi Muhammad SAW beserta para sahabat, semoga syafaat dikaruniakan kepada kita semua. Aamiin. Penulisan laporan Tugas Akhir ini bertujuan sebagai syarat untuk memperoleh gelar Sarjana Sains bidang studi Fisika di Jurusan Fisika Fakultas Sains dan Teknologi Universitas Islam Negeri Alauddin Makassar. Penulis mengucapkan terima kasih terkhusus pada diri sendiri yang mampu bertahan dan menyesuaikan diri hingga sampai sekarang ini, menjadi manusia kuat yang mampu dan berani merantau ke tempat yang jauh dari kampung halaman, orang tua, bahkan keluarga demi melangsungkan pendidikan, merupakan salah satu kebanggaan tersendiri buat saya bisa kuliah di salah satu kampus negeri bernuansa islam terbaik yang berada di Indonesia Timur **UIN Alauddin Makassar**. Terima kasih kepada pihak-pihak yang telah banyak membantu selama penyusunan dan pelaksanaan tugas akhir. Karya ini penulis persembahkan kepada kedua orang tua penulis Bapak **Jusman Asri** yang senantiasa bekerja keras demi kehidupan keluarga dan pendidikan anaknya, selalu memberikan nasehat, dukungan, do'a, serta motivasi-motivasi untuk keluarga, juga kepada Ibu **Surianti** yang senantiasa memanjatkan do'a, memberikan dukungan, menjadi tempat ternyaman dikala bercerita, menjadi motivator, menjadi guru untuk anaknya dan selalu memberikan kasih sayang yang tulus dan ikhlas kepada seluruh keluarga, terima kasih kepada Dosen Pembimbing I Bapak **Muh. Said I., S.Si., M.Pd.**, yang telah meluangkan waktu, pikiran, materi dan tenaga dalam memberikan bimbingan dan mengarahkan serta memberi motivasi kepada penulis untuk menyelesaikan penelitian ini. Kepada Dosen Pembimbing II Ibu **Fitriyanti S.Si., M.Sc.**, yang senantiasa membimbing dan memberi nasehat dan saran kepada penulis tentang penulisan skripsi yang baik dan benar. Selain itu penulis juga mengucapkan terima kasih kepada pihak-pihak

yang telah banyak memberikan bantuan, bimbingan, dukungan, saran dan kritiknya, diantaranya:

1. Bapak **Prof. Hamdan Juhanis, M.A., Ph.D** selaku Rektor Universitas Islam Negeri (UIN) Alauddin Makassar periode 2019-sekarang.
2. Bapak **Prof. Dr. Muhammad Halifah Mustami, M.Pd** selaku Dekan Fakultas Sains dan teknologi Universitas Islam Negeri Alauddin Makassar Periode 2019-sekarang.
3. Bapak **Ihsan, S.Pd., M.Si** Ketua Jurusan Fisika Fakultas Sains dan Teknologi yang telah banyak memberikan saran, masukan dan motivasi selama berstatus mahasiswa di jurusan Fisika Fakultas Sains dan Teknologi.
4. Bapak **Muh. Said L, S.Si., M.Pd.**, selaku Sekretaris Jurusan Fisika Fakultas Sains dan Teknologi yang senantiasa memberikan dorongan motivasi, membimbing dan memberikan saran kepada penulis selama berstatus mahasiswa di jurusan Fisika Fakultas Sains dan Teknologi.
5. Ibu **Ayusari Wahyuni, S.Si., M.Sc.**, selaku Dosen Penguji I yang telah memberikan saran dan masukan kepada penulis dalam proses penyusunan skripsi.
6. Ibu **Dr, Sohrah, M.Ag.**, selaku Dosen Penguji I yang telah memberikan saran dan masukan kepada penulis dalam proses penyusunan skripsi.
7. Dosen pengajar Jurusan Fisika Fakultas Sains dan Teknologi, Bapak **Iswadi, S.Pd., M.Si**, Ibu **Sahara, S.Si., M.Sc., Ph.D**, Ibu **Rahmaniah, S.Si., M.Si**, Ibu **Nurul Fuadi, S.Si., M.Si.**, Ibu **Kurniati Abidin, S.Si., M.Sc**, Ibu **Hernawati, S.Pd., M.Pfis** dan **Dosen lainnya** yang telah meluangkan waktu dan tenaga serta membimbing dan membagi ilmu di bangku kuliah juga kepada ibu Hadiningsih, SE selaku staf administrasi Jurusan Fisika.
8. **Bapak Muhtar, S.T., M.T**, bapak **Abdul Mun'im, S.T., M.T**, bapak **Ahmad Yani S.Si** dan ibu **Nurhaisah, S.Si** sebagai Laboran di Laboratorium Jurusan Fisika Fakultas Sains dan Teknologi yang telah membimbing selama praktikum.

9. Seluruh **staf akademik** yang ada dalam lingkup Fakultas Sains dan Teknologi yang selalu siap dan sabar melayani dalam pengurusan berkas.
10. Semua keluarga besar yang berada di kampung yang tidak bisa saya sebutkan satu persatu.
11. Teruntuk diri saya sendiri, **Nurfadhilah Jusman**. Terima kasih telah berusaha menyelesaikan tanggungjawab ini. Terima kasih untuk tetap bertahan meskipun terdapat banyak tekanan saat menghadapi segala permasalahan. Kamu hebat. Ayo semangat dan gapai cita-cita bersama.
12. Seluruh rekan seperjuangan **Fisika 2017 (INTENS17AS)**, **Orang Baik** dan **Ukhtiers** terima kasih atas segala kenangan dan dukungannya selama ini.
13. Kepada pihak-pihak yang tidak dapat penulis sebut satu persatu namanya. Semoga Allah membalas dengan kebaikan.

Penulis menyadari bahwa dalam penyusunan laporan tugas akhir ini masih banyak terdapat kekurangan. Oleh karena itu, penulis mengharapkan saran ataupun kritik yang sifatnya membangun. Semoga laporan Tugas Akhir ini dapat bermanfaat bagi penulis dan pembaca. Terima kasih.

Gowa-Samata, 29 Oktober 2021


Nurfadhilah Jusman
NIM. 60400117003

UNIVERSITAS ISLAM NEGERI
ALAUDDIN
M A K A S S A R

DAFTAR ISI

JUDUL	1
PERNYATAAN KEASLIAN SKRIPSI.....	II
KATA PENGANTAR.....	IV
DAFTAR ISI.....	VI
DAFTAR GAMBAR.....	VII
DAFTAR TABEL.....	XI
DAFTAR GRAFIK	X1
DAFTAR LAMPIRAN	X11
ABSTRACT	X111
ABSTRAK	XIV
BAB 1 PENDAHULUAN	1
A. Latar Belakang	1
B. Rumusan Masalah	4
C. Tujuan Penelitian	5
D. Ruang Lingkup Penelitian	5
E. Manfaat Penelitian	6
BAB II TINJAUAN TEORETIS	7
A. Gambaran Umum Daerah Kabupaten Wajo.....	7
B. Perspektif Curah Hujan dalam Al Qur'an dan Sains	9

C. Curah Hujan	12
D. Pendekatan <i>Statistical Downscaling</i>	16
E. Metode <i>Partial Least Square Regression</i>	18
F. Metode Jaringan Syaraf Tiruan.....	19
G. <i>Root Mean Square Error (RMSE)</i>	25
BAB III METODE PENELITIAN	26
A. WAKTU DAN LOKASI PENELITIAN.....	26
B. ALAT DAN BAHAN	26
C. PROSEDUR KERJA	27
1. Studi Literatur	27
2. Teknik Pengumpulan Data.....	27
3. Teknik Analisis Data	28
4. Tabel Penelitian	31
5. Perbandingan Hasil Analisis Data	32
D. BAGAN ALIR PENELITIAN.....	33
BAB IV HASIL DAN PEMBAHASAN.....	38
A. HASIL PENELITIAN.....	38
1. Data Penelitian.....	38
2. Hasil Pengolahan Data.....	39
B. PEMBAHASAN	51
BAB V PENUTUP	54
A. KESIMPULAN.....	54

B. SARAN	56
DAFTAR PUSTAKA	57
LAMPIRAN I	60
LAMPIRAN II	61
LAMPIRAN III	66
LAMPIRAN IV	72
LAMPIRAN V	82
LAMPIRAN VI	83
LAMPIRAN VII	89



DAFTAR GAMBAR

GAMBAR	KETERANGAN	HALAMAN
2.1	Peta Administrasi Kabupaten Wajo	7
2.2	Presentasi Lapangan Kerja Penduduk Kabupaten Wajo	9
2.3	Siklus Terjadinya Hujan	13
2.4	Ilustrasi Model <i>Downscaling</i>	16
2.5	Desain Jaringan Syaraf Tiruan	21
2.6	Desain JST dengan <i>Backpropagation</i>	22



DAFTAR TABEL

TABEL	KETERANGAN TABEL	HALAMAN
2.1	Kriteria Intensitas Curah Hujan	14
3.1	Hubungan Prediktor dan Curah Hujan	31
3.2	Data Curah Hujan dan Normalisasi	32
3.3	Perbandingan Validasi Metode PSLR dan JST	32
4.1	Nilai Rata-Rata Data Variabel pada Ketiga Pos Hujan	39
4.2	Hasil Perbandingan Curah Hujan Aktual dan Prediksi Pada Pos Hujan Sakkoli (Pos I)	40
4.3	Hasil Perbandingan Curah Hujan Aktual dan Prediksi Pada Pos Hujan Paria/Majennang (Pos II)	43
4.4	Hasil Perbandingan Curah Hujan Aktual dan Prediksi Pada Pos Hujan Anabanua (Pos III)	46
4.5	Perbandingan Nilai Validasi Metode <i>Partial Least Square Regression</i> dan Jaringan Syaraf Tiruan	49
4.6	Data Curah Hujan pada Tahun 2016-2020 pada pos hujan Anabanua (Pos III)	42

DAFTAR GRAFIK

GRAFIK	KETERANGAN	HALAMAN
4.1	Nilai Perbandingan Curah Hujan Aktual dan prediksi Menggunakan Metode PLSR dan JST (Pos I)	42
4.2	Nilai Perbandingan Curah Hujan Aktual dan prediksi Menggunakan Metode PLSR dan JST (Pos II)	45
4.3	Nilai Perbandingan Curah Hujan Aktual dan prediksi Menggunakan Metode PLSR dan JST (Pos III)	48
4.4	Model Uji Prediksi Curah Hujan Tahun 2021	50
4.5	Model Uji Prediksi Curah Hujan Tahun 2021	51



DAFTAR LAMPIRAN

LAMPIRAN	KETERANGAN	HALAMAN
I	Data Curah Hujan Bulanan Kabupaten Wajo	60
II	Data Prediktor Bulanan	61
III	Proses Pengolahan Data Metode <i>Partial Least Square Regression</i>	66
IV	Proses Pengolahan Data Metode Jaringan Syaraf Tiruan	72
V	Hasil Model Uji Prediksi Curah Hujan 2021	82
VI	Perbandingan Curah Hujan Aktual Dan Prediksi	83
VII	Nilai T Tabel	89

ABSTRACT

Name : Nurfadhilah Jusman
NIM : 60400117003
Title : **Comparison of the Validation of Partial Least Square Regression Methods and Neural Networks in Forecasting Monthly Rainfall in Wajo Regency, South Sulawesi**

Rainfall prediction in Wajo Regency, South Sulawesi uses two approach methods, namely Partial Least Square Regression Method and Artificial Neural Network Method. Both methods use secondary data from the Meteorology, Climatology, and Geophysics Agency as well as secondary data from NOAA's data centers on The Partial Least Square Regression Method. The Partial Least Square Regression method is often used because of the multicollinearity between predictor data and predictive data due to global data used. Meanwhile, the Neural Network method is used in processing information using the Backpropagation algorithm. Both methods use rainfall data from 2016 to 2020. Some of the software used are Matrix Laboratory, SmartPLS, and Microsoft Excel. Mean, the results obtained in the form of a graph pattern between prediction data and actual data and Root Mean Square Error-values as a comparison of the two data. From the research conducted it can be concluded if the method used in predicting rainfall is better, using the Neural Network method than using the Partial Least Square Regression method. This is because the Root Mean Square Error value in the Partial Least Square Regression method is larger. After all, the global data used is less specific than the Neural Network method which uses a special Backpropagation algorithm to obtain a smaller error output.

KEY WORDS: Rainfall Prediction, Partial Least Squares Regression, Neural Networks, RMSE.

UNIVERSITAS ISLAM NEGERI
ALAUDDIN
M A K A S S A R

ABSTRAK

Nama : Nurfadhilah Jusman
NIM : 60400117003
Judul : Perbandingan Validasi Metode *Partial Least Square Regression* dan Jaringan Syaraf Tiruan dalam Memprediksi Curah Hujan Bulanan di Kabupaten Wajo, Sulawesi Selatan

Prediksi curah hujan di Kabupaten Wajo, Sulawesi Selatan menggunakan dua metode pendekatan yakni metode *Partial Least Square Regression* dan metode Jaringan Syaraf Tiruan. Kedua metode tersebut menggunakan data sekunder dari Badan Meteorologi, Klimatologi dan Geofisika serta data sekunder dari pusat data NOAA pada metode *Partial Least Square Regression*. Metode *Partial Least Square Regression* seringkali digunakan karena adanya *multikolinearitas* di antara data prediktor dan data prediktan akibat data global yang digunakan. Sedangkan, metode Jaringan Syaraf Tiruan digunakan dalam memproses informasi menggunakan algoritma *Backpropagation*. Kedua metode ini menggunakan data curah hujan dari tahun 2016 hingga 2020. Beberapa *software* yang digunakan yakni *Matrix Laboratory*, *SmartPLS* dan *Microsoft Excel*. Adapun, hasil yang diperoleh berupa pola grafik antara data prediksi dan data aktual serta nilai *Root Mean Square Error* sebagai pembanding kedua data tersebut. Dari penelitian yang dilakukan dapat disimpulkan jika metode yang digunakan dalam memprediksi curah hujan lebih baik yaitu menggunakan metode Jaringan Syaraf Tiruan dibandingkan menggunakan metode *Partial Least Square Regression*. Hal ini dikarenakan nilai *Root Mean Square Error* pada metode *Partial Least Square Regression* yang lebih besar dikarenakan data global yang digunakan kurang spesifik dibandingkan dengan metode Jaringan Syaraf Tiruan yang menggunakan algoritma *Backpropagation* khusus untuk memperoleh keluaran error yang lebih kecil.

KATA KUNCI: Curah Hujan, *Partial Least Square Regression*, *Jaringan Syaraf Tiruan*, *RMSE*.



BAB I

PENDAHULUAN

A. Latar Belakang

Hujan merupakan unsur terpenting yang sangat berpengaruh dalam kehidupan sehari-hari. Curah hujan yang turun sebenarnya dapat diprediksi menggunakan beberapa metode namun dengan tingkat akurasi yang tidak pasti (Muflih, dkk., 2019). Intensitas curah hujan dapat ditentukan dengan melakukan analisis terhadap variabel-variabel yang mempengaruhi data curah hujan. Hal ini dimaksudkan agar analisis yang diperoleh dapat berperan penting dalam mengelola sumber daya air untuk kepentingan masyarakat (Sofian, 2017).

Pada musim pancaroba, wilayah tersebut mengalami kondisi cuaca yang tidak stabil Indonesia berada tepat di garis khatulistiwa dengan letak geografis pada 95° BT – 141° BT dan 6° LU – 11° LS yang beriklim tropis dengan karakteristik curah hujan tinggi (Nandani, 2017). Secara umum, model musim di Indonesia disebut dengan *monsun* yang menghasilkan dua musim yang berbeda yaitu musim hujan dan kemarau. Puncak dari kemarau terjadi ketika bulan juni, juli dan agustus, sedangkan puncak musim hujan terjadi ketika bulan desember, januari dan februari (Andrian, 2016). Setiap wilayah di Indonesia memiliki karakteristik cuaca yang berbeda seperti kabupaten Wajo. Kabupaten Wajo terletak pada $3^{\circ} 39' - 4^{\circ} 16'$ LS dan $119^{\circ} 53' - 120^{\circ} 27'$ BT dengan luas wilayah yaitu $2.506,19 \text{ km}^2$ ini memiliki periode curah hujan rata-rata 8.000 mm dengan dan akibatnya sebanyak $42,59\%$ penduduknya yang berprofesi sebagai petani mengalami kerugian dalam memproduksi hasil tanam padi (Wajo dalam angka, 2018). Oleh karenanya, dibutuhkan solusi dari permasalahan tersebut guna memprediksikan curah hujan.

Prediksi curah hujan dapat dilakukan dengan menggunakan teknik *Statistical Downscaling* (Soleh, dkk., 2015). Teknik ini umum digunakan untuk mengubah grid-grid berskala besar menjadi grid-grid yang berskala kecil dengan memanfaatkan nilai luaran *General Circulation Model (GCM)* sebagai prediktor dan nilai lokal sebagai prediktan serta terbagi menjadi dua model pendekatanyaitu model pendekatan parametrik dan non parametrik (Wigena, 2006). Contoh model pendekatan parametrik yaitu model *Partial Least Square Regression (PLSR)* dan *Principal Component Regression (PCR)*. Sedangkan model pendekatan non parametrik yang umum digunakan untuk saat ini yaitu Jaringan Syaraf Tiruan (JST) dan *Projection Pursuit Regression (PPR)* (Bretherton, dkk., 1992). Penelitian yang akan dilakukan sekarang berfokus pada metode *Partial Least Square Regression (PLSR)* dan metode Jaringan Syaraf Tiruan menggunakan *Backpropagation*.

Metode *PLSR* merupakan metode yang memadukan analisis *PCA* dan *Multi Regression* untuk memprediksi variabel prediktan berdasarkan variabel prediktor (Wigena, 2011). Metode ini pernah diteliti oleh Estiningtyas dan Wigena (2011), dengan membandingkan dua metode yaitu metode *PCR* dan *PLSR* untuk memperoleh hasil validasi prediksi curah hujan di kabupaten Indramayu. Mamenun (2012), meneliti curah hujan anomali dengan menggunakan dua metode yaitu metode *PCR* dan *PLSR* di wilayah Makassar. Selain itu, pemodelan *statistical downscaling* juga pernah diteliti oleh Sahriman (2016), dengan metode *Partial Least Square Regression (PLSR)* dan menggunakan komponen waktu tunda untuk memprediksi curah hujan.

Selain metode *PLSR* terdapat juga metode JST yang merupakan metode dalam mengimplementasikan pola pikir otak manusia ke dalam *Artificial Intelligence* dengan menggunakan pola pelatihan *backpropagation* atau propagasi balik. JST dengan *backpropagation* merupakan salah satu sistem yang dapat digunakan untuk memprediksi curah hujan melalui tingkat akurasi. Prediksi curah hujan dengan menggunakan metode ini pernah diteliti oleh Rachmawati (2015), dengan menggunakan metode JST *backpropagation*. Metode tersebut menggunakan beberapa prediktor seperti suhu untuk memprediksi curah hujan di Pontianak. Penelitian lainnya pernah dilakukan oleh Manalu (2016), di kota Medan dengan menguji data curah hujan sehingga memperoleh nilai yaitu 0,13567829. Sedangkan penelitian yang dilakukan oleh Dewi, dkk (2019), dapat memperoleh nilai untuk data curah hujan sebesar 405,1994.

Metode *PLSR* dan JST ini cocok untuk digunakan dalam memprediksi curah hujan. Hal ini didasari dengan adanya beberapa penelitian sebelumnya. Untuk mengetahui tingkat keakuratan dari kedua metode perlu diadakan sebuah perbandingan dengan menggunakan nilai *Root Mean Square Error (RMSE)* dan nilai korelasi antara data prediksi dan data validasi. Cara memperoleh prediksi curah hujan pada metode *PLSR* yaitu dengan melakukan dekomposisi variabel prediktor (X) dan variabel prediktan (Y) secara bersamaan dengan tahap regresi dimana hasil dekomposisi variabel prediktor (X) digunakan dalam memprediksi variabel prediktan (Y). Berbeda dengan metode JST yang lebih fleksibel dengan menggunakan *backpropagation* melalui fungsi aktivasi *sigmoid bipolar* dan *sigmoid biner*.

Prediksi curah hujan dengan menggunakan kedua metode tersebut sangat penting bagi para petani khususnya di kabupaten Wajo yang menurut data Diskominfo kabupaten Wajo (2018), sebanyak 75.367 orang berprofesi sebagai petani dari total 172.382 orang di kabupaten Wajo. Maka dari itu, prediksi curah hujan menjadi hal paling penting bagi petani dengan harapan dapat meminimalisir kegagalan panen akibat ketidaktepatan dalam memulai awal penanaman padi sekaligus memberi informasi mengenai pola-pola curah hujan yang akan datang setiap bulannya.

Berdasarkan uraian di atas maka akan dilakukan penelitian untuk menentukan model prediksi curah hujan bulanan dengan metode *Partial Least Square Regression (PLSR)* dan JST serta memperoleh perbedaan tingkatkeakuratan prediksi curah hujan bulanan di kabupaten Wajo, Sulawesi Selatan.

B. Rumusan Masalah

Rumusan masalah yang diteliti pada penelitian ini adalah sebagai berikut:

1. Bagaimana hasil curah hujan bulanan dengan metode *Partial Least Square Regression (PLSR)* dan Jaringan Syaraf Tiruan secara aktual dan prediksi di kabupaten Wajo, Sulawesi Selatan?
2. Bagaimana hasil perbandingan nilai validasi prediksi curah hujan bulanan dengan metode *Partial Least Square Regression (PLSR)* dan Jaringan Syaraf Tiruan di kabupaten Wajo, Sulawesi Selatan?

C. Tujuan Penelitian

Tujuan yang diteliti pada penelitian ini adalah sebagai berikut:

1. Untuk mengetahui hasil curah hujan bulanan dengan metode *Partial Least Square Regression (PLSR)* dan Jaringan Syaraf Tiruan secara aktual dan prediksi di kabupaten Wajo, Sulawesi Selatan.
2. Untuk mengetahui perbandingan nilai validasi prediksi curah hujan bulanan dengan metode *Partial Least Square Regression (PLSR)* dan Jaringan Syaraf Tiruan di kabupaten Wajo, Sulawesi Selatan.

D. Ruang Lingkup Penelitian

Ruang lingkup penelitian yang dikaji pada penelitian ini adalah sebagai berikut:

1. Objek penelitian berada di kabupaten Wajo, Sulawesi Selatan dengan titik koordinat $3^{\circ} 39'$ hingga $4^{\circ} 16'$ Lintang Selatan dan $119^{\circ} 53'$ hingga $120^{\circ} 27'$ Bujur Timur dan luas wilayah kabupaten Wajo seluas $2.506,19 \text{ km}^2$.
2. Data untuk model uji prediksi dimulai dari tahun 2016-2020 dan data prediksi pada tahun 2021.
3. Data yang akan digunakan pada metode *Partial Least Square Regression (PLSR)* adalah data prediktor yang diperoleh melalui website www.ncdc.noaa.gov dan data prediktan berupa data curah hujan yang diperoleh dari BMKG Wilayah IV Sulawesi Selatan dari tahun 2016-2020.
4. Metode Jaringan Syaraf Tiruan yang digunakan yaitu *backpropagation* atau propagasi mundur.
5. Data yang akan digunakan pada Jaringan Syaraf Tiruan adalah data curah hujan

dari Badan Meteorologi, Klimatologi dan Geofisika Wilayah IV Sulawesi Selatan dari tahun 2016-2020.

6. Nilai validasi untuk uji model prediksi yang digunakan yaitu nilai RMSE dan nilai korelasi.
7. Pengolahan data akan dilakukan dengan menggunakan *Microsoft Office Word 2010, Microsoft Excel, Arcgis 10.3, SmartPLS, dan Matlab R2019a.*

E. Manfaat Penelitian

Manfaat yang diperoleh pada penelitian ini adalah sebagai berikut:

1. Masyarakat

Memberikan informasi kepada masyarakat mengenai hasil struktur jaringan untuk model uji prediksi yang nantinya mampu digunakan kembali dalam memprediksi curah hujan tahun berikutnya.

2. Mahasiswa

Menambah informasi mengenai penentuan prediksi curah hujan dengan berbagai pendekatan dan metode yang dapat dijadikan sebagai referensi untuk penelitian selanjutnya.

3. Pemerintah

Memberikan informasi berupa sarana pengembangan informasi mengenai cuaca kepada instansi BMKG wilayah IV Sulawesi Selatan, khususnya bagian Klimatologi dan Meteorologi serta Badan Pusat Statistik kabupaten Wajo

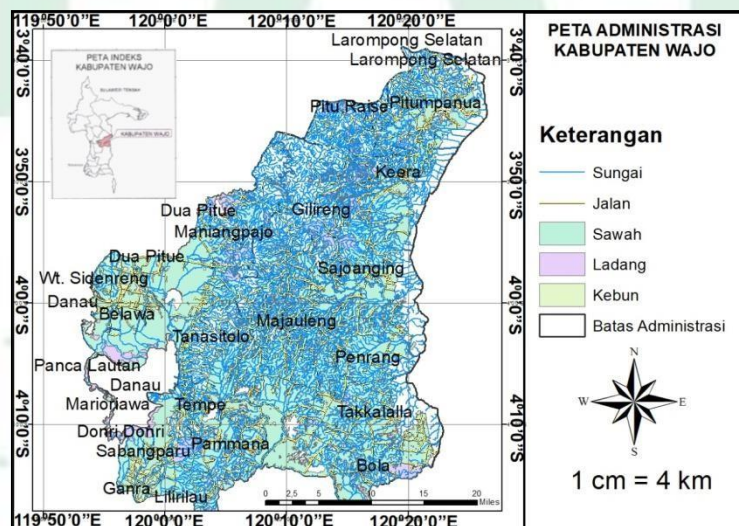
BAB II

TINJAUAN TEORETIS

A. Gambaran Umum Daerah Kabupaten Wajo

1. Kondisi Geografi

Provinsi Sulawesi Selatan dengan ibukota Makassar ini terletak diantara $0^{\circ} 12'$ hingga 8° Lintang Selatan dan $116^{\circ} 48'$ hingga $122^{\circ} 36'$ Bujur Timur yang dibatasi oleh provinsi Sulawesi Barat dan Teluk Bone serta Provinsi Sulawesi Tenggara di sebelah timur. Sebelah barat dan timur dibatasi oleh Selat Makassar dan Laut Flores. Luas wilayah provinsi Sulawesi Selatan tercatat $46.083,94 \text{ km}^2$ dengan 21 kabupaten dan 3 kota. Salah satunya adalah kabupaten Wajo yang berjarak 242 km^2 dari Makassar (BPS Kab. Wajo. 2020) seperti yang terlihat pada gambar berikut:



Gambar 2. 1 Peta Administrasi Kabupaten Wajo (Sumber: Dokumen Pribadi)

Gambar 2.1 merupakan peta daerah kabupaten Wajo dengan ibukota Sengkang yang memanjang dari arah laut Tenggara dan berakhir dengan teluk

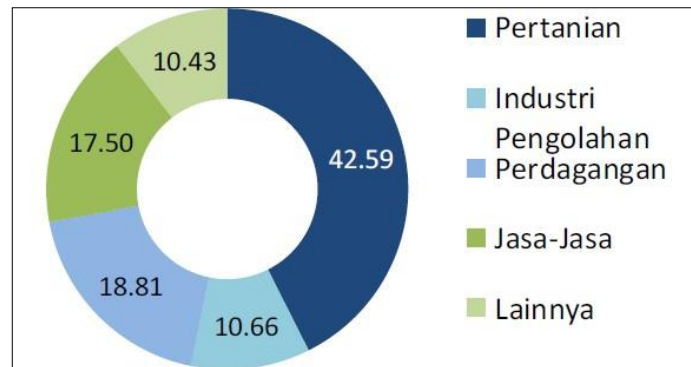
Bone. Letak geografis kabupaten Wajo yaitu 3° 39' hingga 4° 16' Lintang Selatan dan 119° 53' hingga 120° 27' Bujur Timur. Luas wilayah kabupaten Wajo seluas 2.506,19 km² atau 4,01% dengan luas sawah yaitu 96,598 Ha, lahan bukan sawah 129,530 Ha dan bukan lahan pertanian yaitu 24,491 Ha. Batas wilayah untuk sebelah utara adalah kabupaten Luwu dan kabupaten Sidrap, sebelah selatan yaitu kabupaten Bone dan kabupaten Soppeng, sebelah timur yaitu teluk Bone dan sebelah barat yaitu kabupaten Soppeng dan kabupaten Sidrap (BPS Kab. Wajo. 2020).

2. Kondisi Iklim

Kabupaten Wajo terkenal memiliki iklim tropis. Kabupaten Wajo berada pada *Type B* yang beriklim tropis yaitu 29°C sampai 31°C, dengan suhu rata-rata 29°C pada siang hari. Periode curah hujan di daerah ini relatif singkat, yaitu rata-rata curah hujan bulan April sampai Juni dan Agustus sampai Oktober selama 3 bulan, curah hujan rata-rata 8.000 mm/tahun, dan terdapat 120 hari hujan (Pusatdata.Wajokab.go.id).

3. Kondisi Masyarakat

Menurut data Dinas Komunikasi dan Informatika Wajo (2018), status masyarakat di kabupaten Wajo sangat penting, khususnya bagi petani di wilayah Wajo yang dari 172.382 jiwa sebanyak 75.367 berprofesi sebagai petani. Berikut ini, data presentasi lapangan kerja di kabupaten Wajo.



Gambar 2. 2 Presentasi Lapangan Kerja Penduduk Kabupaten Wajo (Sumber: Wajo dalam Angka. 2018)

Berdasarkan data pada gambar 2.2, sektor pertanian merupakan satu-satunya sektor lapangan kerja yang didominasi oleh penduduk kabupaten Wajo. Sekitar 42,59% penduduknya adalah petani. Kemudian penduduk yang melakukan perdagangan sebesar 18,81%, dan penduduk yang bergerak di bidang industri pengolahan sebesar 17,50% (Wajo dalam Angka, 2018).

B. Perspektif Curah Hujan dalam Al Qur'an dan Sains

Hujan adalah berkah yang diberikan oleh Allah swt. Hujan disebut sekitar 55 kali dalam Al Qur'an. Hujan mempunyai fungsi yang penting untuk kehidupan makhluk hidup, curah hujan yang turun di suatu daerah dapat diprediksikan namun tidak dapat ditentukan secara pasti dengan menggunakan data masa lampau untuk memprediksikan besarnya curah hujan yang akan datang. Adapun firman Allah swt pada QS Al-Baqarah/2: 22, berbunyi:

الَّذِي جَعَلَ لَكُمُ الْأَرْضَ فِرَاشًا وَالسَّمَاءَ بِنَاءً وَأَنْزَلَ مِنَ السَّمَاءِ مَاءً فَأَخْرَجَ بِهِ مِنَ الثَّمَرَاتِ رِزْقًا لَكُمْ فَلَا تَجْعَلُوا لِلَّهِ أَنْدَادًا وَأَنْتُمْ تَعْلَمُونَ ﴿٢٢﴾

Terjemahnya:

“(Dialah) yang menjadikan bagimu bumi (sebagai) hamparan dan langit sebagai atap, dan Dialah yang menurunkan air (hujan) dari langit, lalu Dia menghasilkan dengan (hujan) itu buah-buahan sebagai rezeki untuk kamu. Oleh karena itu, janganlah kamu mengadakan tandingan-tandingan bagi Allah, padahal kamu mengetahui” (Kementerian Agama RI. 2019).

Menurut Ibnu Katsir, Allah swt menjelaskan tentang sifat uluhiyyahNya yang Maha Esa, bahwa Dialah yang memberi nikmat kepada hamba-hambaNya dengan menciptakan mereka dari tiada ke alam wujud, lalu melimpahkan kepada mereka segala macam nikmat lahir dan batin. Allah swt menjadikan bagi mereka bumi sebagai hamparan untuk tempat mereka tinggal, diperkokoh kestabilannya dengan gunung-gunung yang tinggi lagi besar, dan Dia menjadikan langit sebagai atap, sebagaimana disebutkan dalam QS Faathir/35: 9, berbunyi:

وَاللَّهُ الَّذِي أَرْسَلَ الرِّيحَ فَتُثِيرُ سَحَابًا فَسُقْنَهُ إِلَىٰ بَلَدٍ مَّيِّتٍ فَأَحْيَيْنَا بِهِ الْأَرْضَ بَعْدَ مَوْتِهَا
كَذَلِكَ النُّشُورُ ﴿٩﴾

Terjemahnya:

“Allahlah yang mengirimkan bermacam angin, lalu ia (angin) menggerakkan awan. (Selanjutnya) Kami arahkan awan itu ke suatu negeri yang mati (tandus), lalu dengannya (hujan) Kami hidupan bumi setelah matinya. Demikianlah kebangkitan itu” (Kementrian Agama RI. 2019).

Menurut Kementerian Agama, Allah menerangkan bahwa Dia-lah yang menciptakan angin yang menggerakkan awan tebal yang mengandung air kemudian membawanya ke Bumi yang tandus dan menurunkan hujan. Dengan turunnya air hujan, Bumi yang mati dan tidak ada pepohonan sedikit pun di atasnya berubah menjadi subur. Bumi menumbuhkan buah-buahan yang bermacam-macam dan beraneka ragam cita rasanya. Demikianlah Allah menghidupkan Bumi sesudah mati dengan hujan yang turun dari awan. Kala manusia menggunakan akal nya dan

memikirkan dengan sungguh-sungguh tanda kekuasaan Allah seperti kejadian yang tersebut di atas, tentu ia akan sampai kepada kesimpulan bahwa Allah yang berkuasa menghidupkan tanah yang mati, tentunya kuasa pula yang menghidupkan manusia yang sudah mati sekalipun telah hancur dan tulang-belulanganya berserakan. Kemudian, Allah swt berfirman pada QS. An-Nur/24: 43, berbunyi:

أَلَمْ تَرَ أَنَّ اللَّهَ يَرْجِي سَحَابًا ثُمَّ يُؤَلِّفُ بَيْنَهُ ثُمَّ يَجْعَلُهُ رُكَامًا فَتَرَى الْوَدْقَ يَخْرُجُ مِنْ خِلَالِهِ
وَيُنزِلُ مِنَ السَّمَاءِ مِنْ جِبَالٍ فِيهَا مِنْ بَرَدٍ فَيُصِيبُ بِهِ مَنْ يَشَاءُ وَيَصْرِفُهُ عَنْ مَنْ يَشَاءُ
يَكَادُ سَنَا بَرْقِهِ يَذْهَبُ بِالْأَبْصَارِ ﴿٤٣﴾

Terjemahnya:

“Tidakkah engkau melihat bahwa sesungguhnya Allah mengarahkan awan secara perlahan, kemudian mengumpulkannya, lalu menjadikannya bertumpuk-tumpuk. Maka, engkau melihat hujan keluar dari celah-celahnya. Dia (juga) menurunkan (butiran-butiran) es dari langit, (yaitu) dari (gumpalan-gumpalan awan seperti) gunung-gunung. Maka, Dia menimpaknya (butiran-butiran es itu) kepada siapa yang Dia kehendaki dan memalingkannya dari siapa yang Dia kehendaki. Kilauan kilatnya hampir-hampir menghilangkan penglihatan”. (Kementerian Agama RI. 2019).

Menurut Kementerian Agama, pada ayat ini Allah swt mengarahkan pula perhatian Nabi ﷺ dan manusia agar memperhatikan dan merenungkan bagaimana Dia menghalau awan dengan kekuasaan-Nya dari satu tempat ke tempat lain kemudian mengumpulkan awan-awan yang berarak itu pada suatu daerah, sehingga terjadilah tumpukan awan yang berat berwarna hitam, seakan-akan awanitu gunung-gunung besar yang berjalan di angkasa. Dari awan ini turunlah hujan lebat di daerah itu dan kadang-kadang hujan tersebut bercampur dengan es. Bagi yang berada di bumi ini jarang sekali melihat awan tebal yang berarak seperti gunung, tetapi bila seseorang berada di dalam pesawat akan terlihat di bawah pesawat yang ditumpangi awan-

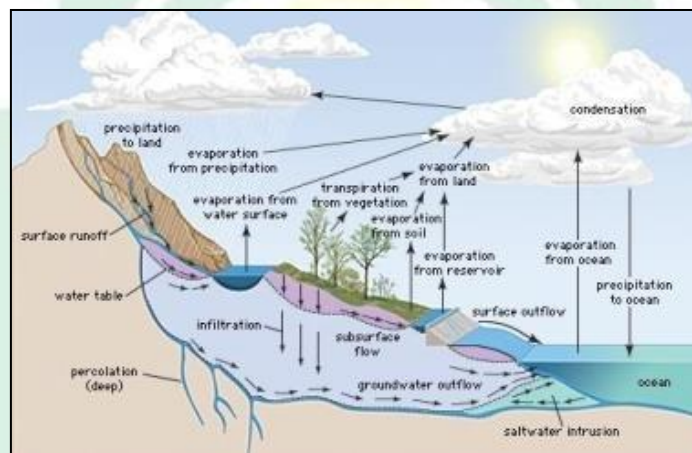
awan yang bergerak perlahan itu memang seperti gunung-gunung yang menjulang di sana-sini dan bila awan itu menurunkan hujan nampak dengan jelas bagaimana air itu turun ke bumi. Hujan yang lebat itu memberi rahmat dan keuntungan yang besar bagi manusia, karena sawah dan ladang yang sudah kering akibat musim kemarau, menjadi subur kembali dan berbagai macam tanaman tumbuh dengan subur sehingga manusia dapat memetik hasilnya dengan senang dan gembira. Tetapi ada pula hujan yang lebat dan terus menerus turun sehingga menyebabkan terjadinya banjir di mana-mana. Sawah ladang terendam bahkan kampung seluruhnya terendam, maka hujanlebat itu menjadi malapetaka bagi manusia dan bukan sebagai rahmat yang menguntungkan.

Teknologi sekarang semakin canggih dengan adanya ilmu yang dapat diimplementasikan dalam memprediksi curah hujan. Hubungan ketiga ayat tersebut terhadap penelitian yang dilakukan yakni mengenai penciptaan hujan. Hujan terjadi karena adanya proses penguapan air yang kemudian terkumpul menjadi awan-awan dan dengan bantuan angin maka titik-titik uap air akan semakin berkumpul dan membentuk sebuah awan yang sangat besar. Sehingga, ketika awan tersebut melewati ambang batasnya maka akan turun hujan dari celah-celah awan baik berupa air hujan. Curah hujan sebenarnya dapat diprediksi menggunakan beberapa pendekatan namun dengan tingkat keakuratan yang tidak dapat dipastikan (Muflih, dkk., 2019)

C. Curah Hujan

Presipitasi adalah hasil dari perubahan uap air atau benda gas menjadi benda cair di atmosfer sebagai salah satu aspek yang ada dalam bidang Meteorologi,

Klimatologi dan Geofisika. Presipitasi yang sampai ke bumi dapat berbentuk air hujan, hujan es dan salju (Lasario, dkk., 2016). Presipitasi terbagi atas dua yakni presipitasi vertikal seperti air hujan, hujan es serta salju dan presipitasi horizontal seperti embun dan kabut. Semua hasil penguapan air yang berasal dari awan kemudian mengendap di udara dan jatuh ke bumi disebut dengan presipitasi (Abrori, 2019). Berikut ini adalah gambar mengenai siklus terjadinya hujan.



Gambar 2. 3 Siklus Terjadinya Hujan (Sumber: Raharjo, 2010)

Siklus hidrologi pada gambar 2.3, mengenai proses terjadinya hujan yang dimulai dari proses penguapan air yang terkumpul menjadi awan. Dengan bantuan angin maka titik-titik uap air akan semakin terkumpul dan membentuk awan yang besar. Maka saat air menjadi berat akan turun hujan. Jika suhu permukaan rendah maka kemungkinan besar akan menjadi hujan es atau salju (Widayat, 2020). Hujan menjadi salah satu bentuk presipitasi yang berhasil jatuh ke bumi dalam wujud cairan. Hujan merupakan partikel-partikel air yang berasal dari jatuhnya *hydrometeor* dengan diameter kurang lebih 0.5 mm (Lasario, dkk., 2016).

Curah hujan adalah peristiwa yang kompleks yang meliputi topografi dan hubungan antara laut, darat dan atmosfer sehingga sulit untuk memprediksi curah hujan itu sendiri (Santri, dkk., 2020). Satuan milimeter atau inci merupakan satuan dari curah hujan dan Indonesia menggunakan satuan milimeter (mm) (Nandani, 2017). Seperti curah hujan dengan satu milimeter yang berarti satu milimeter air atau satu liter air ditampung pada area seluas satu meter persegi pada permukaan yang rata (Sutawinaya, dkk., 2017).

Prediksi adalah suatu proses untuk memprediksi secara sistematis mengenai suatu hal yang mungkin akan terlaksana di masa yang akan datang sesuai dengan informasi dari masa lalu hingga sekarang yang dimiliki, sehingga kesalahan yang mungkin terjadi dapat diminimalisir (Widayat, 2020). Curah hujan memainkan peran penting dalam kehidupan dengan menggunakan data masa lalu untuk memprediksi curah hujan di masa depan, curah hujan dapat diprediksi namun dengan tingkat keakuratan yang tidak pasti. Berikut ini tabel standar Intensitas Curah Hujan di Indonesia.

Tabel 2. 1 Kriteria Intensitas Curah Hujan

No.	Kategori	Intensitas Curah Hujan (mm/jam)
1.	Curah Hujan Ringan	1-5
2.	Curah Hujan Sedang	5-10
3.	Curah Hujan Lebat	10-20
4.	Curah Hujan Sangat Lebat	>20

(Sumber: BMKG, 2010)

Berdasarkan tabel 2.1, dapat diketahui jika intensitas curah hujan di daerah tersebut terbilang tinggi yaitu 10-20 mm/jam atau lebih dari 20 mm/jam sehingga akan terjadi bencana alam seperti banjir dan longsor. Sebaliknya, dengan rendahnya

intensitas curah hujan di daerah tertentu dengan batas minimal 1-5 mm/jam, maka akan terjadi kekeringan (Muflih, dkk., 2019).

Menurut kondisi iklim intensitas curah hujan di lokasi tertentu seperti Indonesia memiliki karakteristik yang berbeda-beda dengan pergerakan *monsun* sesuai dengan arah angin dan tujuan akhir. Menurut sebaran curah hujan dari Badan Meteorologi, Klimatologi dan Geofisika dapat dibedakan menjadi:

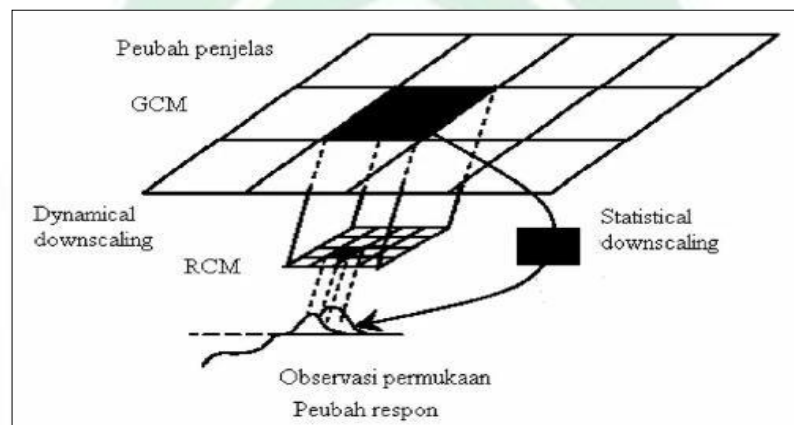
- a. Jika nilai perbandingan $> 115\%$ dari rata-rata curah hujan lebih tinggi darinilai normal maka nilainya di atas normal (AN).
- b. Jika nilai rasionya antara 85% dan 115% dari rata-rata curah hujan makadikatakan Normal (N).
- c. Jika nilai rasio kurang dari 85% dari rata-rata curah hujan, maka nilainya dibawah normal (BN).

Alasan mengapa nilai intensitas curah hujan suatu tempat berbeda dikarenakan sumber sebaran curah hujan berbeda sesuai dengan bentuk cakupan *mobile*. Pergerakan distribusi curah hujan mirip satu kesatuan (Gifari, 2020).

Prediksi cuaca adalah proses memprediksi keakuratan kondisi cuaca atau iklim dengan menggunakan komputer, data observasi serta pengetahuan tentang pola dan *trend*. Salah satu unsur cuaca yang biasanya dapat menggambarkan kondisi cuaca adalah curah hujan. Akan tetapi, perlu dilakukan sebuah prediksi curah hujan dikarenakan faktor cuaca tersebut sulit untuk diprediksi secara akurat. Oleh karena itu, diperlukan metode dengan tingkat keakuratan yang tinggi untuk menyelesaikan masalah yang kompleks (Bahri, dkk., 2019).

D. Pendekatan *Statistical Downscaling*

Salah satu teknik pendekatan yang sering digunakan adalah teknik *downscaling*. Teknik ini mentransformasikan data dari skala besar (*global*) menjadi data skala yang lebih kecil. Jenis dari teknik *downscaling* adalah teknik *statistical downscaling* dan *dynamical downscaling* (Wigena, 2011). Ilustrasi model *downscaling* dapat dilihat sebagai berikut.



Gambar 2. 4 Ilustrasi Model Downscaling (Sumber: Sutikno, 2008)

Ilustrasi model dari teknik *downscaling* dapat dilihat pada gambar 2.4, dimana teknik *downscaling* terbagi atas *dynamical downscaling* dan *statistical downscaling* dengan menambahkan peubah penjas dengan skala besar terhadap peubah dengan skala kecil (Wilby dan Wigley., 1997). Penelitian ini berfokus pada pendekatan *statistical downscaling*.

Pendekatan *statistical downscaling* (*SD*) adalah pendekatan menggunakan model statik untuk menganalisa korelasi antara data dengan skala besar (*global*) dan data dengan skala lokal (Butar-butur, dkk., 2019). Penyusunan model korelasi fungsional antara informasi luaran dari *GCM* dengan parameter cuaca lokal yang menggunakan pendekatan *SD*, dengan menganggap data luaran *GCM* sebagai

prediktor dan data parameter lokal sebagai prediktan (Hadijati, dkk., 2016).

Ada beberapa model yang dikembangkan dari pendekatan SD seperti model utama parametrik hingga non parametrik. Untuk model parametrik yang meninjau sebaran sehingga mempunyai asumsi yang kuat (Wigena, 2006). Contoh model parametrik yaitu regresi komponen utama dan regresi kuadrat terkecil parsial (Rizki, 2020). Untuk model non parametrik yang merupakan kebalikandari model parametrik, dimana model ini tidak mempunyai asumsi sebaran dan lebih fleksibel (Wigena, 2006). Contohnya yaitu, JST dan *Projection Pursuit Regression* (PPR) (Rizki, 2020).

Untuk mengetahui prediksi hujan diperlukan data luaran global dan data lokal. Data luaran global yang seringkali digunakan adalah *Global Circulation Model* (GCM). Data luaran ini memiliki resolusi berskala rendah sehingga tidak dapat membagikan informasi atau data berskala lokal (Safrill, dkk., 2013). *General Circulation Model* (GCM) adalah data dengan bentuk numerik yang mendeskripsikan siklus fisik atmosfer, lautan, *kritosfer* dan permukaan daratan sebagai alat yang paling utama digunakan dalam simulasi pengaruh sistem iklim *global* dalam meningkatkan efek rumah kaca dikarenakan adanya perubahan iklim (Wati, dkk., 2016). Pendekatan SD menggunakan data luaran GCM sebagai *output* data untuk mendapatkan prediksi curah hujan. Data seperti suhu permukaan laut dapat digunakan dalam memprediksi curah hujan yang diperoleh dari data luaran GCM (Mamenun, 2012).

Menurut Santri, dkk (2020), pendekatan SD memerlukan data deret waktu yang sama dalam perubahan iklim. Berikut adalah syarat keberhasilan dari

pendekatan *SD*.

- a. Korelasi antara prediktan dengan prediktor yang menjelaskan keberagaman iklim regional dengan baik.
- b. Prediktor dapat disimulasikan dengan baik oleh data luaran *GCM*.
- c. Hubungan prediktan dan prediktor tidak berubah terhadap waktu walaupun terjadi perubahan iklim.

E. Metode *Partial Least Square Regression*

Regresi linier sederhana dengan metode kuadrat terkecil adalah metode statistik yang dapat diaplikasikan untuk membentuk model interaksi linier antara prediktan *Y* dan prediktor *X* yang tunggal (Muharsyah, 2016). *Partial Least Square Regression (PLSR)* digunakan untuk memaparkan struktur keragaman data jika terjadi *multikolinearitas* di antara prediktor dalam suatu analisis (Mamenun, 2012).

Metode *PLSR* juga digunakan untuk memisahkan beberapa komponen yang disebut *variable latent* untuk memilih sejumlah prediktor yang relevan dengan prediktan melalui proses dekomposisi prediktor dan prediktan secara simultan yang diikuti dengan proses regresi untuk mengetahui penggunaan prediktor untuk memprediksi prediktan (Wati, 2016). Maka dari itu, *PLSR* dapat dikatakan mencakup tiga bagian yaitu *Principal Component Analysis (PCA)*, analisis peragam, dan regresi berganda (Mamenun, 2012).

Metode *PLSR* akan memperoleh beberapa komponen baru untuk memodelkan prediktor (*X*) dan prediktan (*Y*) sehingga keduanya akan membentuk hubungan. Komponen baru selanjutnya dinamakan dengan skor *X* yang ditulis dengan t_a dengan $a = 1, 2 \dots, A$. Skor *X* (t_a) adalah kombinasi dari linear prediktan

X_t dengan koefisien yang dinamakan pembobot dan dinamakan sebagai w_{ta} ($a = 1, 2, \dots, A$), dengan persamaan sebagai berikut:

$$t_{ia} = \sum_{ik} X_{ik} W_{ka} ; i = 1, 2, \dots, NT = XW \quad (2.1)$$

Skor X yang digunakan prediktor untuk X dan Y , sebagai berikut:

a. Skor X sebagai prediktor bagi X :

$$t_{ia} = \sum_{ik} X_{ik} W_{ka} ; i = 1, 2, \dots, NT = XW \quad (2.2)$$

b. Skor Y sebagai prediktor bagi Y :

$$t_{ia} = \sum_a r_{am} + f_{im} X = TR + F \quad (2.3)$$

Residu Y yaitu f_{im} menyatakan deviasi antara respon dari pengamatan dan respon dari dugaan. Dari persamaan 2.1 dan 2.3, maka model regresi berganda adalah sebagai berikut:

$$\begin{aligned} Y_{im} &= \sum_a r_{am} \sum_a W_{ka} X_{ik} + f_{im} \\ &= \sum_k b_{mk} X_{ik} + f_{im} \\ Y &= XWR' + F = XB + F \end{aligned} \quad (2.4)$$

Koefisien model PLS yaitu b_{mk} (B) dapat ditulis sebagai berikut:

$$b_{mk} = \sum_a r_{am} W_{ma} T = WR' \quad (2.5)$$

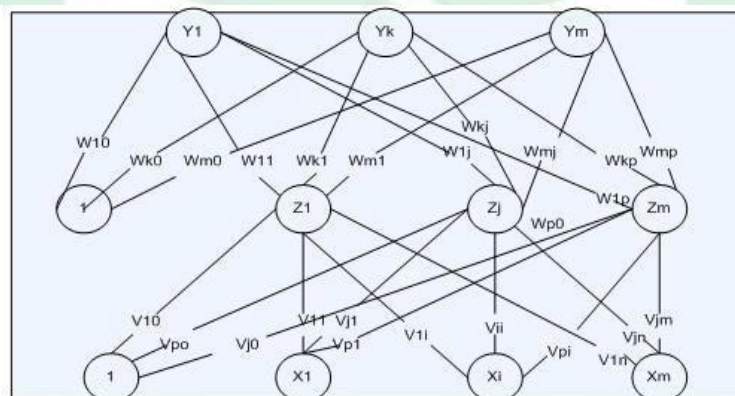
Untuk data pengamatan yang baru maka prediksi dapat diperoleh berdasarkan data X dan matriks koefisien B (Wati, dkk., 2016).

F. Metode Jaringan Syaraf Tiruan

Terdapat beberapa elemen yang saling terhubung kemudian membentuk jaringan syaraf. Elemen ini disebut dengan *Neurocomputing*, yaitu bidang ilmiah yang berhubungan dengan pengembangan komputasi. *Neurocomputing* terdiri dari

sejumlah besar komputasi sederhana yang bekerja secara paralel elemen (*Neuron*) (Romanchuk, 2020). JST adalah sebuah sistem dalam memproses informasi yang didesain khusus menirukan prosedur kerja otak manusia dengan mengubah bobot *sinapsis* dalam proses pembelajaran (Bahri, dkk., 2019).

JST adalah sebuah model dalam mengelola informasi atau data yang menirukan sistem syaraf manusia, misalnya dalam mengelola informasi pada otak manusia. Model adalah sejumlah besar informasi yang diperoleh dan saling berhubungan (*neuron*) melalui pemrosesan berdasarkan struktur sistem pengelolaan informasi (Manalu, 2016). Berikut ini adalah gambar mengenai desain JST yang terdiri atas tiga *input layer*, tiga *hidden layer* dan tiga *output layer*.



Gambar 2. 5 Desain Jaringan Syaraf Tiruan (Sumber: Rachmawati, 2015)

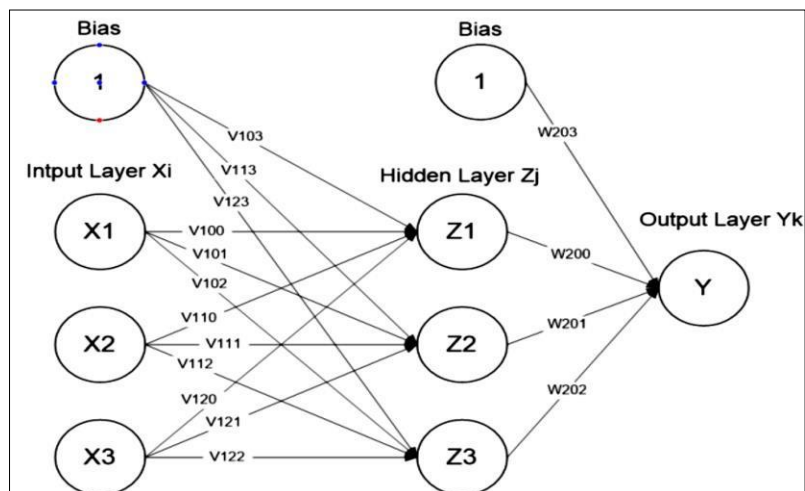
Desain JST terdiri atas beberapa *layer* seperti *input layer*, *hidden layer* dan *output layer* seperti yang ditunjukkan pada gambar 2.5, dimana setiap *layer* terdiri dari *node* atau *neuron* yang jumlahnya berbeda-beda (Manalu, 2016). JST sebagai model prediksi mampu mengenali pola-pola yang menggunakan algoritma pembelajaran dan pelatihan seperti halnya otak manusia dalam bekerja (Rachmawati, 2015).

Menurut Rachmawati (2015), karena sistem yang dirancang menyerupai kinerja otak manusia, maka JST ditentukan melalui tiga hal sebagai berikut:

- a. Pola interaksi antar *node* atau *neuron* disebut juga desain jaringan.
- b. Metode yang digunakan untuk menentukan bobot penghubung disebut sebagai metode *training* atau metode *algoritma/learning*.
- c. Fungsi aktivasi.

Dengan menggunakan teknologi *Artificial Intelligence* seperti JST maka pengenalan pola data dari sistem prediksi curah hujan dapat dilaksanakan dengan metode pelatihan yaitu untuk menentukan bobot interaksi antar *neuron* yang optimum (Arif, dkk., 2012). JST terbagi dalam beberapa *algoritma* diantaranya, *algoritma Hebb*, *algoritma Perceptron*, *algoritma Adaline* dan *algoritma Backpropagation*. Melalui beberapa simulasi abstrak dari jaringan *neuron* otak manusia maka salah satu JST yang menggunakan beberapa metode koneksi adalah *JST backpropagation* (Yingjia Wu, dkk., 2021).

Backpropagation adalah salah satu algoritma yang dimiliki oleh JST dan umum digunakan. *Algoritma* ini adalah salah satu desain JST yang memiliki keluaran lebih akurat dengan tingkat *error* yang lebih kecil (Sofian, dkk., 2017). Untuk memperkecil tingkat *error* yang diperoleh, maka *backpropagation* akan menyesuaikan bobotnya sesuai dengan perbedaan *output* dan *input* yang diinginkan. *Backpropagation* juga merupakan pengembangan dari *single layer* menjadi *multilayer network* yang terdiri dari tiga *layer*, yaitu *input layer*, *hidden layer* dan *output layer* (Sutawinaya, 2017).



Gambar 2. 6 Desain JST dengan backpropagation (Sumber: Gifari, dkk., 2020)

Gambar 2. 6 adalah desain jaringan syaraf tiruan dengan *backpropagation* yang terdiri dari tiga *input layer*, satu *hidden layer* dan tiga node atau *neuron*, serta satu *output* (Gifari, dkk. 2019). Algoritma *backpropagation* memiliki dua langkah perambatan yaitu fase maju dan fase mundur. Langkah ini dilakukan pada jaringan untuk setiap pola yang diberikan selama pelatihan dilakukan (Manalu, 2016). Menurut Muflih, dkk (2019). Ada beberapa langkah pelatihan yang harus dilakukan sebagai berikut:

- a. Langkah 0: inisiasi bobot (menetapkan nilai secara random kecil).
- b. Langkah 1: selama syarat kondisi gagal maka kerjakan langkah 2-9.
- c. Langkah 2 : untuk setiap pasangan yang akan dilatih maka kerjakan langkah 3-8.

Fase Maju (*FeedForward*)

- a. Langkah 3: setiap unit *input* (x_i , $i = 1, 2, \dots, n$) menerima sinyal dan meneruskannya ke semua unit pada *hidden layer*.
- b. Langkah 4: setiap unit tersembunyi (z_j , $j = 1, 2, \dots, p$) menjumlahkan bobot

c. sinyal *input* dengan persamaan berikut:

$$z_{-in_j} = v_{oj} + \sum_i^n X_i V_{ij} \quad (2.6)$$

Hitung sinyal *output* dengan fungsi aktivasinya

$$z_j = f(z_{-in_j}) \quad (2.7)$$

Mengirimkan sinyal ini ke semua unit pada lapisan *output*.

c. Langkah 5: setiap unit *output* (y_k , $k = 1, 2, \dots, m$), menjumlahkan *input* terbobotnya.

$$z_{-in_j} = v_{oj} + \sum_i^n X_i V_{ij} \quad (2.8)$$

Hitung sinyal *output* dengan fungsi aktivasinya.

$$y_k = (t_k - y_k) f'(y_{-in_k}) \quad (2.9)$$

Fase mundur (*Backpropagation*)

a. Langkah 6: setiap unit *output* (y_k , $k = 1, 2, \dots, m$), menerima pola target sesuai dengan pola *input* pelatihan, kemudian menghitung *error* seperti persamaan berikut:

$$\delta_k = (t_k - y_k) f'(y_{-in_k}) \quad (2.10)$$

Hitung suku koreksi bobot (digunakan untuk perbaruan w_{jk}),

$$\Delta w_{jk} = a \delta_k z_j \quad (2.11)$$

Hitung suku koreksi bias (digunakan untuk perbaruan w_{ok}),

$$\Delta w_{ok} = \delta_k a_k \quad (2.12)$$

Kirimkan δ_k ke unit-unit pada lapis bawahnya.

b. Langkah 7: setiap unit tersembunyi (z_j , $j = 1, 2, \dots, p$), menjumlahkan *delta inputnya* (dari unit-unit yang ada pada *layer* di atasnya).

$$\delta_{-in_j} = \sum_k^m \delta_k w_{jk} \quad (2.13)$$

Hitung suku informasi *error*,

$$\delta_j = \delta_{in} f'(z_{in_j}) \quad (2.14)$$

Hitung suku koreksi bobot (untuk perbaruan v_{ij}).

$$\Delta v_{ij} = a \delta_j x_i \quad (2.15)$$

Hitung suku koreksi bias (untuk perbaruan v_{oj}).

$$\Delta v_{oj} = a \delta_j \quad (2.16)$$

Perbaruan bobot dan bias.

- c. Langkah 8: setiap unit output (y_k , $k = 1, 2, \dots, m$), memperbarui bobot-bobot dan biasnya:

$$w_{jk} (\text{baru}) = w_{jk} (\text{lama}) + \Delta w_{jk} \quad (2.17)$$

- d. Langkah 9: setiap unit tersembunyi (z_j , $j = 1, 2, \dots, p$), memperbarui bobot-bobot dan biasnya ($i = 0, \dots, n$):

$$v_{ij} (\text{baru}) = v_{ij} (\text{lama}) + \Delta v_{ij} \quad (2.18)$$

- e. Langkah 10: uji syarat berhenti.

Fungsi aktivasi *sigmoid*

$$f(x) = \frac{1}{1+e^{-x}} \quad (2.19)$$

$$f'(x) = f(x)[1 - f(x)] \quad (2.20)$$

Menurut Manalu (2016), untuk mentransformasikan data yang digunakan pada normalisasi data digunakan persamaan berikut:

$$x' = \frac{0.8(x-a)}{b-a} + 0.1 \quad (2.21)$$

Keterangan:

x' = hasil normalisasi

x = data awal

a = nilai minimal data awal

b = nilai maksimal data awal.

G. Root Mean Square Error (RMSE)

Root Mean Square Error (RMSE) adalah standar pengukuran yang biasanya digunakan untuk mengetahui perbedaan antara nilai-nilai yang diprediksikan pada model prediksi. Secara sederhana, RMSE adalah metode pengukuran untuk menghitung bias dalam model prediksi (Sutawinaya. 2017). Nilai RMSE adalah hasil selisih prediksi dan pengamatan. Semakin kecil nilai RMSE maka prediksi semakin baik (Safril. 2013). Berikut persamaan untuk menghitung nilai RMSE.

$$RMSE = \sqrt{\frac{\sum(Y'-Y)^2}{N}} \quad (2.22)$$

Keterangan:

Y' = data hasil prediksi

Y = data aktual

N = jumlah data.

BAB III

METODE PENELITIAN

A. Waktu dan Lokasi Penelitian

Waktu penelitian ini akan dilaksanakan selama enam bulan pada bulan Mei sampai September 2021 dan lokasi yang menjadi objek penelitian adalah wilayah kabupaten Wajo, Sulawesi Selatan pada koordinat antara 3°39' hingga 4°16' Lintang Selatan dan 119° 53' hingga 120° 27' Bujur Timur dengan luas wilayah yaitu 2.506,19 km².

B. Alat dan Bahan

Alat dan bahan yang akan digunakan pada penelitian ini adalah sebagai berikut:

1. Laptop digunakan sebagai media pengolahan data curah hujan.
2. Beberapa aplikasi perangkat lunak (*software*):
 - a) Arcgis 10.3 digunakan untuk membuat desain survei serta mengetahui tata letak titik daerah penelitian.
 - b) Microsoft Office Excel 2010 digunakan untuk mengolah parameter-parameter cuaca dan data curah hujan sebelum dimasukkan ke *software* Matlab R2019a.
 - c) Matlab R2019a digunakan untuk mengolah dan menganalisis prediksi curah hujan dengan metode JST *Backpropagation*.
 - d) Microsoft Office Word digunakan untuk menyusun laporan penelitian.
 - e) SmartPLS digunakan untuk mengolah dan menganalisis prediksi curah hujan menggunakan metode *PLS Regression*.
3. Data untuk metode PLSR yang akan digunakan diperoleh dari laman website

www.ncdc.noaa.gov berupa parameter-parameter cuaca seperti suhu maksimum, suhu minimum, kelembaban spesifik dan kecepatan angin serta data curah hujan bulanan dari Badan Meteorologi Klimatologi dan Geofisika untuk tahun 2016-2020.

4. Data untuk JST berupa data curah hujan bulanan pada tahun 2016-2020 akan diperoleh dari data yang dikeluarkan oleh Badan Meteorologi Klimatologi dan Geofisika Wilayah IV Makassar.

C. Prosedur Kerja

Prosedur kerja yang akan dilakukan pada penelitian ini adalah sebagai berikut:

1. Studi Literatur

Studi literatur merupakan tahapan pertama untuk menambah wawasan sebagai solusi pemecahan dari masalah yang diangkat dari penelitian berupa informasi yang bersumber dari jurnal, artikel, skripsi maupun buku mengenai prediksi curah hujan.

2. Teknik Pengumpulan Data

Teknik pengumpulan data yang akan dilakukan pada penelitian ini adalah sebagai berikut:

a) Metode PLSR

Tahap ini dilakukan dengan mengumpulkan data dari dua sumber yaitu data berupa parameter-parameter cuaca pada laman website www.ncdc.noaa.gov dan data curah hujan bulanan dari stasiun BMKG wilayah IV Sulawesi Selatan dari tahun 2016- 2020.

b) Metode Jaringan Syaraf Tiruan *Backpropagation*

Tahap ini dilakukan dengan mengumpulkan data dari satu sumber yaitu data prediktor dan data prediktan berupa curah hujan bulanan dari stasiun Badan Meteorologi, Klimatologi dan Geofisika wilayah IV Sulawesi Selatan dari tahun 2016-2020.

3. Teknik Analisis Data

Teknik analisis data yang akan dilakukan pada penelitian ini adalah sebagai berikut:

a) Metode PLSR

Tahap analisis data adalah sebagai berikut:

- 1) Memperoleh data penelitian untuk diolah menggunakan *software* SmartPLS
 - 2) Membagi data penelitian menjadi dua yaitu data prediktor dan data prediktan.
 - 3) Menyimpan data penelitian menggunakan format CSV untuk diinput ke dalam *software* SmartPLS.
 - 4) Menginput data penelitian ke dalam *software* SmartPLS , kemudian memindahkan variabel yang digunakan untuk membuat desain model dengan model konstruk formatif. Berikut model konstruk formatif pada metode ini.
 - 5) Melakukan beberapa pengujian sehingga diperoleh keluaran berupa outer model (model pengukuran) dan inner model (model struktural), yakni sebagai berikut.
- a) Uji *PLS algorithm* dilakukan untuk memperoleh nilai keluaran berupa nilai R

square, nilai *VIF* dan nilai *Godness of Fit*.

b) Uji *Bootstrapping* untuk mengetahui tingkat signifikansi dari model yang dibangun. Keluaran yang diperoleh pada uji *Bootstrapping* yaitu *outer weight*, *outer loading* dan *coefficient path*.

6) Data pada uji *Bootstrapping* dan uji *PLS algorithm* yang diperoleh yaitu *outer weight*, *outer loading* dan nilai *VIF* merupakan bagian dari *outer model* (model pengukuran) sedangkan nilai *R square*, *coefficient path* dan *Goodness of Fit* merupakan bagian dari *inner model* (model struktural).

7) Menghitung nilai RMSE dan nilai korelasi.

8) Memperoleh model uji prediksi curah hujan untuk tahun 2021.

9) Menganalisis dan menarik kesimpulan berdasarkan hasil pengolahan data yang dilakukan.

b) Metode Jaringan Syaraf Tiruan *Backpropagation*

Tahapan analisis data adalah sebagai berikut:

1) Memperoleh data curah hujan untuk kabupaten Wajo.

2) Membagi dua data menjadi data pelatihan dan data pengujian dengan menentukan masing-masing target latih kemudian menginput data ke dalam *software* Matlab yang dijalankan dengan *syntax* untuk diolah.

3) Pengenalan pola pelatihan (*training*) dengan menyesuaikan nilai bobot secara random dan menggunakan penambahan *learning rate*. Proses *training* dapat dilakukan sebagai berikut.

a) Data yang diperoleh terlebih dahulu dinormalisasikan menggunakan persamaan 2.21.

- b) Inisialisasi bobot dan parameter yang diantaranya *learning rate*, *epoch*, RMSE dan jumlah *hidden layer*.
 - c) Menghitung nilai RMSE dengan persamaan 2.22.
 - d) Memeriksa nilai *error* yang dihasilkan. Jika tidak memenuhi kriteria maka proses dihentikan. Jika memenuhi kriteria yang diperlukan maka proses akan dilanjutkan.
- 4) Menguji validasi data pada tahap *testing* yang telah dilakukan pada proses *training* dan *testing* dengan memasukkan dengan data yang belum pernah *training* sebelumnya untuk mengetahui nilai *error* yang dihasilkan. Tahap *testing* dilakukan sebagai berikut.
- a) Data yang diperoleh terlebih dahulu dinormalisasikan menggunakan persamaan 2.21.
 - b) Menghitung nilai masukan dan nilai bobot untuk setiap keluaran neuron. Kemudian menghitung nilai keluaran dengan fungsi aktivasi pada persamaan 2.17 dan 2.18.
 - c) Menghitung nilai RMSE dengan persamaan 2.22.
 - d) Melakukan denormalisasi. Setelah denormalisasi nilai RMSE maka proses akan dihentikan. Nilai RMSE tersebut yang akan dijadikan tolak ukur dari kinerja JST.
- 5) Tingkat validasi prediksi dapat dinilai setelah jaringan dibentuk. Jaringan yang maksimal dilihat dari nilai RMSE (*Root Mean Square Error*) dan nilai korelasi.
- 6) Memperoleh data prediksi curah hujan.

7) Menganalisa dan menarik kesimpulan dari metode JST.

c) Perhitungan *Nilai Root Mean Square Error*

Nilai *Root Mean Square Error* dihitung menggunakan persamaan sebagai berikut.

$$RMSE = \sqrt{\left(\frac{\sum (Y' - Y)^2}{N}\right)} \quad (3.1)$$

Nilai RMSE dari kedua metode kemudian dihitung menggunakan *software* Matlab sesuai dengan persamaan di atas yaitu menginput data aktual dan data prediksi secara bersamaan menggunakan matriks A dan B. Matriks A untuk data aktual dan matriks B untuk data prediksi. Sedangkan nilai korelasi dihitung dengan perhitungan menggunakan *syntax* Correlation pada *software* Microsoft Excel.

D. Tabel Penelitian

a. Tabel Penelitian Untuk Metode Partial Least Square Regression

Tabel 3. 1 Hubungan Prediktor dan Curah Hujan

Bulan	Curah Hujan	Parameter			
		Suhu Maksimum	Suhu Minimum	Kelembaban	Angin
Januari 2016
Februari 2016
Maret 2016
April 2016
Mei 2016
Juni 2016
Juli 2016
Agustus 2016
September 2016
Oktober 2016
November 2016
Desember 2016
.
.
Desember 2020

b. Tabel Penelitian Untuk Metode JST

Tabel 3. 2 Data Curah Hujan dan Normalisasi pada Tahun 2016-2020

Bulan	Curah Hujan	Normalisasi
Januari 2016
Februari 2016
Maret 2016
April 2016
Mei 2016
Juni 2016
Juli 2016
Agustus 2016
September 2016
Oktober 2016
November 2016
Desember 2016
.
.
.
Desember 2020

E. Perbandingan Hasil Analisis Data

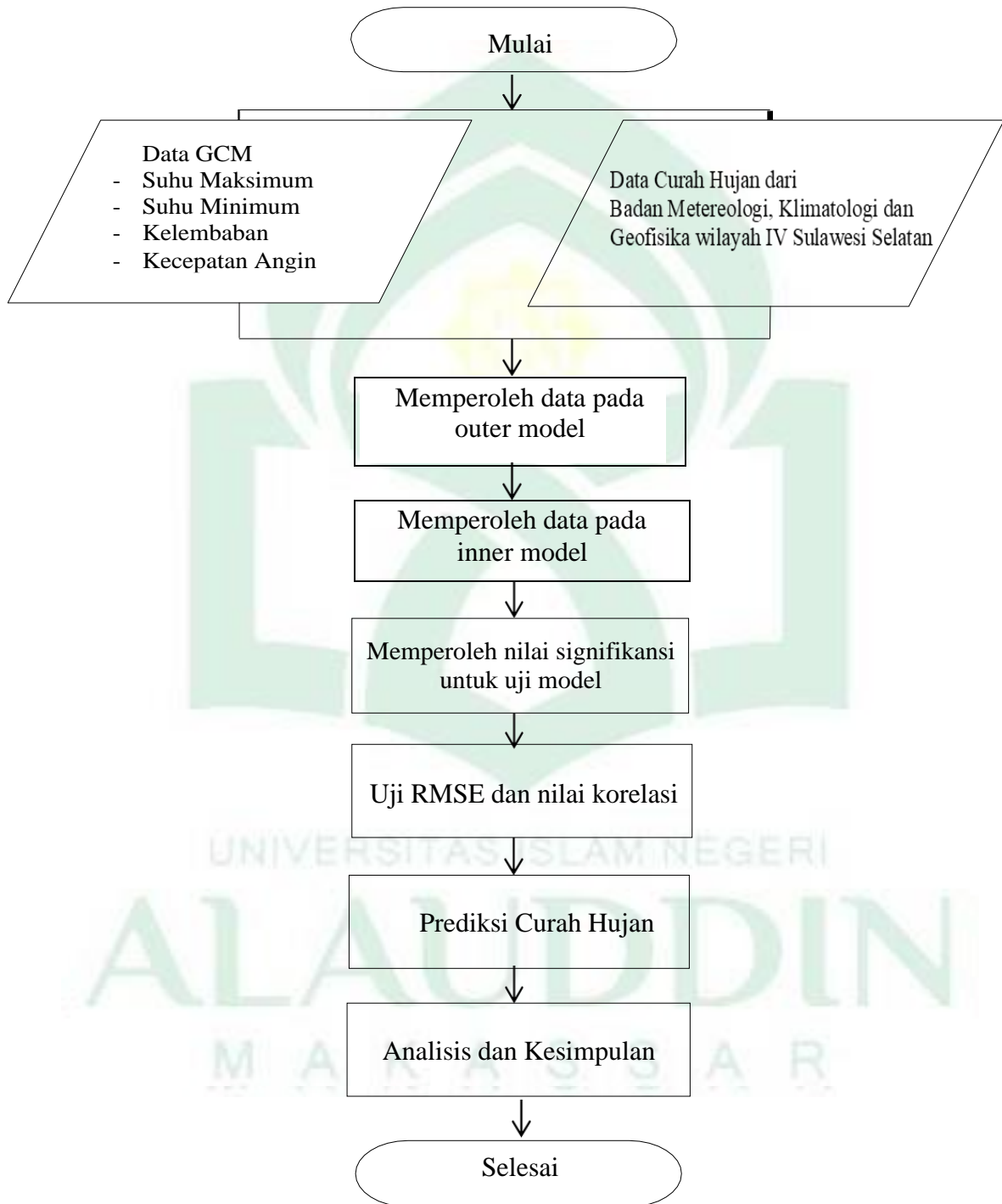
Membandingkan hasil dari kedua metode dengan cara menghitung nilai RMSE pada kedua metode. dengan menggunakan persamaan 2.22

Tabel 3. 3 Perbandingan Validasi Metode PSLR dan JST

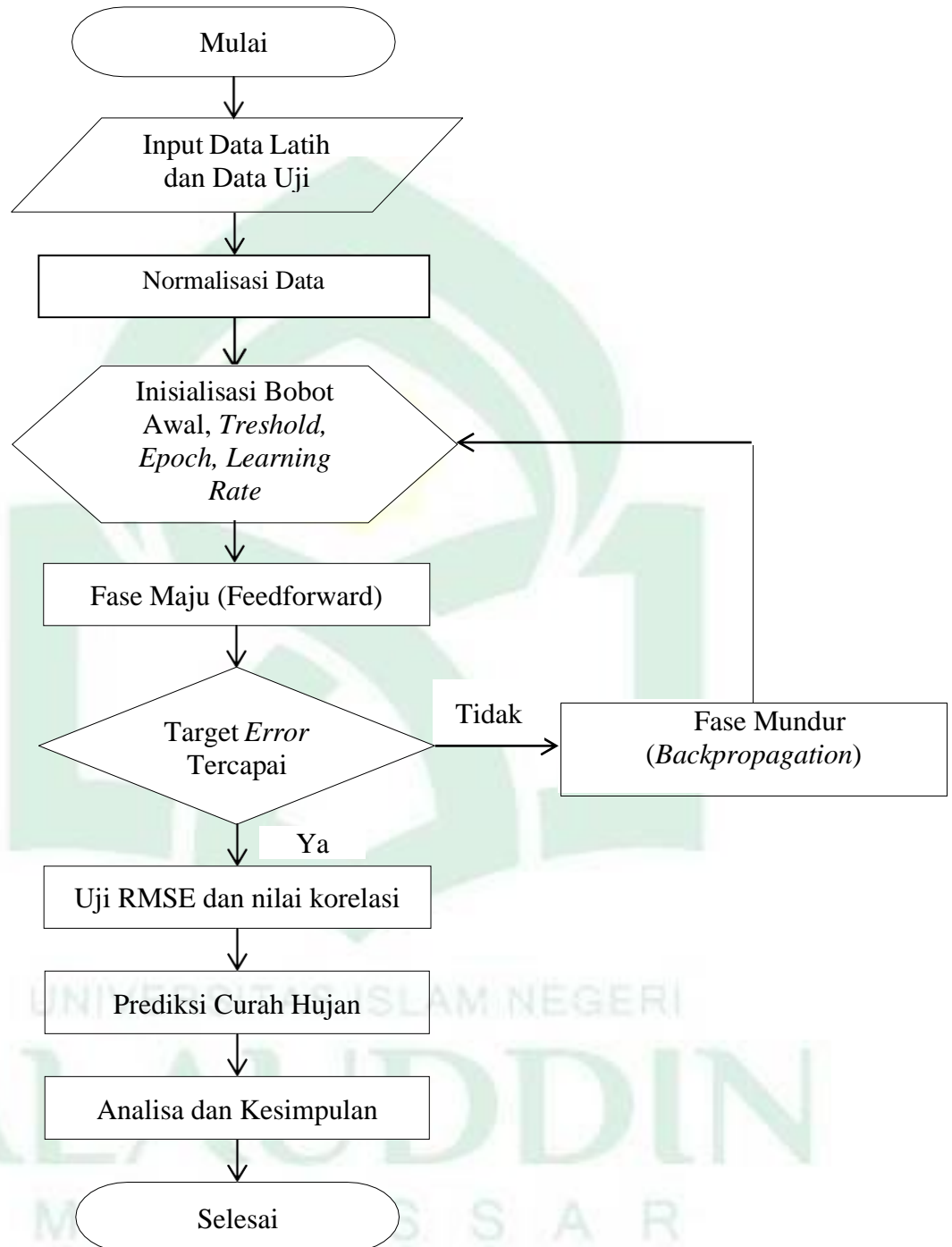
<i>Partial Least Square Regression</i>		Jaringan Syaraf Tiruan	
RMSE	Korelasi	RMSE	Korelasi
...
...
...

D. Bagan Alir Penelitian

1. Partial *Least Square Regression*



2. Jaringan Syaraf Tiruan *Backpropagation*



BAB IV

HASIL DAN PEMBAHASAN

A. Hasil Penelitian

Penelitian ini memerlukan beberapa data diantaranya data curah hujan bulanan dari tiga pos hujan curah hujan yaitu pos hujan Sakkoli, pos hujan Paria/Majennang dan pos hujan Anabanua yang diperoleh dari Badan Meteorologi, Klimatologi dan Geofisika wilayah IV Makassar serta data luaran berupa data suhu maksimum, suhu minimum, kelembaban dan angin dari website www.ncdc.noaa.gov (dimulai dari tahun 2016 sampai dengan tahun 2020) dengan jumlah data sebanyak 240 data luaran untuk satu pos pengamatan. Untuk data aktual yang dibandingkan dengan data prediksi dimulai dari tahun 2017 sampai dengan tahun 2020. Berikut ini penjelasan mengenai data penelitian kemudian dilanjutkan dengan analisis data dan pembahasan.

1. Data Penelitian

Pada metode *Partial Least Square Regression* yang diolah menggunakan *software* SmartPLS terdapat dua data variabel yaitu variabel prediktor dan variabel prediktan. Data variabel prediktor diperoleh dari website www.ncdc.noaa.gov berupa data suhu maksimum, suhu minimum, kelembaban dan angin, sedangkan data variabel prediktan dan data pada metode Jaringan Syaraf Tiruan diperoleh dari Badan Meteorologi, Klimatologi dan Geofisika wilayah IV Makassar yaitu data curah hujan bulanan dari tiga pos hujan di Kabupaten Wajo, diantaranya:

Tabel 4. 1 Nilai Rata-Rata Data variabel pada Ketiga Pos Hujan

Pos Hujan	Metode <i>Partial Least Square Regression</i>				Metode Jaringan Syaraf Tiruan	
	Rata- Rata Curah Hujan	Rata-Rata Data pada Parameter				Rata-Rata Curah Hujan
		Suhu Maksimum	Suhu Minimum	Kelembaban	Angin	
Pos Hujan Sakkoli	218,729	32,72	23,22	84,48	18,29	218,729
Pos Hujan Para/Majennang	164,625	32,72	23,22	84,48	18,29	164,625
Pos Hujan Anabanua	184,916	32,72	23,22	84,48	18,29	184,916

*untuk data selengkapnya dapat dilihat pada lampiran 1.

Tabel 4. 1 merupakan nilai rata-rata untuk setiap variabel yang digunakan baik data variabel curah hujan maupun data variabel suhu maksimum, suhu minimum, kelembaban dan angin yang dimulai dari tahun 2016 sampai dengan tahun 2020 pada metode *Partial Least Square Regression* dan data curah hujan 2016 sampai dengan 2020 pada metode Jaringan Syaraf Tiruan.

2. Hasil Pengolahan Data

a) Perbandingan Curah Hujan Aktual dan Prediksi

1) Pos Hujan Sakkoli

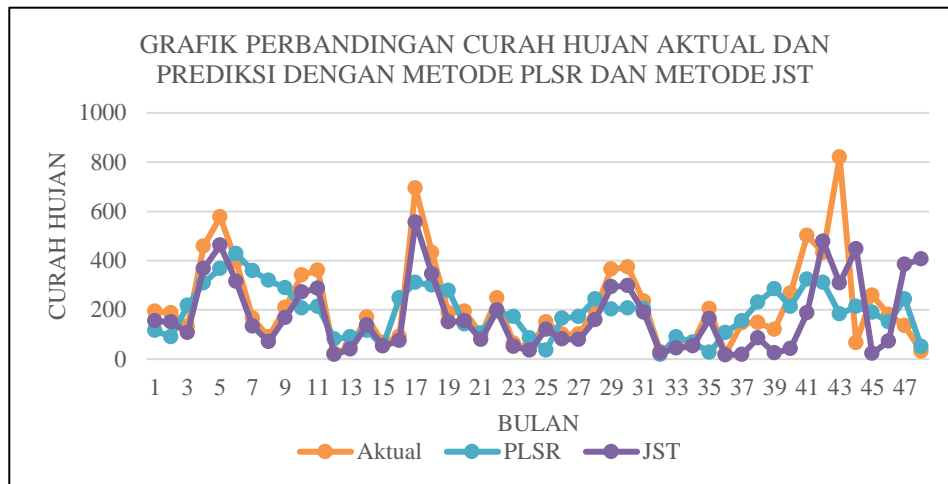
Perbandingan hasil data curah hujan aktual dan prediksi menggunakan metode *Partial Least Square Regression* dan metode Jaringan Syaraf Tiruan diperoleh dari hasil keluaran menggunakan *software* yang digunakan. Hasil pengolahan berupa tabel dan grafik perbandingan kedua metode. Berikut hasil perbandingan data aktual dan data prediksi menggunakan kedua metode.

Tabel 4. 2 Hasil Perbandingan Curah Hujan Aktual dan Prediksi menggunakan Metode PLSR dan Metode JST Pada Pos Hujan Sakkoli (Pos I)

TAHUN	BULAN	NILAI PERBANDINGAN CURAH HUJAN METODE PLSR DAN METODE JST			
		AKTUAL		PREDIKSI	
		PLSR	JST	PLSR	JST
2017	JANUARI	195	195	116	156
	FEBRUARI	187	187	89	150
	MARET	133	133	217	107
	APRIL	459	459	309	367
	MEI	578	578	368	463
	JUNI	395	395	428	316
	JULI	166	166	358	133
	AGUSTUS	89	89	319	71
	SEPTEMBER	210	210	289	168
	OKTOBER	341	341	206	273
	NOVEMBER	360	360	213	288
	DESEMBER	22	22	81	18
2018	JANUARI	50	50	89	40
	FEBRUARI	171	171	116	137
	MARET	67	67	54	54
	APRIL	93	93	248	75
	MEI	695	695	311	556
	JUNI	432	432	300	346
	JULI	187	187	278	150
	AGUSTUS	195	195	141	156
	SEPTEMBER	100	100	105	80
	OKTOBER	249	249	194	199
	NOVEMBER	65	65	172	52
	DESEMBER	45	45	85	36
2019	JANUARI	151	151	36	121
	FEBRUARI	101	101	165	81
	MARET	100	100	172	80
	APRIL	200	200	244	160
	MEI	366	366	202	293
	JUNI	373	373	207	299
	JULI	236	236	204	189

TAHUN	BULAN	NILAI PERBANDINGAN CURAH HUJAN METODE PLSR DAN METODE JST			
		AKTUAL		PREDIKSI	
		PLSR	JST	PLSR	JST
2019	AGUSTUS	30	30	18	24
	SEPTEMBER	55	55	89	44
	OKTOBER	66	66	68	53
	NOVEMBER	205	205	27	164
	DESEMBER	21	21	108	17
2020	JANUARI	146	146	156	18
	FEBRUARI	149	149	231	85
	MARET	121	121	285	26
	APRIL	267	267	214	42
	MEI	502	502	323	188
	JUNI	433	433	311	478
	JULI	820	820	183	308
	AGUSTUS	67	67	213	448
	SEPTEMBER	258	258	190	23
	OKTOBER	180	180	150	72
	NOVEMBER	136	136	244	384
	DESEMBER	32	32	52	406
RATA-RATA		218,729	218,729	191,208	174,875

Berdasarkan tabel 4.2 diperoleh nilai tertinggi untuk data prediksi pada pos hujan Sakkoli setiap tahunnya jika menggunakan metode *Partial Least Square Regression* yakni bulan Juni 428 mm pada tahun 2017, bulan Juni 300 mm pada tahun 2018, bulan Juni 373 mm pada tahun 2019 dan bulan Mei 323 mm pada tahun 2020. Sedangkan, hasil yang diperoleh dengan menggunakan metode Jaringan Syaraf Tiruan yaitu bulan Mei 463 mm pada tahun 2017, bulan Mei 556 mm pada tahun 2018, bulan Juni 299 mm pada tahun 2019 dan bulan Juni 478 mm pada tahun 2020.



Grafik 4. 1 Nilai Perbandingan Curah Hujan Aktual dan Prediksi dengan Menggunakan Metode PLSR dan Metode JST

Berdasarkan grafik 4.1, diperoleh perbandingan rata-rata curah hujan bulanan yakni untuk metode *Partial Least Square Regression* 191,208 mm sedangkan pada metode Jaringan Syaraf Tiruan yaitu 174,875 mm. Nilai tersebut diperoleh dengan menjumlahkan masing-masing untuk data aktual dan data prediksi kemudian membagi hasil penjumlahan tersebut dengan jumlah data yang ada yakni 48 data untuk masing-masing data aktual dan data prediksi. Berdasarkan pola grafik antara data prediksi dan data aktual maka dapat dikatakan jika metode Jaringan Syaraf Tiruan memiliki beberapa titik yang berhimpitan sehingga metode tersebut layak digunakan untuk memprediksi curah hujan di tahun berikutnya.

2) Pos Hujan Paria/Majennang

Perbandingan hasil data curah hujan aktual dan prediksi menggunakan metode *Partial Least Square Regression* dan metode Jaringan Syaraf Tiruan diperoleh dari hasil keluaran menggunakan software yang digunakan. Hasil

pengolahan berupa tabel dan grafik perbandingan kedua metode. Berikut hasil perbandingan data aktual dan data prediksi menggunakan kedua metode.

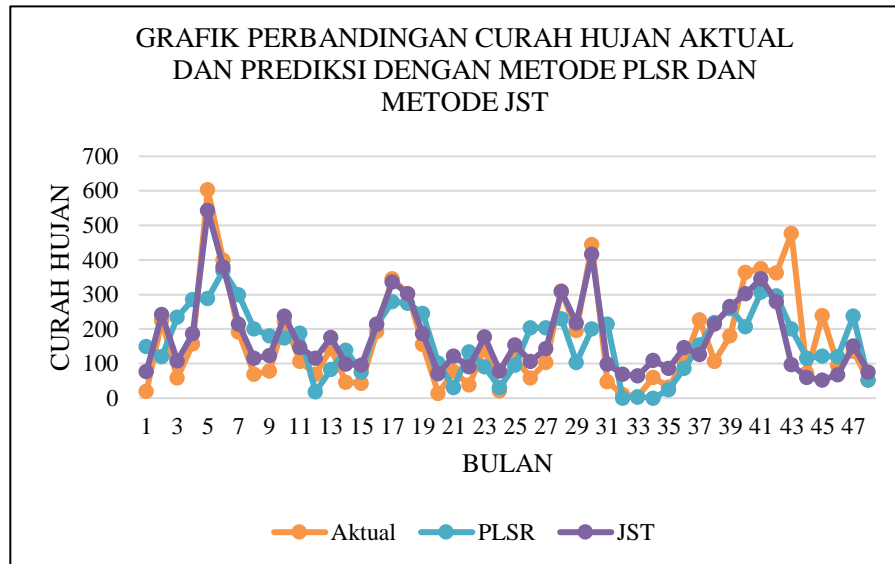
Tabel 4. 3 Hasil Perbandingan Curah Hujan Aktual dan Prediksi menggunakan Metode PLSR dan Metode JST Pada Pos Hujan Paria/Majennang (Pos II)

TAHUN	BULAN	NILAI PERBANDINGAN CURAH HUJAN METODE PLSR DAN METODE JST			
		AKTUAL		PREDIKSI	
		PLSR	JST	PLSR	JST
2017	JANUARI	20	20	150	77
	FEBRUARI	226	226	120	242
	MARET	59	59	234	108
	APRIL	157	157	286	186
	MEI	603	603	288	543
	JUNI	399	399	369	380
	JULI	191	191	299	214
	AGUSTUS	69	69	201	116
	SEPTEMBER	79	79	180	124
	OKTOBER	222	222	175	238
	NOVEMBER	106	106	188	146
	DESEMBER	69	69	18	116
2018	JANUARI	144	144	83	176
	FEBRUARI	46	46	138	98
	MARET	43	43	76	95
	APRIL	193	193	213	215
	MEI	345	345	279	337
	JUNI	303	303	275	303
	JULI	156	156	245	186
	AGUSTUS	13	13	101	71
	SEPTEMBER	77	77	30	122
	OKTOBER	38	38	134	91
	NOVEMBER	145	145	91	177
	DESEMBER	21	21	31	78
2019	JANUARI	116	116	95	154
	FEBRUARI	58	58	204	107
	MARET	104	104	203	144
	APRIL	310	310	230	309
	MEI	196	196	104	218
	JUNI	445	445	201	417

TAHUN	BULAN	NILAI PERBANDINGAN CURAH HUJAN DENGAN METODE PLSR DAN METODE JST			
		AKTUAL		PREDIKSI	
2019	JULI	48	48	214	99
	AGUSTUS	10	10	0	69
	SEPTEMBER	5	5	3	65
	OKTOBER	60	60	0	109
	NOVEMBER	32	32	24	86
	DESEMBER	107	107	87	146
2020	JANUARI	227	227	154	127
	FEBRUARI	107	107	219	215
	MARET	181	181	259	265
	APRIL	364	364	206	303
	MEI	375	375	307	346
	JUNI	362	362	297	279
	JULI	477	477	201	97
	AGUSTUS	73	73	115	60
	SEPTEMBER	239	239	122	53
	OKTOBER	95	95	120	68
	NOVEMBER	135	135	238	151
	DESEMBER	52	52	53	76
RATA-RATA		164,652	164,652	163,750	175,042

Berdasarkan tabel 4. 3 diperoleh nilai tertinggi untuk data prediksi pada pos hujan Sakkoli setiap tahunnya jika menggunakan metode *Partial Least Square Regression* yakni bulan Juni 369 mm pada tahun 2017, bulan Mei 279 mm pada tahun 2018, bulan Juli 214 mm pada tahun 2019 dan bulan Mei 307 mm pada tahun 2020. Sedangkan, hasil yang diperoleh dengan menggunakan metode Jaringan Syaraf Tiruan yaitu bulan Mei 543 mm pada tahun 2017, bulan Mei 337 mm pada tahun 2018, bulan Juni 407 mm pada tahun 2019 dan bulan Mei 346 mm pada tahun 2020.

Grafik 4. 2 Nilai Perbandingan Curah Hujan Aktual dan Prediksi dengan Metode PLSR dan Metode JST



Berdasarkan grafik 4.2, diperoleh perbandingan rata-rata curah hujan bulanan yakni untuk metode *Partial Least Square Regression* 163,750 mm sedangkan pada metode Jaringan Syaraf Tiruan yaitu 175,042 mm. Nilai tersebut diperoleh dengan menjumlahkan masing-masing untuk data aktual dan data prediksi kemudian membagi hasil penjumlahan tersebut dengan jumlah data yang ada yakni 48 data untuk masing-masing data aktual dan data prediksi. Berdasarkan pola grafik antara data prediksi dan data aktual maka dapat dikatakan jika metode Jaringan Syaraf Tiruan memiliki beberapa titik yang berhimpitan sehingga metode tersebut layak digunakan untuk memprediksi curah hujan di tahun berikutnya.

3) Pos Hujan Anabanua

Perbandingan hasil data curah hujan aktual dan prediksi menggunakan metode Partial Least Square Regression dan metode Jaringan Syaraf Tiruan diperoleh dari hasil keluaran menggunakan software yang digunakan. Hasil pengolahan berupa tabel dan grafik perbandingan kedua metode. Berikut hasil perbandingan data aktual dan data prediksi menggunakan kedua metode.

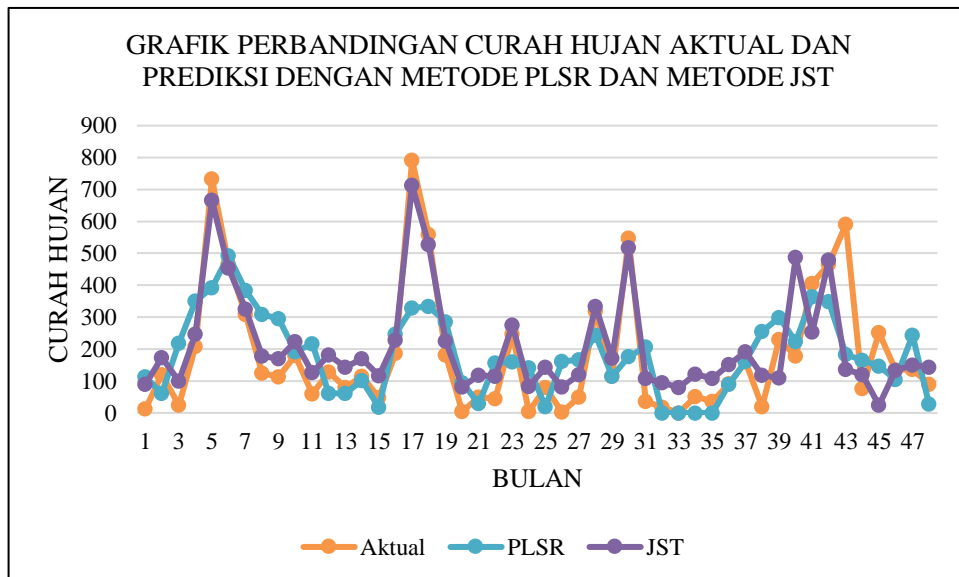
Tabel 4. 4 Hasil Perbandingan Curah Hujan Aktual dan Prediksi menggunakan Metode PLSR dan Metode JST Pada Pos Hujan Anabanua (Pos III)

TAHUN	BULAN	NILAI PERBANDINGAN CURAH HUJAN DENGAN METODE PLSR DAN METODE JST			
		AKTUAL		PREDIKSI	
		PLSR	JST	PLSR	JST
2017	JANUARI	13	13	113	90
	FEBRUARI	119	119	62	174
	MARET	25	25	218	99
	APRIL	209	209	351	246
	MEI	733	733	393	666
	JUNI	468	468	493	454
	JULI	309	309	384	326
	AGUSTUS	125	125	309	179
	SEPTEMBER	113	113	296	170
	OKTOBER	180	180	192	223
	NOVEMBER	60	60	216	127
	DESEMBER	128	128	61	182
2018	JANUARI	80	80	61	143
	FEBRUARI	114	114	102	170
	MARET	47	47	17	117
	APRIL	187	187	247	229
	MEI	792	792	329	713
	JUNI	560	560	334	527
	JULI	182	182	285	225
	AGUSTUS	4	4	95	82
	SEPTEMBER	49	49	30	118
	OKTOBER	44	44	157	114
	NOVEMBER	246	246	159	276
	DESEMBER	5	5	142	83

TAHUN	BULAN	NILAI PERBANDINGAN CURAH HUJAN DENGAN METODE PLSR DAN METODE JST			
		AKTUAL		PREDIKSI	
2019	JANUARI	80	80	19	143
	FEBRUARI	2	2	162	81
	MARET	50	50	167	119
	APRIL	318	318	243	334
	MEI	115	115	114	171
	JUNI	548	548	176	518
	JULI	36	36	207	108
	AGUSTUS	18	18	0	94
	SEPTEMBER	0	0	0	79
	OKTOBER	52	52	0	121
	NOVEMBER	36	36	0	108
	DESEMBER	91	91	89	152
2020	JANUARI	159	159	161	192
	FEBRUARI	20	20	255	118
	MARET	230	230	299	109
	APRIL	179	179	223	487
	MEI	405	405	363	254
	JUNI	465	465	349	479
	JULI	591	591	184	136
	AGUSTUS	77	77	165	120
	SEPTEMBER	251	251	147	24
	OKTOBER	135	135	104	133
	NOVEMBER	137	137	243	149
	DESEMBER	89	89	27	143
RATA-RATA		184,916	184,916	182,143	210,521

Berdasarkan tabel 4. 4 diperoleh nilai tertinggi untuk data prediksi pada pos hujan Sakkoli setiap tahunnya jika menggunakan metode *Partial Least Square Regression* yakni bulan Juni 369 mm pada tahun 2017, bulan Mei 329 mm pada tahun 2018, bulan Juni 207 mm pada tahun 2019 dan bulan Mei 363 mm pada tahun 2020. Sedangkan, hasil yang diperoleh dengan menggunakan metode Jaringan Syaraf Tiruan yaitu bulan Mei 543 mm pada tahun 2017, bulan Mei 701 mm pada tahun 2018, bulan Juni 518 mm pada tahun 2019 dan bulan Juni 479 mm pada tahun 2020.

Grafik 4. 3 Grafik Nilai Perbandingan Curah Hujan Aktual dan Prediksi Menggunakan Metode PLSR dan Metode JST



Berdasarkan grafik 4. 3, diperoleh perbandingan rata-rata curah hujan bulanan yakni untuk metode *Partial Least Square Regression* 182,143 mm sedangkan pada metode Jaringan Syaraf Tiruan yaitu 210,521 mm. Nilai tersebut diperoleh dengan menjumlahkan masing-masing untuk data aktual dan data prediksi kemudian membagi hasil penjumlahan tersebut dengan jumlah data yang ada yakni 48 data untuk masing-masing data aktual dan data prediksi. Berdasarkan pola grafik antara data prediksi dan data aktual maka dapat dikatakan jika metode Jaringan Syaraf Tiruan memiliki beberapa titik yang berhimpitan sehingga metode tersebut layak digunakan untuk memprediksi curah hujan di tahun berikutnya.

b) Perbandingan Nilai Validasi Curah Hujan

Perbandingan nilai validasi curah hujan menggunakan persamaan 2.21. yang diolah menggunakan *software* Matlab sedangkan untuk nilai korelasi

diolah menggunakan *software* Microsoft Excel. Berikut hasil perbandingan nilai validasi curah hujan aktual dan prediksi untuk ketiga pos hujan.

Tabel 4. 5 Perbandingan Nilai Validasi Metode Partial Least Square Regression dan Jaringan Syaraf Tiruan

Pos Pengamatan	Metode PLS Regression		Metode JST	
	Korelasi	RMSE	Korelasi	RMSE
Sakkoli	0,546	190,669	0,671	0,150
Paria	0,625	6,062	0,842	0,107
Anabanua	0,626	19,196	0,852	0,024

Nilai *Root Mean Square Error* pada metode Jaringan Syaraf Tiruan memiliki nilai yang lebih kecil dibandingkan nilai *Root Mean Square Error* pada metode *Partial Least Square Regression*. Sehingga, nilai validitas pada metode Jaringan Syaraf Tiruan lebih baik dikarenakan semakin kecil nilai *Root Mean Square Error* maka semakin baik model prediksi yang diperoleh.

Nilai korelasi menjelaskan hubungan antara data aktual dan data dari kedua metode yang digunakan. Semakin tinggi nilai korelasi yang diperoleh maka semakin bagus hubungan antara data aktual dan data prediksi yang dilakukan.

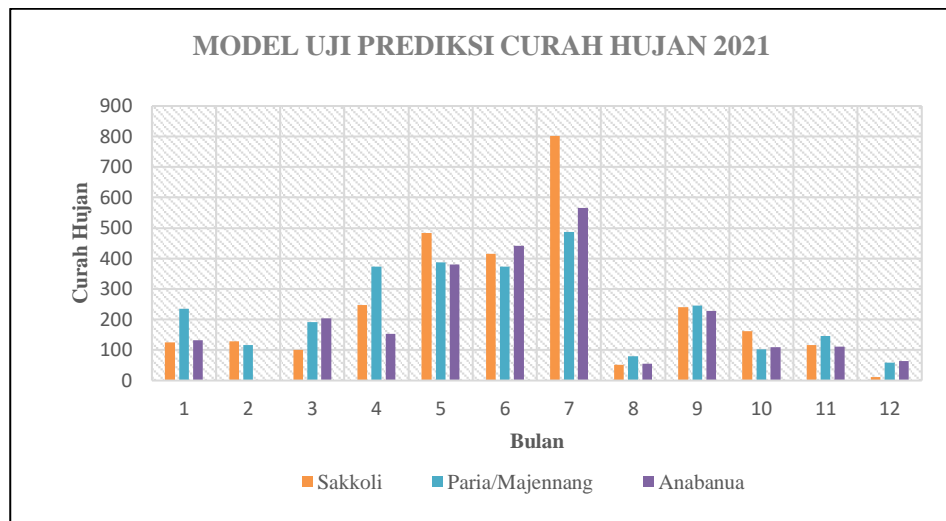
c) Model Uji Prediksi Curah Hujan 2021

Model uji prediksi terbagi menjadi dua yakni prediksi menggunakan metode *Partial Least Square Regression* dan prediksi menggunakan metode jaringan Syaraf Tiruan, sebagai berikut.

1) Metode *Partial Least Square Regression*

Hasil prediksi biasanya tidak jauh berbeda dengan data aktual.

Prediksi yang dihasilkan pada penelitian ini diperoleh dari algoritma PLS prediksi yang ada pada *software*. Hasil prediksi dapat dilihat pada grafik hasil model uji prediksi curah hujan tahun 2021, sebagai berikut.



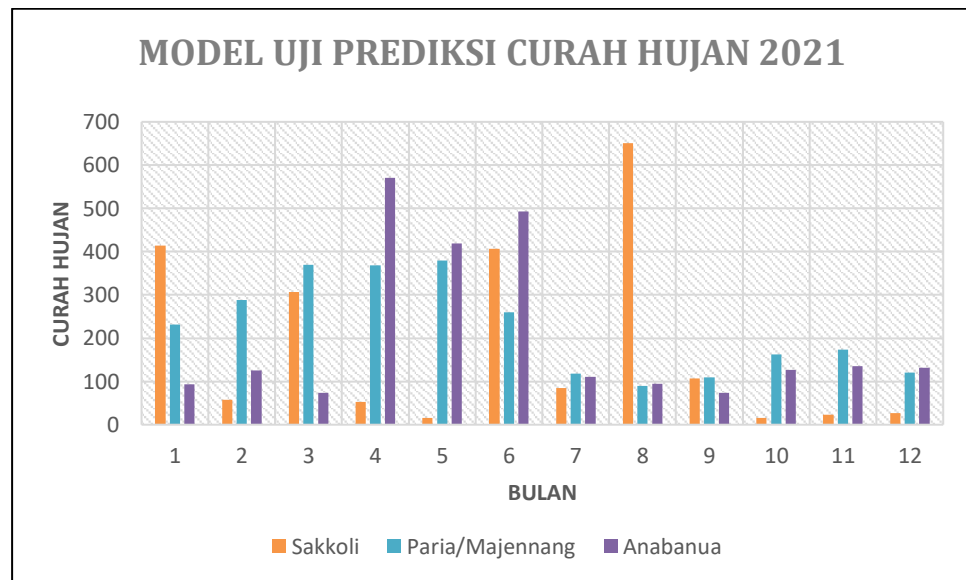
Grafik 4. 4 Model Uji Prediksi Curah Hujan Tahun 2021

Berdasarkan grafik 4. 4 tersebut diperoleh jika curah hujan tertinggi pada pos hujan Sakkoli yaitu 820 mm, pos hujan Paria/Majennang yaitu 487 mm dan pos hujan Anabanua yaitu 567 mm yang masing-masing terjadi pada bulan juli. Adapun curah hujan terendah pada pos hujan Sakkoli terjadi pada bulan desember yaitu 12 mm, pada pos hujan Paria/majennang yaitu 56 mm terjadi di bulan desember dan pos hujan Anabanua terjadi di bulan februari yaitu 0 mm. Curah hujan dengan nilai 0 mm berarti memiliki curah hujan yang sangat kecil pada bulan tersebut.

2) Metode Jaringan Syaraf Tiruan

Model uji prediksi curah hujan mengikuti pola dari data hasil uji pada proses pengujian. Sehingga, nilai yang dihasilkan tidak jauh berbeda dengan

nilai hasil uji pada proses pengujian. Berikut ini, grafik prediksi curah hujan tahun 2021 untuk ketiga pos hujan di kabupaten Wajo.



Grafik 4. 5 Hasil Model Uji Prediksi Untuk Curah Hujan Tahun 2021

Berdasarkan grafik 4. 5 yang diperoleh dari hasil model uji prediksi untuk tahun 2021, dapat dikatakan jika curah hujan tertinggi pada pos hujan Sakkoli yaitu 651 mm pada bulan Agustus, pos hujan Paria/Majennang yaitu 379 mm pada bulan Mei dan pos hujan Anabanua pada bulan April yaitu 571 mm. Kemudian, curah hujan terendah terjadi di bulan Mei yaitu 16 mm untuk pos hujan Sakkoli, pada bulan Agustus yaitu 90 mm untuk pos hujan Paria/Majennang dan pada bulan September yaitu 73 mm untuk pos hujan Anabanua.

B. Pembahasan

Nilai validitas pada perbandingan curah hujan menggunakan data aktual dan data prediksi dapat disimpulkan berdasarkan nilai *Root Mean Square Error* dan nilai korelasi yang diperoleh. Nilai *Root Mean Square Error* diperoleh berdasarkan perhitungan dengan menggunakan *software* Matlab. Data curah hujan aktual dan

prediksi diinput ke dalam *software* untuk kemudian dihitung menggunakan *syntax* yang telah dibuat berdasarkan persamaan 2.22. Nilai *Root Mean Square Error* untuk metode *Partial Least Square Regression* yang diperoleh cukup tinggi yakni 190,669 untuk pos hujan Sakkoli, 6,062 untuk pos hujan paria/Majennang dan 19,196 untuk pos hujan Anabanua. Nilai tersebut tidak sesuai dengan nilai *Root Mean Square Error* yang seharusnya mendekati nilai nol. Hal ini dapat terjadi karena tipe data prediktor yang diperoleh yakni data global serta lokasi dari data tersebut kurang spesifik dengan lokasi yang diteliti (Wigena, 2006). Sehingga, nilai *Root Mean Square Error* yang diperoleh cukup tinggi.

Nilai *Root Mean Square Error* untuk metode Jaringan Syaraf Tiruan yang diperoleh sudah baik yakni 0,150 untuk pos hujan Sakkoli, 0,107 untuk pos hujan Paria/Majennang dan 0,024 untuk pos hujan Anabanua. Nilai tersebut sudah sesuai dikarenakan data yang digunakan berada pada lokasi yang diteliti. Selain itu, algoritma yang digunakan yakni algoritma *Backpropagation* yang didesain agar memiliki keluaran atau *output* yang lebih akurat dengan tingkat error yang lebih kecil (Sofian, dkk. 2017). Hal inilah yang membedakan nilai *Root Mean square Error* yang diperoleh pada metode jaringan Syaraf tiruan dapat lebih kecil dan lebih akurat dibandingkan dengan nilai *Root Mean Square Error* pada metode *Partial Least Square Regression*.

Berdasarkan hasil model uji prediksi tahun 2021 maka tingkat validasi dapat ditentukan berdasarkan data observasi yakni curah hujan relatif terjadi pada bulan April hingga bulan Juni dan pada bulan Agustus hingga bulan Oktober (pusatdata. Kab.Wajo). Sehingga, model uji prediksi yang mendekati data observasi tersebut

mengarah pada metode Jaringan Syaraf Tiruan. Dengan kata lain, jaringan yang telah dibangun atau didesain dapat digunakan untuk memprediksi curah hujan pada tahun berikutnya.



BAB V

PENUTUP

A. *Kesimpulan*

Kesimpulan pada penelitian ini adalah sebagai berikut.

1. Perbandingan curah hujan aktual dan curah hujan prediksi diperoleh menggunakan pengolahan data pada *software* SmartPLS untuk metode *Partial Least Square Regression* dan *software* matlab untuk metode Jaringan Syaraf Tiruan. Nilai keluaran yang diperoleh kemudian dirata-ratakan sehingga menghasilkan nilai rata-rata curah hujan untuk tahun 2017 hingga 2020 yakni 191,208 mm untuk pos hujan Sakkoli, nilai rata-rata curah hujan pada pos hujan Paria/Majennang yakni 163,750 mm dan nilai rata-rata curah hujan pada pos hujan Anabanua yakni 182,143 mm pada metode *Partial Least Square Regression*. Sedangkan, nilai rata-rata untuk curah hujan menggunakan metode Jaringan Syaraf Tiruan yakni 174,875 mm pada pos hujan Sakkoli, nilai rata-rata curah hujan untuk pos hujan Paria/Majennang yakni 175,042 mm dan untuk pos hujan Anabanua yakni 210,521 mm. Berdasarkan pola grafik yang diperoleh dengan menginput data aktual dan data prediksi dari kedua metode yang digunakan maka diperoleh hasil pola grafik Jaringan Syaraf Tiruan lebih mendekati pola grafik dari data aktual sedangkan pola grafik *Partial Least Square Regression* sedikit mendekati pola grafik dari data aktual. Hal ini dapat disebabkan karena adanya beberapa faktor seperti data global pada metode *Partial Least Square Regression* yang digunakan kurang spesifik sehingga

terjadi perbedaan yang cukup jauh antara metode *Partial Least Square Regression* dan data aktual.

2. Berdasarkan hasil perbandingan nilai validitas berupa nilai *Root Square Mean Error* dan nilai korelasi dengan menggunakan metode *Partial Least Square Regression* untuk pos hujan Sakkoli, Paria/Majennang dan Anabanua masing-masing memiliki nilai yaitu 190,669., 6,062 dan 19,196 sedangkan nilai *Root Square Mean Error* menggunakan metode Jaringan Syaraf Tiruan untuk pos hujan Sakkoli, Paria/Majennang dan Anabanua masing-masing memiliki nilai yaitu 0,150., 0,107 dan 0,024. Nilai *Root Square Mean Error* dari kedua metode yang digunakan memiliki perbedaan yang cukup jauh. Hal ini dapat terjadi karena metode Jaringan Syaraf Tiruan didesain khusus menggunakan algoritma *Backpropagation* sehingga dapat menghasilkan nilai keluaran yang lebih akurat dan lebih kecil. Berbeda dengan metode *Partial Least Square Regression* dengan nilai yang cukup tinggi. Hal ini dapat disebabkan karena data yang digunakan bersifat global sehingga kurang spesifik dan menyebabkan nilai *Root Mean Square Error* lebih tinggi. Semakin kecil nilai *Root mean Square Error* maka semakin kecil kemungkinan kesalahan yang terjadi dalam proses prediksi. Untuk nilai korelasi menggunakan metode *Partial Least Square Regression* memperoleh nilai untuk masing-masing pos pengamatan hujan yaitu 0,546., 0,625 dan 0,626., sedangkan nilai korelasi dengan menggunakan metode Jaringan Syaraf Tiruan untuk masing-masing pos pengamatan hujan yaitu 0,671., 0,842 dan 0,852. Sehingga, dapat dijelaskan jika korelasi antara data

aktual dan data prediksi pada metode Jaringan Syaraf Tiruan sangat baik.

B. Saran

Saran pada penelitian ini adalah sebagai berikut.

1. Untuk penelitian prediksi curah hujan menggunakan metode *Partial Least Square Regression* sebaiknya mencari cara untuk mengatasi tipe data global yang kurang spesifik dengan lokasi penelitian agar model uji prediksi yang dihasilkan semakin baik.
2. Untuk penelitian menggunakan metode Jaringan Syaraf Tiruan bisa menggunakan algoritma selain *backpropagation* agar dapat dibandingkan dengan algoritma yang digunakan pada penelitian ini.

DAFTAR PUSTAKA

- Abrori, Saba Zaidi. "Konsep Hujan Dalam Al-Quran Dan Relevansinya Dalam Pelestarian Lingkungan". *Skripsi*. Ponorogo: Fakultas Ushuluddin, Adab dan Dakwah IAIN Ponorogo (2019).
- Arif, F. M., Gernowo, R., Setyawan, A., & Febrianty, D. 2012. "Analisa Data Curah Hujan Stasiun Klimatologi Semarang Dengan Model Jaringan Syaraf Tiruan". *Berkala Fisika* 15(1): 21-26.
- Andrian, Yudhi., and Erlinda Ningsih. 2016. "Prediksi Curah Hujan Di Kota Medan Menggunakan Metode Backpropagation Neural Network". *Seminar Nasional Informatika* 1(1): 184-189.
- Badan Meteorologi, Klimatologi dan Geofisika Wilayah IV Sulawesi Selatan.
- BPS Kabupaten Wajo," Kabupaten Wajo Dalam Angka 2018". *Official Website Pemerintahan Kabupaten Wajo*. <http://wajokab.bps.go.id/>. (22 Desember 2020).
- BPS Kabupaten Wajo," Kabupaten Wajo Dalam Angka 2020". *Official Website Pemerintahan Kabupaten Wajo*. <http://wajokab.bps.go.id/>. (22 Desember 2020).
- Bretherton, C. S., Smith, C., & Wallace, J. M. 1992. "An Intercomparison Of Methods For Finding Coupled Patterns In Climate Data". *Journal Of Climate* 5(6): 541-560.
- Butar-butar, V. P., Soleh, A. M., & Wigena, A. H. 2019. "Pemodelan Clusterwise Regresi Pada Statistical Downscaling Untuk Pendugaan Curah Hujan Bulanan". *Indonesian Journal of Statistics and Its Applications* 3(3): 236-246.
- Bahri, S., & Irwansyah, I. 2019. "Model Prediksi Curah Hujan Harian Menggunakan Jaringan Syaraf Tiruan Backpropagation". *Indonesian Physical Review* 2(1): 9.
- Estiningtyas, W., & Wigena, A. H. 2011. "Teknik Statistical Downscaling Dengan Regresi Komponen Utama Dan Regresi Kuadrat Terkecil Parsial Untuk Prediksi Curah Hujan Pada Kondisi El Nino, La Nina, Dan Normal". *Jurnal Meteorologi dan Geofisika* 12(1).
- Gifari, A. A. 2020. "Penggunaan Jaringan Syaraf Tiruan Metode Backpropagation Untuk Prediksi Curah Hujan Berbasis Website". *Dielektrika* 7(2): 88-93.
- Hadijati, M., Komalasari, D., Fitriyani, N., & Korespondensi, P. 2016. "Statistical Downscaling Regresi Non parametrik Kernel untuk Prediksi Curah Hujan Bulanan Stasiun Sembalun". Prosiding *Seminar Nasional Matematika II-Bali*.
- Kementerian Agama RI. "Al-Qur'an Tajwid dan TerjemahNya". Bandung: Syamil Quran (2019).

- Laserio, S. D. 2016. "Analisis Data Parameter Hujan Menggunakan Fitur Guide Pada Matlab Berdasarkan Hasil Pengukuran Instrumen Optical Rain Gauge Di Loka Pengamatan Atmosfer Kototabang Lapan". *Pillar Of Physics* 3(1).
- Mamenun, M. 2012. "Prediksi Anomali Curah Hujan Bulanan Di Wilayah Makassar Menggunakan Teknik Statistical Downscaling". *Jurnal Meteorologi dan Geofisika* 13(3).
- Manalu, M. T. 2016. "Jaringan Syaraf Tiruan Untuk Memprediksi Curah Hujan Sumatera Utara Dengan Metode Backpropagation (Studi Kasus: BMKG Medan)". *JURIKOM (Jurnal Riset Komputer)* 3(1).
- Muflih, G. Z., Sunardi, S., & Yudhana, A. 2019. "Jaringan Syaraf Tiruan Backpropagation untuk Prediksi Curah Hujan di Wilayah Kabupaten Wonosobo". *MUST: Journal of Mathematics Education, Science and Technology* 4(1): 45-56.
- Muharsyah, Robi. 2016. "Penentuan Batas Atas Normal Dan Bawah Normal Curah Hujan Bulanan Setara Tercile Dengan Koefisien Regresi Linier Sederhana". *Jurnal Meteorologi dan Geofisika* 15(1).
- Nandani, Sinta Okta. "Penentuan Ukuran Grid TRMM 3B42 Terhadap Keandalan Prediksi Curah Hujan Pada DAS Sampean Baru". *Skripsi*. Jember: Fakultas Teknik Universitas Jember (2017).
- Pemkab. Wajo, "Portal Satu Data Pemerintah Kabupaten Wajo". *Official Website Pemerintahan Kabupaten Wajo*. <http://pusatdata.wajokab.go.id/>. (22 Desember 2020).
- Rachmawati, Asri. 2015. "Prediksi Curah Hujan Di Kota Pontianak Menggunakan Parameter Cuaca Sebagai Prediktor Pada Skala Bulanan, Dasarian dan Harian". *POSITRON* 5(2).
- Ringle, C. M., Wende, S., dan Becker, J.-M. 2015. "SmartPLS 3." Boenningstedt: SmartPLS GmbH, <http://www.smartpls.com>.
- Risalah Muslim. Tafsir Kementerian Agama. <http://risalahmuslim.id/quran/annuur/24-43/>. Diakses pada tanggal 13 Februari 2021. Risalah Muslim. Tafsir Kementerian Agama. <http://risalahmuslim.id/quran/fatiir/9/>. Diakses pada tanggal 13 Februari 2021.
- Rizki, A., & Nurussadad, A. A. 2018. "Pemodelan Semiparametrik Statistical Downscaling Untuk Menduga Curah Hujan Bulanan Di Indramayu". *Xplore: Journal of Statistics* 2(2): 1-6.
- Romanchuk, V. A. 2020. "Evaluation of Storage and Functioning Characteristics of Artificial Neural Networks on The Basis of Neurocomputer Device". *IOP Conference Series: Materials Science and Engineering* 734 (1) 012009. IOP Publishing.
- Safri, A., Hadi, T. W., Hadi, S., & Kasih, B. T. H. 2013. "Prediksi Hujan Bulanan Menggunakan Adaptive Statistical Downscaling". *Jurnal Meteorologi dan Geofisika* 14(1).

- Sahrman, Sitti. "Model Statistical Downscaling Dengan Time Lag Data Global Circulation Model Untuk Peramalan Curah Hujan". *Tesis*. Bogor: Pascasarjana Institut Pertanian Bogor (2016).
- Santri, Dewi., & Hanike, Yusrianti. 2020. "Pemodelan Statistical Downscaling Regresi Kuantil Lasso Dan Analisis Komponen Utama Untuk Pendugaan Curah Hujan Ekstrim". *MAp (Mathematics and Applications) Journal* 2(1), 47-57.
- Sofian, I. M., & Apriani, Y. 2017. "Metode Peramalan Jaringan Syaraf Tiruan Menggunakan Algoritma Backpropagation (Studi Kasus Peramalan Curah Hujan Kota Palembang)". *Jurnal Mipa* 40(2): 87-91.
- Soleh, A. M., Wigena, A. H., Djuraidah, A., & Saefuddin, A. 2015. "Pemodelan Statistical Downscaling Untuk Menduga Curah Hujan Bulanan Menggunakan Model Linier Terampat Sebaran Gamma". *Jurnal Informatika Pertanian* 24(2): 215-222.
- Sutawinaya, I. P., Astawa, I. N. G. A., & Hariyanti, N. K. D. 2017. "Perbandingan Metode Jaringan Syaraf Tiruan pada Peramalan Curah Hujan". *Logic: Jurnal Rancang Bangun dan Teknologi* 17(2): 92-97.
- Syaikh, Abdullah bin Muhammad Alu. "Tafsir Ibnu Katsir Jilid 1". Pustaka Imam Syafi'i: Jakarta (2008).
- Wati, Trinh., & Wigena, A. H. 2016. "Seleksi Prediktor Data Global Climate Model Dengan Teknik Singular Value Decomposition Untuk Prediksi Curah Hujan Di Pantai Utara Jawa Barat". *Jurnal Meteorologi dan Geofisika* 15(3).
- Widayat, Nograho Wahyu. "Prediksi Parameter Cuaca Ekstrim Di Kota Surabaya Dengan Metode Backpropagation". *Skripsi*. Surabaya: Fakultas Sains dan Teknologi Universitas Islam Negeri Sunan Ampel (2020).
- Wigena, Aji Hamim. "Pemodelan Statistical Downscaling Dengan Regresi Projection Pursuit Untuk Peramalan Curah Hujan Bulanan. Kasus Curah Hujan di Indramayu". *Disertasi*. Bogor: Pascasarjana Institut Pertanian Bogor (2006).
- Wigena, A. H. 2011. "Regresi Kuadrat Terkecil Parsial Multi Respon Untuk Statistical Downscaling (Multi Response Partial Least Square For Statistical Downscaling)". *Forum Statistika dan Komputasi* 16(2).
- Wilby, R. L., & Wigley, T. M. 1997. "Downscaling General Circulation Model Output: A Review Of Methods And Limitations". *Progress In Physical Geography* 21(4): 530-548.
- Wu, Y., Ling, R., Zhou, J., Zhang, M., & Gao, W. 2021. "Prediction Of Water Quality Based On Artificial Neural Network". *Journal of Physics: Conference Series* 1738(1) 012066. IOP Publishing.

RIWAYAT HIDUP



Penulis Bernama Nurfadhilah Jusman, lahir di Desa Lompoloang, 29 Oktober 1999. Penulis merupakan anak dari pasangan Bapak Jusman Asri dan Ibu Surianti. Penulis merupakan anak pertama dari empat bersaudara yaitu Muhammad Fahrizal Jusman, Muhammad Fadhil Jusman dan Muhammad Fauzi Al-Farisqi Jusman. Penulis menempuh Pendidikan di SDN 189 Lompoloang, MTsN Pitumpanua, MAN 2 Makassar dan melanjutkan Pendidikan S1 di jurusan Fisika Fakultas Sains dan Teknologi Universitas Islam Negeri Alauddin Makassar pada tahun 2017. Selama menempuh Pendidikan S1, penulis tergabung dalam HMJ Fisika UINAM sebagai Wakil Sekretaris, Staf Departemen Penelitian dan Pengembangan di UKM RITMA UINAM dan Divisi Fundrising di Astronom Amatir Makassar. Selain itu, penulis juga aktif mengikuti beberapa kegiatan seperti kerelawanan dan kepemudaan di bidang lingkungan. Penulis telah meraih beberapa penghargaan seperti menjadi Delegasi dalam kegiatan *Global Indonesian Leader Summit* (2019) dan kegiatan *Global Leadership Bootcamp* (2020), meraih Medali Perunggu pada Lomba OSKI PTKI bidang Karya Inovasi (2019), meraih juara I dan *Best of The Best Innovation* pada kegiatan International Biotechnology Competition and Exhibition (2020) dan meraih Medali Emas pada lomba OASE PTKI bidang Karya Inovasi (2021). Penulis bercita-cita melanjutkan pendidikan di Luar Negeri dengan tujuan negara Jerman. Semangat untuk penulis. Semoga segera tercapai.

LAMPIRAN I
DATA CURAH HUJAN BULANAN
KABUPATEN WAJO

1. POS HUJAN SAKKOLI

Tahun	Bulan											
	JAN	FEB	MAR	APR	MAI	JUN	JUL	AGS	SEP	OKT	NOV	DES
2016	10	67	106	132	257	471	74	24	6	1	46	106
2017	195	187	133	459	578	395	166	89	210	341	360	22
2018	50	171	67	93	695	432	187	195	100	249	65	45
2019	151	101	100	200	366	373	236	30	55	66	205	21
2020	146	149	121	267	502	433	820	67	258	180	136	32

2. POS HUJAN PARI/MAJENNANG

Tahun	Bulan											
	JAN	FEB	MAR	APR	MAI	JUN	JUL	AGS	SEP	OKT	NOV	DES
2016	238	170	200	394	252	287	403	30	212	235	209	21
2017	20	226	59	157	603	399	191	69	79	222	106	69
2018	144	46	43	193	345	303	156	13	77	38	145	21
2019	116	58	104	310	196	445	48	10	5	60	32	107
2020	227	107	181	364	375	362	477	73	239	95	135	52

3. POS HUJAN ANABANUA

Tahun	Bulan											
	JAN	FEB	MAR	APR	MAI	JUN	JUL	AGS	SEP	OKT	NOV	DES
2016	43	208	150	429	176	353	126	58	140	346	314	21
2017	13	119	25	209	733	468	309	125	113	180	60	128
2018	80	114	47	187	792	560	182	4	49	44	246	5
2019	80	2	50	318	115	548	36	18	0	52	36	91
2020	159	20	230	179	405	465	591	77	251	135	137	89

LAMPIRAN II
DATA PREDIKTOR BULANAN

1. Pos hujan Sakkoli

TAHUN	BULAN	CURAH HUJAN	PARAMETER			
			SUHU MAKSIMUM	SUHU MINIMUM	KELEMBABAN	ANGIN
2017	JANUARI	195	29,98	22,70	87,57	19,71
	FEBRUARI	187	31,56	23,36	88,85	21,41
	MARET	133	31,86	23,49	88,93	18,38
	APRIL	459	32,35	23,45	80,71	16,56
	MEI	578	32,86	23,38	77,83	15,20
	JUNI	395	31,70	22,99	79,20	12,85
	JULI	166	32,34	22,39	74,56	14,90
	AGUSTUS	89	33,67	21,63	62,06	17,74
	SEPTEMBER	210	34,33	22,05	62,47	18,65
	OKTOBER	341	33,13	22,83	77,40	19,40
	NOVEMBER	360	32,52	23,51	80,90	19,56
	DESEMBER	22	24,85	19,18	68,39	17,89
2018	JANUARI	50	30,89	23,71	86,07	22,51
	FEBRUARI	171	30,79	23,25	86,81	20,84
	MARET	67	30,90	23,16	85,07	22,78
	APRIL	93	32,92	23,55	80,22	18,86
	MEI	695	32,89	24,04	79,09	16,95
	JUNI	432	32,11	23,00	80,95	16,01
	JULI	187	32,38	21,64	76,05	15,66
	AGUSTUS	195	33,80	21,08	66,89	20,26
	SEPTEMBER	100	34,14	20,78	61,65	21,87
	OKTOBER	249	34,37	22,09	68,35	20,29
	NOVEMBER	65	25,04	18,14	63,99	14,29
	DESEMBER	45	21,27	16,18	60,61	13,72
2019	JANUARI	151	30,72	23,43	91,24	22,28
	FEBRUARI	101	32,19	23,37	89,71	19,49
	MARET	100	31,45	23,52	89,88	19,36
	APRIL	200	32,76	24,12	87,03	18,89

TAHUN	BULAN	CURAH HUJAN	PARAMETER			
			SUHU MAKSIMUM	SUHU MINIMUM	KELEMBABAN	ANGIN
2019	MEI	366	29,57	21,25	75,86	19,01
	JUNI	373	32,78	22,34	81,76	17,78
	JULI	236	32,94	20,59	71,59	16,76
	AGUSTUS	30	33,92	19,70	62,64	22,40
	SEPTEMBER	55	34,52	20,21	58,22	22,31
	OKTOBER	66	35,08	21,52	59,98	24,62
	NOVEMBER	205	34,37	22,78	74,91	24,66
	DESEMBER	21	28,58	20,77	74,75	18,82
2020	JANUARI	146	31,30	24,07	87,30	20,75
	FEBRUARI	149	31,27	24,21	87,04	19,22
	MARET	121	31,81	24,02	85,79	17,91
	APRIL	267	32,23	23,90	85,89	19,22
	MEI	502	32,69	24,28	86,35	16,52
	JUNI	433	32,48	22,85	83,81	14,85
	JULI	820	32,59	22,05	79,55	17,51
	AGUSTUS	67	34,33	21,97	63,02	20,83
	SEPTEMBER	258	34,22	22,46	69,19	20,63
	OKTOBER	180	34,23	22,61	74,55	21,30
	NOVEMBER	136	32,62	23,32	84,68	17,97
	DESEMBER	32	26,35	20,32	78,66	18,96

2. Pos hujan Paria/Majennang

TAHUN	BULAN	CURAH HUJAN	PARAMETER			
			SUHU MAKSIMUM	SUHU MINIMUM	KELEMBABAN	ANGIN
2017	JANUARI	20	29,98	22,70	87,57	19,71
	FEBRUARI	226	31,56	23,36	88,85	21,41
	MARET	59	31,86	23,49	88,93	18,38
	APRIL	157	32,35	23,45	80,71	16,56
	MEI	603	32,86	23,38	77,83	15,20
	JUNI	399	31,70	22,99	79,20	12,85

TAHUN	BULAN	CURAH HUJAN	PARAMETER			
			SUHU MAKSIMUM	SUHU MINIMUM	KELEMBABAN	ANGIN
2017	JULI	191	32,34	22,39	74,56	14,90
	AGUSTUS	69	33,67	21,63	62,06	17,74
	SEPTEMBER	79	34,33	22,05	62,47	18,65
	OKTOBER	222	33,13	22,83	77,40	19,40
	NOVEMBER	106	32,52	23,51	80,90	19,56
	DESEMBER	69	24,85	19,18	68,39	17,89
2018	JANUARI	144	30,89	23,71	86,07	22,51
	FEBRUARI	46	30,79	23,25	86,81	20,84
	MARET	43	30,90	23,16	85,07	22,78
	APRIL	193	32,92	23,55	80,22	18,86
	MEI	345	32,89	24,04	79,09	16,95
	JUNI	303	32,11	23,00	80,95	16,01
	JULI	156	32,38	21,64	76,05	15,66
	AGUSTUS	13	33,80	21,08	66,89	20,26
	SEPTEMBER	77	34,14	20,78	61,65	21,87
	OKTOBER	38	34,37	22,09	68,35	20,29
	NOVEMBER	145	25,04	18,14	63,99	14,29
	DESEMBER	21	21,27	16,18	60,61	13,72
2019	JANUARI	116	30,72	23,43	91,24	22,28
	FEBRUARI	58	32,19	23,37	89,71	19,49
	MARET	104	31,45	23,52	89,88	19,36
	APRIL	310	32,76	24,12	87,03	18,89
2019	MEI	196	29,57	21,25	75,86	19,01
	JUNI	445	32,78	22,34	81,76	17,78
	JULI	48	32,94	20,59	71,59	16,76
	AGUSTUS	10	33,92	19,70	62,64	22,40
	SEPTEMBER	5	34,52	20,21	58,22	22,31
	OKTOBER	60	35,08	21,52	59,98	24,62
	NOVEMBER	32	34,37	22,78	74,91	24,66
DESEMBER	107	28,58	20,77	74,75	18,82	
2020	JANUARI	227	31,30	24,07	87,30	20,75
	FEBRUARI	107	31,27	24,21	87,04	19,22

TAHUN	BULAN	CURAH HUJAN	PARAMETER			
			SUHU MAKSIMUM	SUHU MINIMUM	KELEMBABAN	ANGIN
2020	MARET	181	31,81	24,02	85,79	17,91
	APRIL	364	32,23	23,90	85,89	19,22
	MEI	375	32,69	24,28	86,35	16,52
	JUNI	362	32,48	22,85	83,81	14,85
	JULI	477	32,59	22,05	79,55	17,51
	AGUSTUS	73	34,33	21,97	63,02	20,83
	SEPTEMBER	239	34,22	22,46	69,19	20,63
	OKTOBER	95	34,23	22,61	74,55	21,30
	NOVEMBER	135	32,62	23,32	84,68	17,97
	DESEMBER	52	26,35	20,32	78,66	18,96

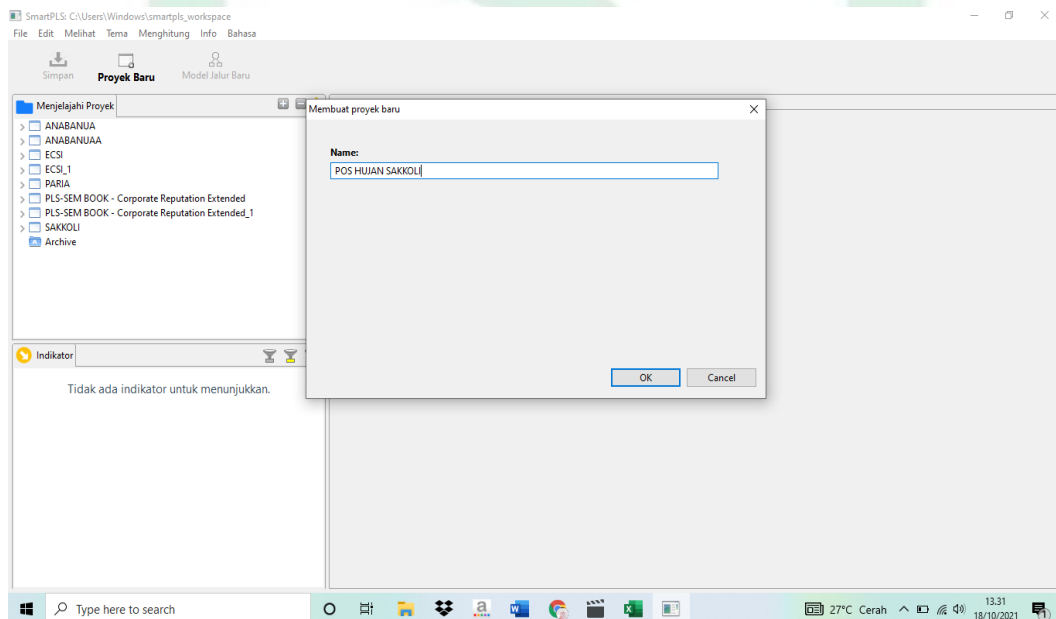
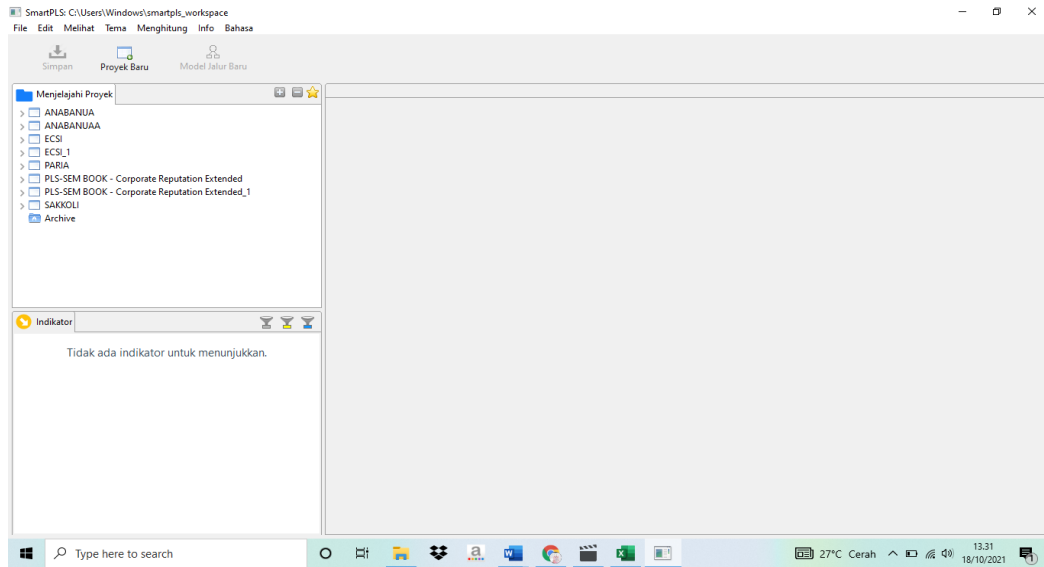
3. Pos hujan Anabanua

TAHUN	BULAN	CURAH HUJAN	PARAMETER			
			SUHU MAKSIMUM	SUHU MINIMUM	KELEMBABAN	ANGIN
2017	JANUARI	13	29,98	22,70	87,57	19,71
	FEBRUARI	119	31,56	23,36	88,85	21,41
	MARET	25	31,86	23,49	88,93	18,38
	APRIL	209	32,35	23,45	80,71	16,56
	MEI	733	32,86	23,38	77,83	15,20
	JUNI	468	31,70	22,99	79,20	12,85
2017	JULI	309	32,34	22,39	74,56	14,90
	AGUSTUS	125	33,67	21,63	62,06	17,74
	SEPTEMBER	113	34,33	22,05	62,47	18,65
	OKTOBER	180	33,13	22,83	77,40	19,40
	NOVEMBER	60	32,52	23,51	80,90	19,56
	DESEMBER	128	24,85	19,18	68,39	17,89
2018	JANUARI	80	30,89	23,71	86,07	22,51
	FEBRUARI	114	30,79	23,25	86,81	20,84
	MARET	47	30,90	23,16	85,07	22,78
	APRIL	187	32,92	23,55	80,22	18,86

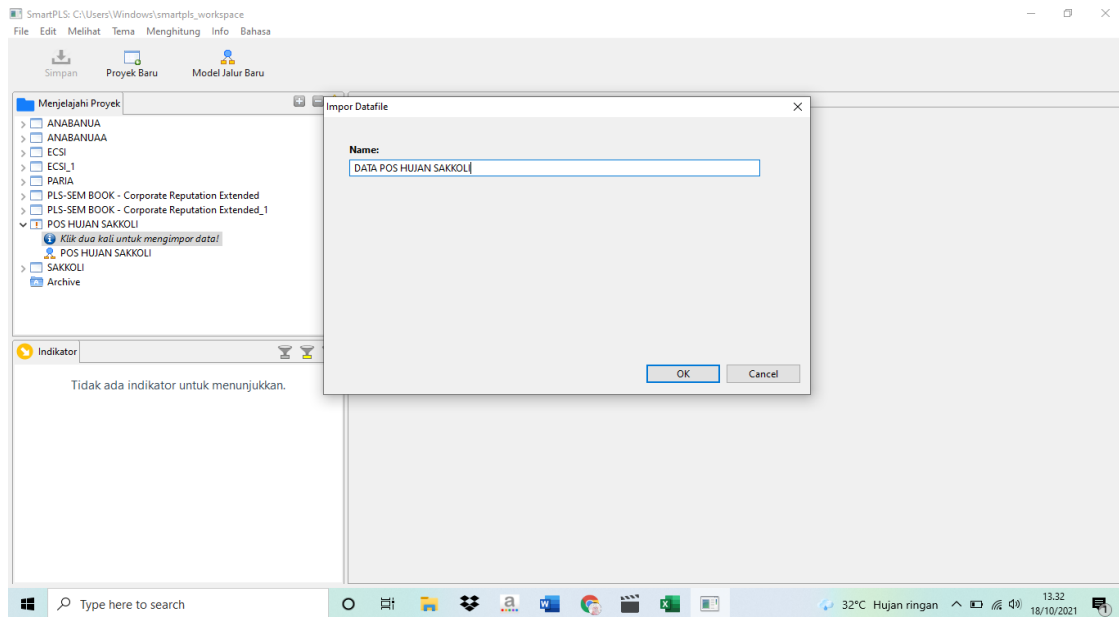
TAHUN	BULAN	CURAH HUJAN	SUHU MAKSIMUM	SUHU MINIMUM	KELEMBABAN	ANGIN
2018	MEI	792	32,89	24,04	79,09	16,95
	JUNI	560	32,11	23,00	80,95	16,01
	JULI	182	32,38	21,64	76,05	15,66
	AGUSTUS	4	33,80	21,08	66,89	20,26
	SEPTEMBER	49	34,14	20,78	61,65	21,87
	OKTOBER	44	34,37	22,09	68,35	20,29
	NOVEMBER	246	25,04	18,14	63,99	14,29
	DESEMBER	5	21,27	16,18	60,61	13,72
2019	JANUARI	80	30,72	23,43	91,24	22,28
	FEBRUARI	2	32,19	23,37	89,71	19,49
	MARET	50	31,45	23,52	89,88	19,36
	APRIL	318	32,76	24,12	87,03	18,89
	MEI	115	29,57	21,25	75,86	19,01
	JUNI	548	32,78	22,34	81,76	17,78
	JULI	36	32,94	20,59	71,59	16,76
	AGUSTUS	18	33,92	19,70	62,64	22,40
	SEPTEMBER	0	34,52	20,21	58,22	22,31
	OKTOBER	52	35,08	21,52	59,98	24,62
	NOVEMBER	36	34,37	22,78	74,91	24,66
	DESEMBER	91	28,58	20,77	74,75	18,82
2020	JANUARI	159	31,30	24,07	87,30	20,75
	FEBRUARI	20	31,27	24,21	87,04	19,22
	MARET	230	31,81	24,02	85,79	17,91
	APRIL	179	32,23	23,90	85,89	19,22
	MEI	405	32,69	24,28	86,35	16,52
	JUNI	465	32,48	22,85	83,81	14,85
	JULI	591	32,59	22,05	79,55	17,51
	AGUSTUS	77	34,33	21,97	63,02	20,83
	SEPTEMBER	251	34,22	22,46	69,19	20,63
	OKTOBER	135	34,23	22,61	74,55	21,30
	NOVEMBER	137	32,62	23,32	84,68	17,97
	DESEMBER	89	26,35	20,32	78,66	18,96

LAMPIRAN III PROSES PENGOLAHAN DATA METODE PARTIAL LEAST SQUARE REGRESSION

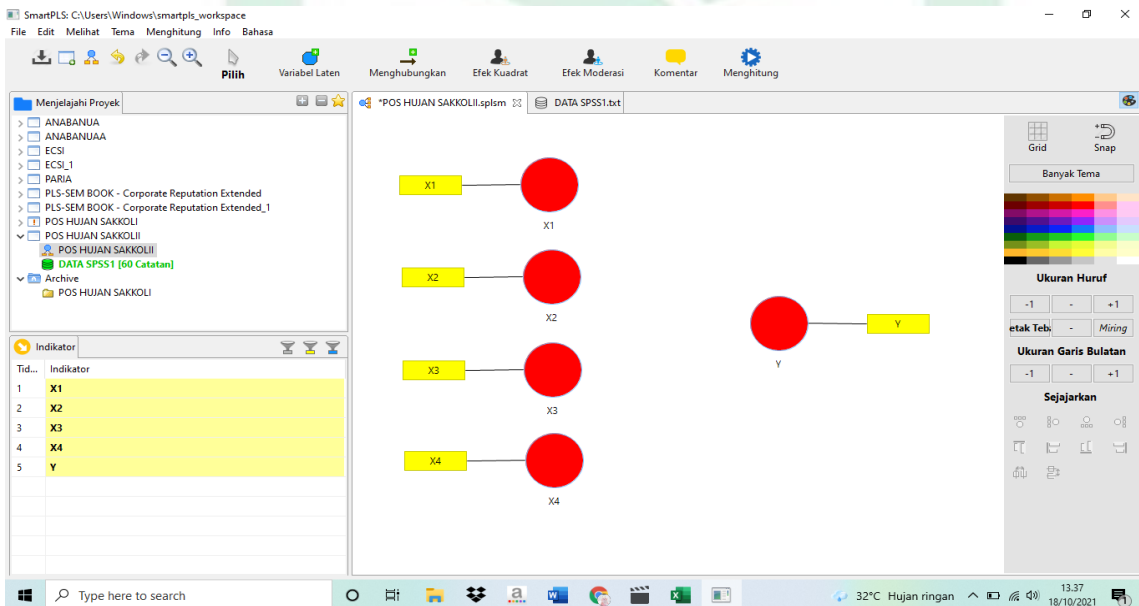
TAMPILAN ANTARMUKA SOFTWARE SMARTPLS.



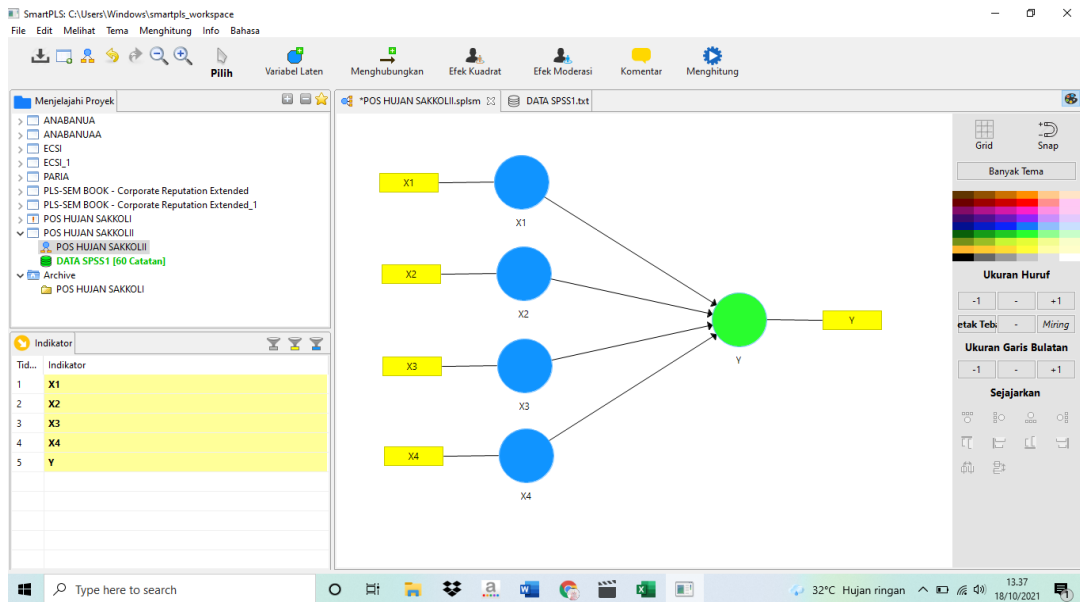
M A K A S S A R



PENENTUAN MODEL KONSTRUK (FORMATIF)



M A K A S S A R



1. POS Hujan SAKKOLI

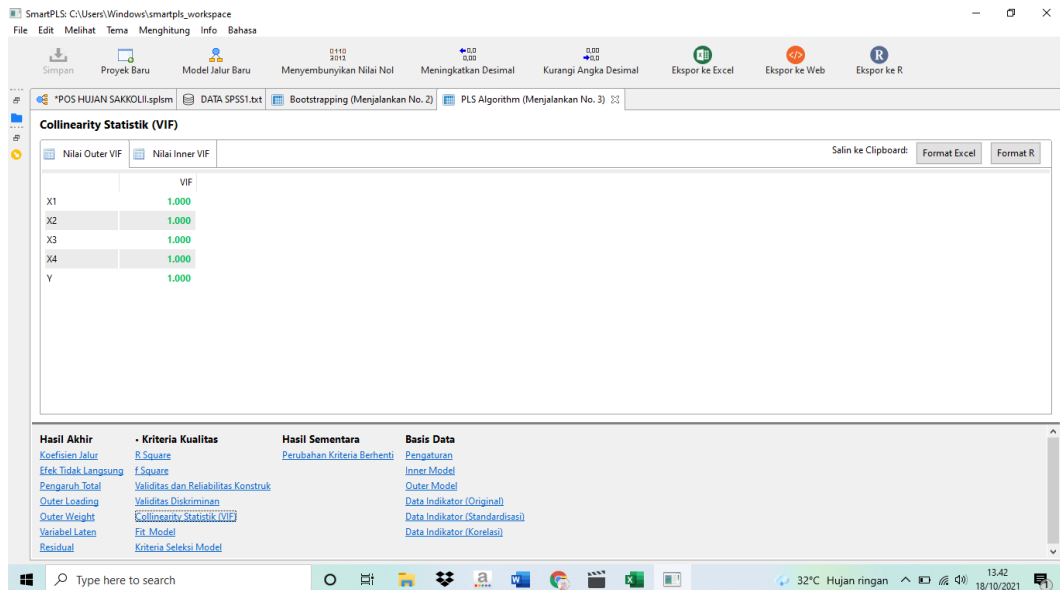
a. OUTER MODEL (MODEL PENGUKURAN)

Hasil pengolahan pada data outer model berupa nilai *outer weight* dan nilai *VIF*.

The screenshot shows the 'Outer Weight' results window in SmartPLS. The window title is 'Bootstrapping (Menjalankan No. 2)'. It contains a table with the following data:

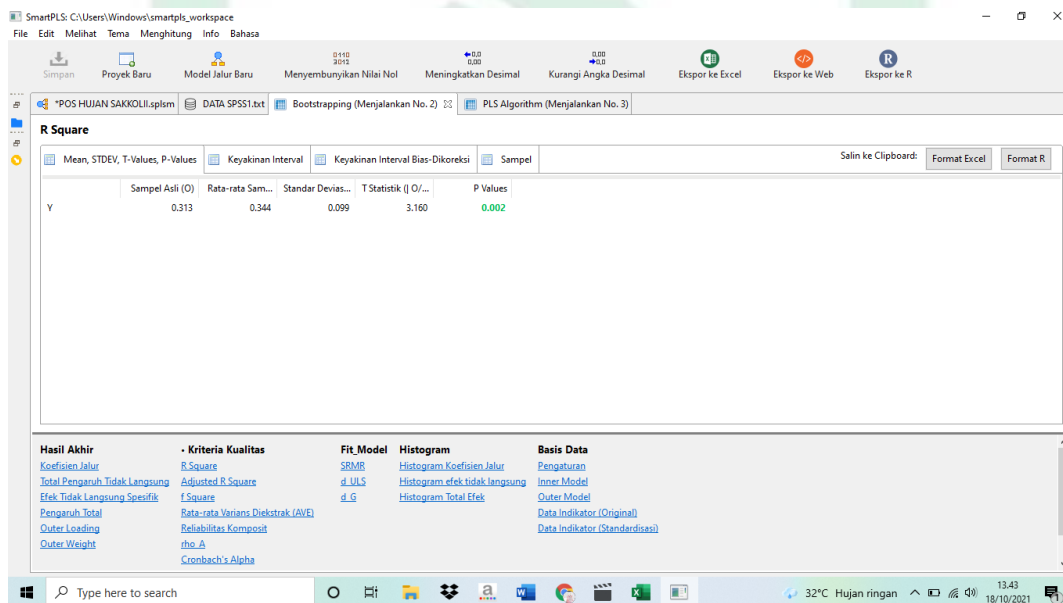
	Sampel Asli (O)	Rata-rata Sam...	Standar Devias...	T Statistik (O/...	P Values
X1 <- X1	1.000	1.000	0.000	0.000	0.000
X2 <- X2	1.000	1.000	0.000	0.000	0.000
X3 <- X3	1.000	1.000	0.000	0.000	0.000
X4 <- X4	1.000	1.000	0.000	0.000	0.000
Y <- Y	1.000	1.000	0.000	0.000	0.000

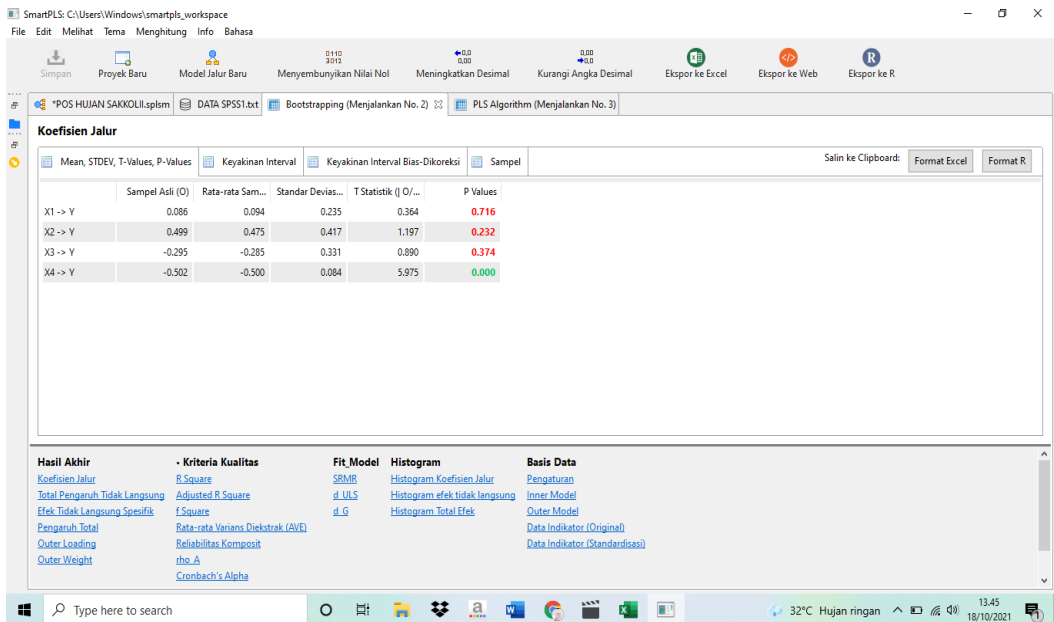
Below the table, there are several sections: 'Hasil Akhir' with links for 'Koefisien Jalur', 'Total Pengaruh Tidak Langsung', 'Efek Tidak Langsung Spesifik', 'Pengaruh Total', 'Outer Loading', and 'Outer Weight'; 'Kriteria Kualitas' with links for 'R Square', 'Adjusted R Square', 'f Square', 'Rata-rata Varians Diekstrak (AVE)', 'Reliabilitas Komposit', 'rho_A', and 'Cronbach's Alpha'; 'Fit Model' with links for 'SRMR', 'd_ULS', and 'd_G'; 'Histogram' with links for 'Histogram Koefisien Jalur', 'Histogram efek tidak langsung', and 'Histogram Total Efek'; and 'Basis Data' with links for 'Pengaturan', 'Inner Model', 'Outer Model', 'Data Indikator (Original)', and 'Data Indikator (Standarisasi)'. The taskbar at the bottom shows the system clock as 13:42 on 18/10/2021.



b. INNER MODEL (MODEL STRUKTURAL)

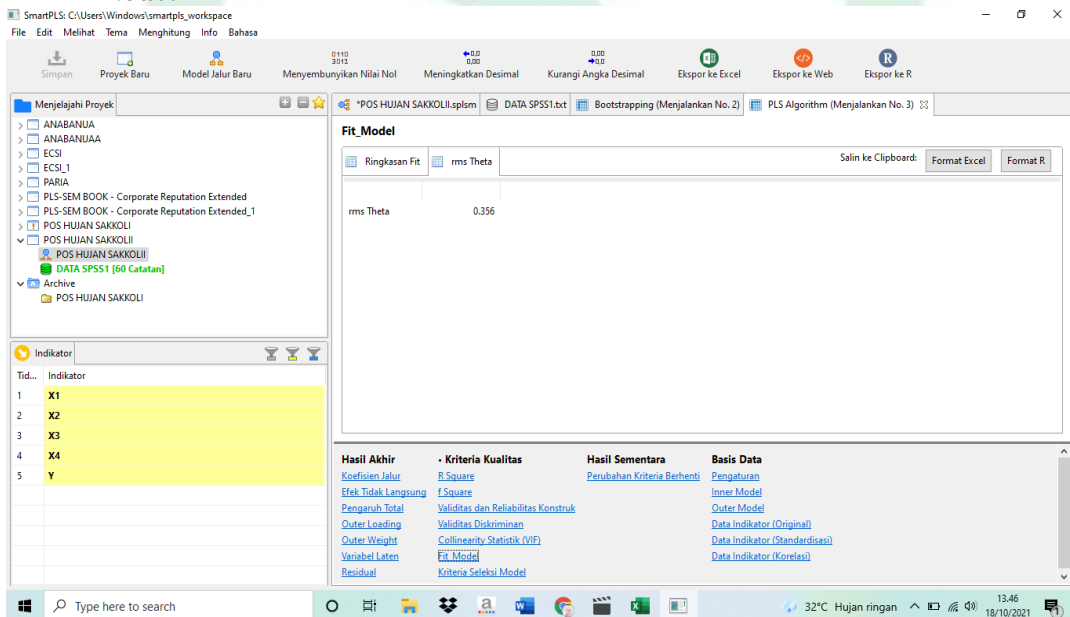
Hasil pengolahan pada data inner model berupa nilai *R square* dan nilai koefisien jalur



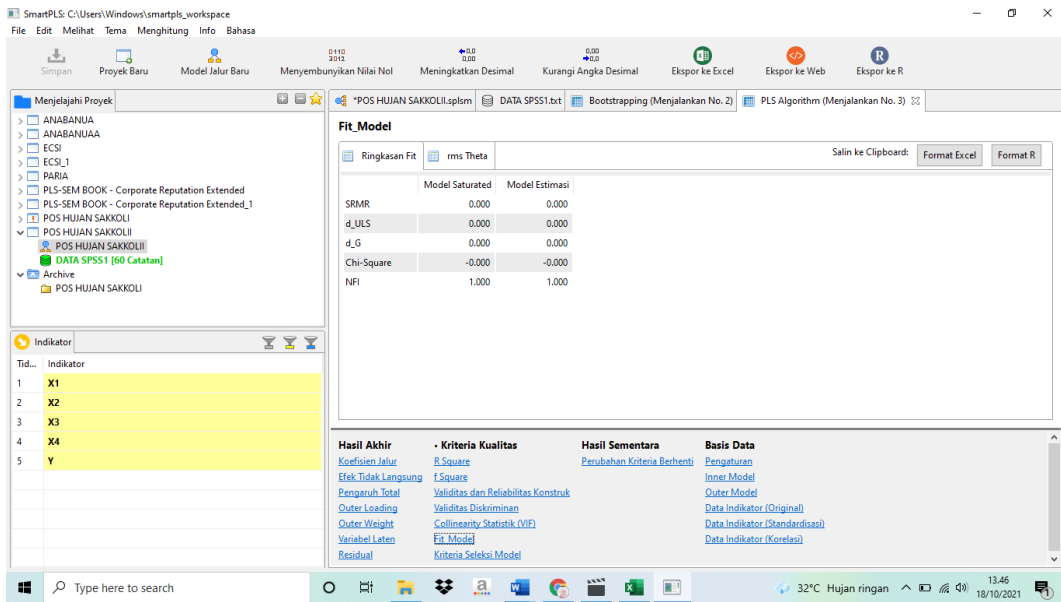


c. GOODNESS OF FIT

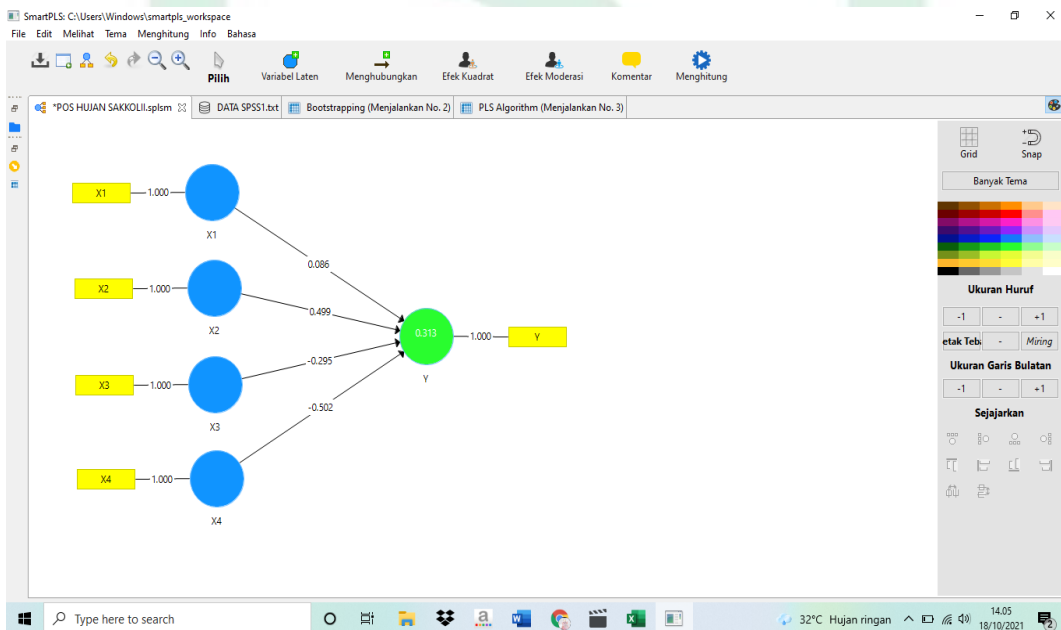
Hasil pengolahan data untuk *goodness of fit* berupa nilai rms dan nilai *fit model*



M A K A S S A R



HASIL KELUARAN DARI PENGOLAHAN DATA UNTUK POS HUJAN SAKKOLI



*Data selengkapnya dapat dilihat pada link Google Drive berikut:
<https://drive.google.com/file/d/1st4zGyjTLhbqWNL4gyY6Nu3rlyZXyB8m/view?usp=sharing>

LAMPIRAN IV
PROSES PENGOLAHAN DATA
METODE JARINGAN SYARAF TIRUAN

1. POS HUJAN SAKKOLI
a. PELATIHAN JARINGAN

Syntax pelatihan jaringan, sebagai berikut:

```
clc; clear; close all; warning off all;

%membaca data asli dari file excel
data_asli = xlsread('Book1.xlsx',1,'B4:M8');
%melakukan tranpose terhadap data asli
data_asli = data_asli';
%mengubah matriks mejadi bentuk vektor
data_asli = data_asli(:);
%men cari nilai minimal dan maksimal dari data asli
min_data = min(data_asli);
max_data = max(data_asli);
%proses normalisasi data
[m,n] = size(data_asli);
data_norm = zeros(m,n);
for x = 1:m
    for y = 1:n
        data_norm(x,y) = (0.8*(data_asli(x,y)-min_data)/(max_data-
min_data));
    end
end

%menyiapkan data latih normalisasi
tahun_latih = 4; %tahun 2016 s.d tahun 2019
jumlah_bulan = 12;
data_latih_norm = zeros(jumlah_bulan*tahun_latih-
jumlah_bulan,jumlah_bulan);
%menyusun data latih normalisasi
for m = 1:jumlah_bulan*tahun_latih-jumlah_bulan
    for n = 1:jumlah_bulan
        data_latih_norm(m,n) = data_norm(m+n-1);
    end
end

%menyiapkan target latih normalisasi
target_latih_norm = zeros(jumlah_bulan*tahun_latih-
jumlah_bulan,1);
for m = 1:jumlah_bulan*tahun_latih-jumlah_bulan
    target_latih_norm(m) = data_norm(jumlah_bulan+m); %tahun
2017 s.d 2019
end

%melakukan transpose terhadap data latih normalisasi dan target
latih
%normalisasi
```

```

data_latih_norm = data_latih_norm';
target_latih_norm = target_latih_norm';

%menerapkan parameter JST
jumlah_neuron1 = 100;
fungsi_aktivasi1 = 'logsig';
fungsi_aktivasi2 = 'logsig';
fungsi_pelatihan = 'trainlm';

%membangun arsitektur JST backpropagation
rng('default')
jaringan = newff(minmax(data_latih_norm), [jumlah_neuron1 1], ...
    {fungsi_aktivasi1, fungsi_aktivasi2}, fungsi_pelatihan);

%melakukan pelatihan jaringa
jaringan = train(jaringan, data_latih_norm, target_latih_norm);

%membangun hasil pelatihan
hasil_latih_norm = sim(jaringan, data_latih_norm);

%melakukan denormalisasi terhadap hasil latih normalisasi
hasil_latih_asli = round(hasil_latih_norm*(max_data-
min_data)+min_data);

%membaca target latih asli
target_latih_asli =
data_asli(jumlah_bulan+1:jumlah_bulan*tahun_latih); %tahun 2017
s.d tahun 2019

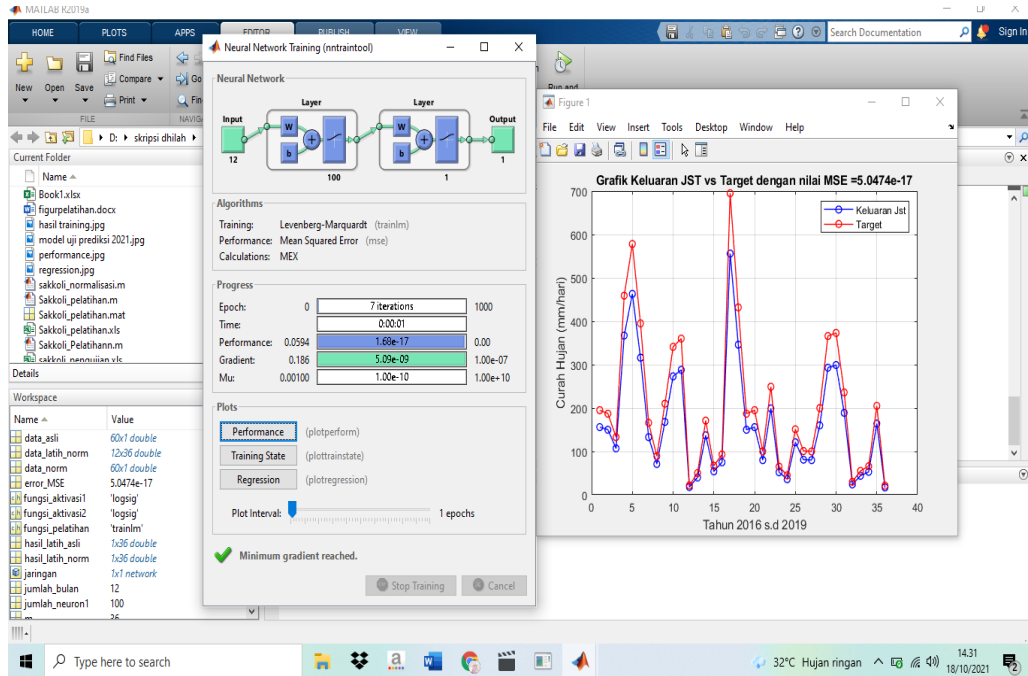
%menghitung nilaiMSE
nilai_error = hasil_latih_norm-target_latih_norm;
error_MSE = (1/n)*sum(nilai_error.^2);
RMSE = sqrt(Error_MSE);

%menampilkan grafik hasil pelatihan
figure
plot(hasil_latih_asli, 'bo-', 'LineWidth', 1)
hold on
plot(target_latih_asli, 'ro-', 'LineWidth', 1)
grid on
title(['Grafik Keluaran JST vs Target dengan nilai MSE
=', num2str(error_MSE)])
xlabel('Tahun 2016 s.d 2019')
ylabel('Curah Hujan (mm/hari)')
legend('Keluaran Jst', 'Target')
hold off

%menyimpan arsitektur JST hasil pelatihan
save Sakkoli_Pelatihan jaringan

```

Hasil Running Pelatihan Jaringan, Sebagai Berikut:



Workspace:

Name	Value
data_asli	60x1 double
data_latih_norm	12x36 double
data_norm	60x1 double
error_MSE	5.0474e-17
fungsi_aktivasi1	'logsig'
fungsi_aktivasi2	'logsig'
fungsi_pelatihan	'trainlm'
hasil_latih_asli	36x1 double
hasil_latih_norm	1x36 double
jaringan	1x1 network
jumlah_bulan	12
jumlah_neuron1	100
m	36
max_data	820
min_data	1
n	12
nilai_error	1x36 double
tahun_latih	4
target_latih_asli	36x1 double
target_latih_norm	1x36 double
x	60
y	1

```
1 - clc; clear; close all; warning off all;
2
3 %membaca data asli dari file excel
4 data_asli = xlsread('Book1.xlsx',1,'B4:M8');
5 %melakukan tranpose terhadap data asli
6 data_asli = data_asli';
7 %mengubah matriks mejadi bentuk vektor
8 data_asli = data_asli(:);
9 %mencari nilai minimal dan maksimal dari data asli
10 min_data = min(data_asli);
11 max_data = max(data_asli);
12 %proses normalisasi data
13 [m,n] = size(data_asli);
14 data_norm = zeros(m,n);
15 for x = 1:m;
16     for y = 1:n;
17         data_norm(x,y) = (0.8*(data_asli(x,y)-min_data)/(max_data-min_data));
18
19 Command Window
20 f3 >>
```

b. PENGUJIAN JARINGAN

Syntax pengujian jaringan, sebagai berikut:

```
clc; clear; close all; warning off all;

%membaca data asli dari file excel
data_asli = xlsread('Book1.xlsx',1,'B4:M8');
%melakukan tranpose terhadap data asli
data_asli = data_asli';
%mengubah matriks mejadi bentuk vektor
data_asli = data_asli(:);
%men cari nilai minimal dan maksimal dari data asli
min_data = min(data_asli);
max_data = max(data_asli);
%proses normalisasi data
[m,n] = size(data_asli);
data_norm = zeros(m,n);
for x = 1:m
    for y = 1:n
        data_norm(x,y) = ((0.8*(data_asli(x,y)-
min_data))/(max_data-min_data)+0.1);
    end
end

%menyiapkan data uji normalisasi
tahun_latih = 4;      %tahun 2016 s.d tahun 2019
tahun_uji = 2;       %tahun 2019 s.d tahun 2020
jumlah_bulan = 12;
data_uji_norm = zeros(jumlah_bulan*tahun_uji-
jumlah_bulan,jumlah_bulan);
%menyusun data uji normalisasi
for m = 1:jumlah_bulan*tahun_uji-jumlah_bulan
    for n = 1:jumlah_bulan
        data_uji_norm(m,n) = data_norm(m+n-1+(tahun_latih-
1)*jumlah_bulan); %tahun 2019 s.d tahun 2020
    end
end

%menyiapkan target uji normalisasi
target_uji_norm = zeros(jumlah_bulan*tahun_uji-jumlah_bulan,1);
for m = 1:jumlah_bulan*tahun_uji-jumlah_bulan
    target_uji_norm(m) = data_norm(jumlah_bulan+m+(tahun_latih-
1)*jumlah_bulan); %tahun 2019 s.d 2020
end

%melakukan transpose terhadap data uji normalsasi dan target uji
%normalisasi
data_uji_norm = data_uji_norm';
target_uji_norm = target_uji_norm';

%memanggil arsitektur JST hasil pelatihan
load Sakkoli_pelatihan jaringan
```



```

    %membaca hasil pengujian
    hasil_uji_norm = sim(jaringan,data_uji_norm);

    %melakukan denormalisasi terhadap hasil uji normalisasi
    hasil_uji_asli = round(hasil_uji_norm*(max_data-
    min_data)+min_data);

    %membaca target uji asli
    target_uji_asli = data_asli(jumlah_bulan+1+(tahun_latih-
    1)*jumlah_bulan:...
    jumlah_bulan*tahun_uji+(tahun_latih-1)*jumlah_bulan);

    %menghitung nilai error MSE
    nilai_error = hasil_uji_norm-target_uji_norm;
    error_MSE = (1/n)*sum(nilai_error.^2);
    RMSE = sqrt(Error_MSE);

    %menampilkan grafik hasil pengujian
    figure
    plot(hasil_uji_asli,'ko-','LineWidth',2)
    hold on
    plot(target_uji_asli,'go-','LineWidth',2)
    grid on
    title(['Grafik Keluaran JST Vs Target dengan nilai MSE =
    ',num2str(error_MSE)])
    xlabel('Tahun 2020')
    ylabel('Curah Hujan (mm/hari)')
    legend('Keluaran JST','Target')
    hold off

    %Menyiapkan data prediksi normalisasi
    data_prediksi_norm = hasil_uji_norm(end-11:end);
    %melakukan transpose terhadap data prediksi normalisasi
    data_prediksi_norm = data_prediksi_norm';

    %melakukan prediksi
    hasil_prediksi_norm = sim(jaringan,data_prediksi_norm); %januari
    2021

    for n = 1:11
        data_prediksi_norm = [data_prediksi_norm(end-10:end);
        data_prediksi_norm(end)];
        hasil_prediksi_norm =
        [hasil_prediksi_norm,sim(jaringan,data_prediksi_norm)];
    end

    %melakukan denormalisasi terhadap hasil prediksi normalisasi
    hasil_prediksi_asli = round(hasil_prediksi_norm*(max_data-
    min_data)+min_data);

    %menampilkan grafik hasil prediksi
    figure
    plot(hasil_prediksi_asli,'mo-','LineWidth',2)
    grid on
    title('Prediksi Tahun 2021')

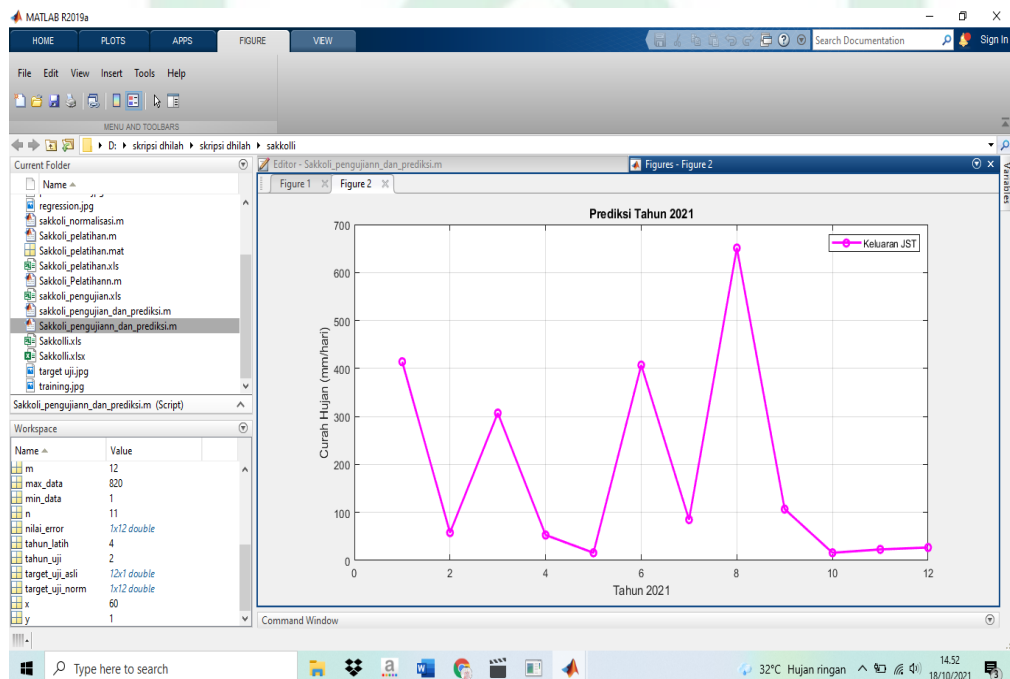
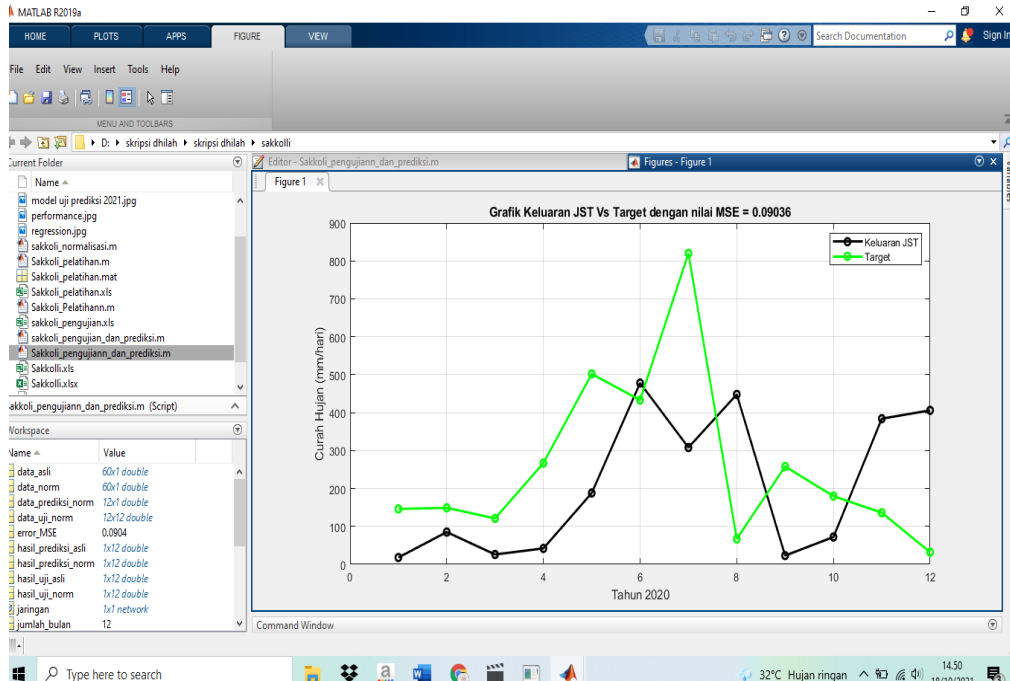
```

```

xlabel('Tahun 2021')
ylabel('Curah Hujan (mm/hari)')
legend('Keluaran JST')

```

Hasil Running Pengujian Jaringan, Sebagai Berikut:



*Data selengkapnya dapat dilihat pada link Google Drive sebagai berikut:
<https://drive.google.com/file/d/1st4zGyjTLhbqWNL4gyY6Nu3rlyZXyB8m/view?usp=sharing>

HASIL PENGOLAHAN DATA METODE JARINGAN SYARAF TIRUAN

A. PELATIHAN DATA

1. NORMALISASI DATA

Normalisasi data pos hujan Sakkoli

	JANUARI	FEBRUARI	MARET	APRIL	MEI	JUNI	JULI	AGUSTUS	SEPTEMBER	OKTOBER	NOVEMBER	DESEMBER
2016	0,109	0,164	0,203	0,228	0,350	0,559	0,171	0,122	0,105	0,100	0,144	0,203
	0,164	0,203	0,228	0,350	0,559	0,171	0,122	0,105	0,100	0,144	0,203	0,289
	0,203	0,228	0,350	0,559	0,171	0,122	0,105	0,100	0,144	0,203	0,289	0,282
	0,228	0,350	0,559	0,171	0,122	0,105	0,100	0,144	0,203	0,289	0,282	0,229
	0,350	0,559	0,171	0,122	0,105	0,100	0,144	0,203	0,289	0,282	0,229	0,547
	0,559	0,171	0,122	0,105	0,100	0,144	0,203	0,289	0,282	0,229	0,547	0,664
	0,171	0,122	0,105	0,100	0,144	0,203	0,289	0,282	0,229	0,547	0,664	0,485
	0,122	0,105	0,100	0,144	0,203	0,289	0,282	0,229	0,547	0,664	0,485	0,261
	0,105	0,100	0,144	0,203	0,289	0,282	0,229	0,547	0,664	0,485	0,261	0,186
	0,100	0,144	0,203	0,289	0,282	0,229	0,547	0,664	0,485	0,261	0,186	0,304
	0,144	0,203	0,289	0,282	0,229	0,547	0,664	0,485	0,261	0,186	0,304	0,432
	0,203	0,289	0,282	0,229	0,547	0,664	0,485	0,261	0,186	0,304	0,432	0,451

	JANUARI	FEBRUARI	MARET	APRIL	MEI	JUNI	JULI	AGUSTUS	SEPTEMBER	OKTOBER	NOVEMBER	DESEMBER
2017	0,289	0,282	0,229	0,547	0,664	0,485	0,261	0,186	0,304	0,432	0,451	0,121
	0,282	0,229	0,547	0,664	0,485	0,261	0,186	0,304	0,432	0,451	0,121	0,148
	0,229	0,547	0,664	0,485	0,261	0,186	0,304	0,432	0,451	0,121	0,148	0,266
	0,547	0,664	0,485	0,261	0,186	0,304	0,432	0,451	0,121	0,148	0,266	0,164
	0,664	0,485	0,261	0,186	0,304	0,432	0,451	0,121	0,148	0,266	0,164	0,190
	0,485	0,261	0,186	0,304	0,432	0,451	0,121	0,148	0,266	0,164	0,190	0,778
	0,261	0,186	0,304	0,432	0,451	0,121	0,148	0,266	0,164	0,190	0,778	0,521
	0,186	0,304	0,432	0,451	0,121	0,148	0,266	0,164	0,190	0,778	0,521	0,282
	0,304	0,432	0,451	0,121	0,148	0,266	0,164	0,190	0,778	0,521	0,282	0,289
	0,432	0,451	0,121	0,148	0,266	0,164	0,190	0,778	0,521	0,282	0,289	0,197
	0,451	0,121	0,148	0,266	0,164	0,190	0,778	0,521	0,282	0,289	0,197	0,342
	0,121	0,148	0,266	0,164	0,190	0,778	0,521	0,282	0,289	0,197	0,342	0,163

	JANUARI	FEBRUARI	MARET	APRIL	MEI	JUNI	JULI	AGUSTUS	SEPTEMBER	OKTOBER	NOVEMBER	DESEMBER
2018	0,148	0,266	0,164	0,190	0,778	0,521	0,282	0,289	0,197	0,342	0,163	0,143
	0,266	0,164	0,190	0,778	0,521	0,282	0,289	0,197	0,342	0,163	0,143	0,247
	0,164	0,190	0,778	0,521	0,282	0,289	0,197	0,342	0,163	0,143	0,247	0,198
	0,190	0,778	0,521	0,282	0,289	0,197	0,342	0,163	0,143	0,247	0,198	0,197
	0,778	0,521	0,282	0,289	0,197	0,342	0,163	0,143	0,247	0,198	0,197	0,294
	0,521	0,282	0,289	0,197	0,342	0,163	0,143	0,247	0,198	0,197	0,294	0,457
	0,282	0,289	0,197	0,342	0,163	0,143	0,247	0,198	0,197	0,294	0,457	0,463
	0,289	0,197	0,342	0,163	0,143	0,247	0,198	0,197	0,294	0,457	0,463	0,330
	0,197	0,342	0,163	0,143	0,247	0,198	0,197	0,294	0,457	0,463	0,330	0,128
	0,342	0,163	0,143	0,247	0,198	0,197	0,294	0,457	0,463	0,330	0,128	0,153
	0,163	0,143	0,247	0,198	0,197	0,294	0,457	0,463	0,330	0,128	0,153	0,163
	0,143	0,247	0,198	0,197	0,294	0,457	0,463	0,330	0,128	0,153	0,163	0,299

***Data selengkapnya dapat dilihat pada link google drive sebagai berikut:**

<https://drive.google.com/file/d/1st4zGyjTLhbqWNL4gyY6Nu3rlyZXyB8m/view?usp=sharing>

2. DATA PELATIHAN

Data pelatihan pos hujan Sakkoli

TAHUN	BULAN											
	JANUARI	FEBRUARI	MARET	APRIL	MEI	JUNI	JULI	AGUSTUS	SEPTEMBER	OKTOBER	NOVEMBER	DESEMBER
2016	10	67	106	132	257	471	74	24	6	1	46	106
2017	195	187	133	459	578	395	166	89	210	341	360	22
2018	50	171	67	93	695	432	187	195	100	249	65	45
2019	151	101	100	200	366	373	236	30	55	66	205	21

***untuk data selengkapnya dapat dilihat pada link google drive berikut:**

<https://drive.google.com/file/d/1st4zGyjTLhbqWNL4gyY6Nu3rlyZXyB8m/view?usp=sharing>

3. TARGET PELATIHAN

Target pelatihan pos hujan Sakkoli

TAHUN	BULAN											
	JANUARI	FEBRUARI	MARET	APRIL	MEI	JUNI	JULI	AGUSTUS	SEPTEMBER	OKTOBER	NOVEMBER	DESEMBER
2017	195	187	133	459	578	395	166	89	210	341	360	22
2018	50	171	67	93	695	432	187	195	100	249	65	45
2019	151	101	100	200	366	373	236	30	55	66	205	21

***untuk data selengkapnya dapat dilihat pada link google drive berikut:**

<https://drive.google.com/file/d/1st4zGyjTLhbqWNL4gyY6Nu3rlyZXyB8m/view?usp=sharing>

4. HASIL PELATIHAN

Hasil pelatihan pos hujan Sakkoli

TAHUN	BULAN											
	JANUARI	FEBRUARI	MARET	APRIL	MEI	JUNI	JULI	AGUSTUS	SEPTEMBER	OKTOBER	NOVEMBER	DESEMBER
2017	238	232	188	449	545	398	215	153	250	355	370	100
2018	122	219	136	157	638	428	232	238	162	281	134	118
2019	203	163	162	242	375	381	271	106	126	135	246	99

***untuk data selengkapnya dapat dilihat pada link google drive berikut:**

<https://drive.google.com/file/d/1st4zGyjTLhbqWNL4gyY6Nu3rlyZXyB8m/view?usp=sharing>

5. FUNGSI AKTIVASI

Fungsi aktivasi yang digunakan yakni fungsi aktivasi sigmoid biner diantaranya logsig1 , logsig2 , dan fungsi pelatihan yang digunakan yaitu trainlm .

6. NILAI ERROR

Nilai error pos hujan sakkoli

TAHUN	BULAN											
	JANUARI	FEBRUARI	MARET	APRIL	MEI	JUNI	JULI	AGUSTUS	SEPTEMBER	OKTOBER	NOVEMBER	DESEMBER
2017	5,00E-10	9,00E-11	1,60E-10	1,20E-10	1,80E-10	3,80E-10	7,30E-11	2,70E-10	9,60E-11	4,80E-11	4,60E-10	4,00E-10
2018	1,70E-10	1,80E-10	1,90E-10	1,00E-10	2,40E-10	6,00E-11	1,80E-12	1,40E-11	1,40E-10	1,90E-10	8,40E-11	8,80E-11
2019	1,80E-10	6,00E-13	1,60E-10	1,50E-11	9,60E-11	1,40E-10	7,80E-12	1,10E-09	2,40E-10	1,40E-10	5,90E-10	2,30E-09

*untuk data selengkapnya dapat dilihat pada link google drive berikut:

<https://drive.google.com/file/d/1st4zGyjTLhbqWNL4gyY6Nu3rlyZXyB8m/view?usp=sharing>

B. PENGUJIAN DATA

1. DATA PENGUJIAN

Data pengujian pos hujan Sakkoli

TAHUN	BULAN											
	JANUARI	FEBRUARI	MARET	APRIL	MEI	JUNI	JULI	AGUSTUS	SEPTEMBER	OKTOBER	NOVEMBER	DESEMBER
2019	151	101	100	200	366	373	236	30	55	66	205	21
2020	146	149	121	267	502	433	820	67	258	180	136	32

*untuk data selengkapnya dapat dilihat pada link google drive sebagai berikut:

<https://drive.google.com/file/d/1st4zGyjTLhbqWNL4gyY6Nu3rlyZXyB8m/view?usp=sharing>

2. TARGET PENGUJIAN

Target pengujian pos hujan Sakkoli

TAHUN	BULAN											
	JANUARI	FEBRUARI	MARET	APRIL	MEI	JUNI	JULI	AGUSTUS	SEPTEMBER	OKTOBER	NOVEMBER	DESEMBER
2020	146	149	121	267	502	433	820	67	258	180	136	32

*untuk data selengkapnya dapat dilihat pada link google drive sebagai berikut:

<https://drive.google.com/file/d/1st4zGyjTLhbqWNL4gyY6Nu3rlyZXyB8m/view?usp=sharing>

3. HASIL PENGUJIAN

Hasil pengujian pos hujan Sakkoli

TAHUN	BULAN											
	JANUARI	FEBRUARI	MARET	APRIL	MEI	JUNI	JULI	AGUSTUS	SEPTEMBER	OKTOBER	NOVEMBER	DESEMBER
2020	88	306	201	461	478	352	210	660	101	82	437	414

*untuk data selengkapnya dapat dilihat pada link google drive sebagai berikut:

<https://drive.google.com/file/d/1st4zGyjTLhbqWNL4gyY6Nu3rlyZXyB8m/view?usp=sharing>

4. NILAI ERROR

Nilai error pos hujan Sakkoli

TAHUN	BULAN											
	JANUARI	FEBRUARI	MARET	APRIL	MEI	JUNI	JULI	AGUSTUS	SEPTEMBER	OKTOBER	NOVEMBER	DESEMBER
2020	0,135	0,128	0,027	0,202	0,008	0,094	0,645	0,640	0,228	0,177	0,300	0,374

*untuk data selengkapnya dapat dilihat pada link google drive sebagai berikut:

<https://drive.google.com/file/d/1st4zGyjTLhbqWNL4gyY6Nu3rlyZXyB8m/view?usp=sharing>

LAMPIRAN V
HASIL MODEL UJI PREDIKSI 2021

1. Metode Partial Least Square Regression

	BULAN	POS HUJAN		
		SAKKOLI	PARIA/MAJENNANG	ANABANUA
2021	JANUARI	125	236	131
	FEBRUARI	128	117	0
	MARET	101	192	204
	APRIL	247	374	153
	MEI	483	387	380
	JUNI	415	374	441
	JULI	802	487	567
	AGUSTUS	52	80	56
	SEPTEMBER	241	247	228
	OKTOBER	162	103	110
	NOVEMBER	116	145	111
	DESEMBER	12	59	63

2. Metode Jaringan Syaraf Tiruan

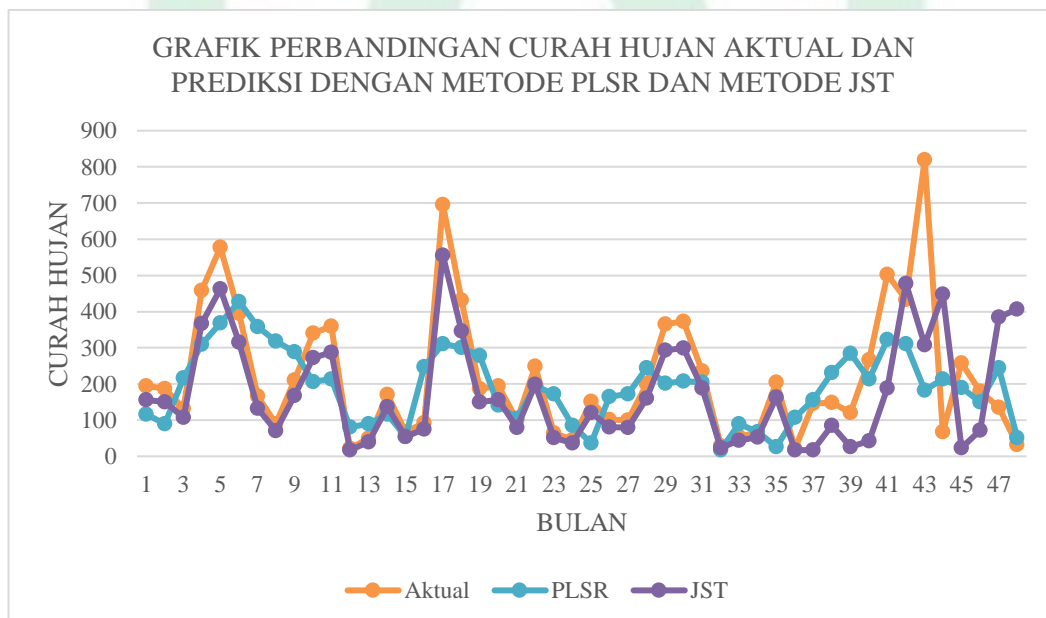
	BULAN	POS HUJAN		
		SAKKOLI	PARIA/MAJENNANG	ANABANUA
2021	JANUARI	414	231	93
	FEBRUARI	58	288	125
	MARET	307	370	73
	APRIL	53	368	571
	MEI	16	379	419
	JUNI	407	260	493
	JULI	85	118	110
	AGUSTUS	651	90	94
	SEPTEMBER	107	109	73
	OKTOBER	16	163	127
	NOVEMBER	23	174	135
	DESEMBER	27	121	132

LAMPIRAN VI
PERBANDINGAN CURAH HUJAN AKTUAL DAN PREDIKSI

1. Pos Hujan Sakkoli

TAHUN	BULAN	NILAI PERBANDINGAN CURAH HUJAN METODE PLSR DAN METODE JST			
		AKTUAL		PREDIKSI	
		PLSR	JST	PLSR	JST
2017	JANUARI	195	195	116	156
	FEBRUARI	187	187	89	150
	MARET	133	133	217	107
	APRIL	459	459	309	367
	MEI	578	578	368	463
	JUNI	395	395	428	316
	JULI	166	166	358	133
	AGUSTUS	89	89	319	71
	SEPTEMBER	210	210	289	168
	OKTOBER	341	341	206	273
	NOVEMBER	360	360	213	288
	DESEMBER	22	22	81	18
2018	JANUARI	50	50	89	40
	FEBRUARI	171	171	116	137
	MARET	67	67	54	54
	APRIL	93	93	248	75
	MEI	695	695	311	556
	JUNI	432	432	300	346
	JULI	187	187	278	150
	AGUSTUS	195	195	141	156
	SEPTEMBER	100	100	105	80
	OKTOBER	249	249	194	199
	NOVEMBER	65	65	172	52
	DESEMBER	45	45	85	36
2019	JANUARI	151	151	36	121
	FEBRUARI	101	101	165	81
	MARET	100	100	172	80
	APRIL	200	200	244	160
	MEI	366	366	202	293
	JUNI	373	373	207	299
	JULI	236	236	204	189

TAHUN	BULAN	NILAI PERBANDINGAN CURAH HUJAN METODE PLSR DAN METODE JST			
		AKTUAL		PREDIKSI	
		PLSR	JST	PLSR	JST
2019	AGUSTUS	30	30	18	24
	SEPTEMBER	55	55	89	44
	OKTOBER	66	66	68	53
	NOVEMBER	205	205	27	164
	DESEMBER	21	21	108	17
2020	JANUARI	146	146	156	18
	FEBRUARI	149	149	231	85
	MARET	121	121	285	26
	APRIL	267	267	214	42
	MEI	502	502	323	188
	JUNI	433	433	311	478
	JULI	820	820	183	308
	AGUSTUS	67	67	213	448
	SEPTEMBER	258	258	190	23
	OKTOBER	180	180	150	72
	NOVEMBER	136	136	244	384
	DESEMBER	32	32	52	406

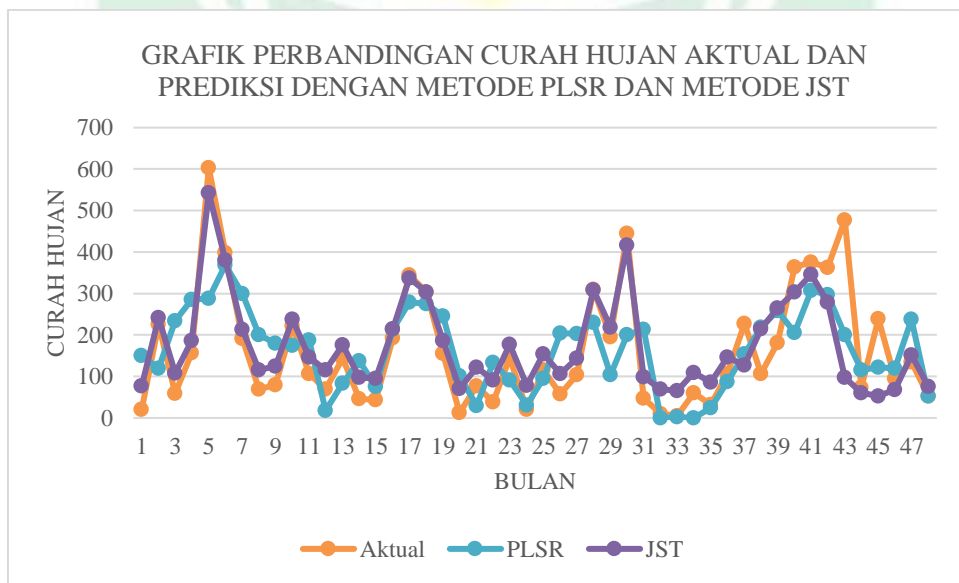


Grafik Nilai Perbandingan Curah Hujan Aktual dan Prediksi dengan Menggunakan Metode PLSR dan Metode JST

2. Pos Hujan Paria/Majennang

TAHUN	BULAN	NILAI PERBANDINGAN CURAH HUJAN METODE PLSR DAN METODE JST			
		AKTUAL		PREDIKSI	
		PLSR	JST	PLSR	JST
2017	JANUARI	20	20	150	77
	FEBRUARI	226	226	120	242
	MARET	59	59	234	108
	APRIL	157	157	286	186
	MEI	603	603	288	543
	JUNI	399	399	369	380
	JULI	191	191	299	214
	AGUSTUS	69	69	201	116
	SEPTEMBER	79	79	180	124
	OKTOBER	222	222	175	238
	NOVEMBER	106	106	188	146
	DESEMBER	69	69	18	116
2018	JANUARI	144	144	83	176
	FEBRUARI	46	46	138	98
	MARET	43	43	76	95
	APRIL	193	193	213	215
	MEI	345	345	279	337
2018	JUNI	303	303	275	303
	JULI	156	156	245	186
	AGUSTUS	13	13	101	71
	SEPTEMBER	77	77	30	122
	OKTOBER	38	38	134	91
	NOVEMBER	145	145	91	177
	DESEMBER	21	21	31	78
2019	JANUARI	116	116	95	154
	FEBRUARI	58	58	204	107
	MARET	104	104	203	144
	APRIL	310	310	230	309
	MEI	196	196	104	218
	JUNI	445	445	201	417
	JULI	48	48	214	99
	AGUSTUS	10	10	0	69
	SEPTEMBER	5	5	3	65
	OKTOBER	60	60	0	109
	NOVEMBER	32	32	24	86
	DESEMBER	107	107	87	146

TAHUN	BULAN	NILAI PERBANDINGAN CURAH HUJAN DENGAN METODE PLSR DAN METODE JST			
		AKTUAL		PREDIKSI	
		PLSR	JST	PLSR	JST
2020	JANUARI	227	227	154	127
	FEBRUARI	107	107	219	215
	MARET	181	181	259	265
	APRIL	364	364	206	303
	MEI	375	375	307	346
	JUNI	362	362	297	279
	JULI	477	477	201	97
	AGUSTUS	73	73	115	60
	SEPTEMBER	239	239	122	53
	OKTOBER	95	95	120	68
	NOVEMBER	135	135	238	151
	DESEMBER	52	52	53	76



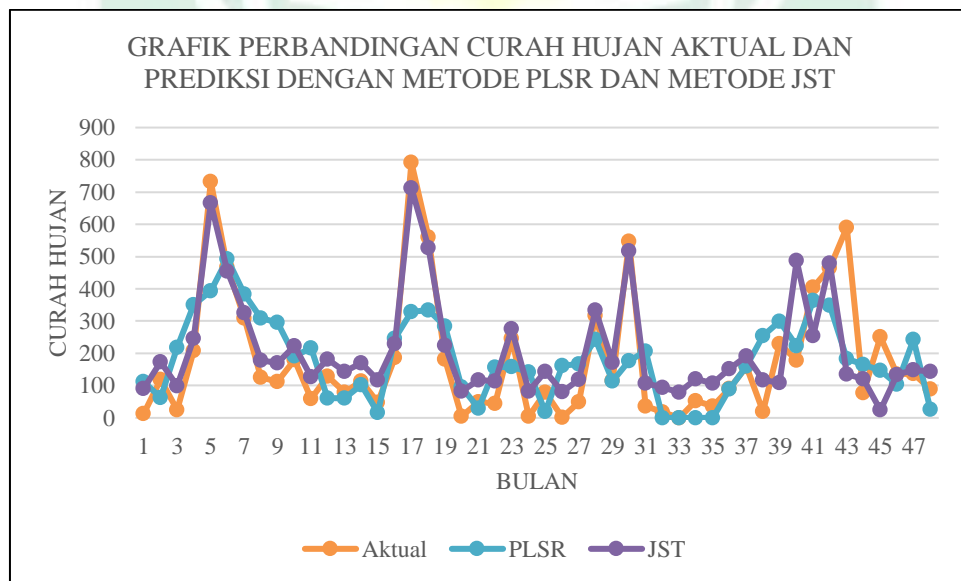
Grafik Nilai Perbandingan Curah Hujan Aktual dan Prediksi dengan Metode PLSR dan Metode JST

M A K A S S A R

3. Pos Hujan Anabanua

TAHUN	BULAN	NILAI PERBANDINGAN CURAH HUJAN DENGAN METODE PLSR DAN METODE JST			
		AKTUAL		PREDIKSI	
		PLSR	JST	PLSR	JST
2017	JANUARI	13	13	113	90
	FEBRUARI	119	119	62	174
	MARET	25	25	218	99
	APRIL	209	209	351	246
	MEI	733	733	393	666
	JUNI	468	468	493	454
	JULI	309	309	384	326
	AGUSTUS	125	125	309	179
	SEPTEMBER	113	113	296	170
	OKTOBER	180	180	192	223
	NOVEMBER	60	60	216	127
	DESEMBER	128	128	61	182
2018	JANUARI	80	80	61	143
	FEBRUARI	114	114	102	170
	MARET	47	47	17	117
	APRIL	187	187	247	229
	MEI	792	792	329	713
	JUNI	560	560	334	527
	JULI	182	182	285	225
	AGUSTUS	4	4	95	82
	SEPTEMBER	49	49	30	118
	OKTOBER	44	44	157	114
	NOVEMBER	246	246	159	276
	DESEMBER	5	5	142	83
2019	JANUARI	80	80	19	143
	FEBRUARI	2	2	162	81
	MARET	50	50	167	119
	APRIL	318	318	243	334
	MEI	115	115	114	171
	JUNI	548	548	176	518
	JULI	36	36	207	108
	AGUSTUS	18	18	0	94
	SEPTEMBER	0	0	0	79
	OKTOBER	52	52	0	121
	NOVEMBER	36	36	0	108
	DESEMBER	91	91	89	152

TAHUN	BULAN	NILAI PERBANDINGAN CURAH HUJAN DENGAN METODE PLSR DAN METODE JST			
		AKTUAL		PREDIKSI	
		PLSR	JST	PLSR	JST
2020	JANUARI	159	159	161	192
	FEBRUARI	20	20	255	118
	MARET	230	230	299	109
	APRIL	179	179	223	487
	MEI	405	405	363	254
	JUNI	465	465	349	479
	JULI	591	591	184	136
	AGUSTUS	77	77	165	120
	SEPTEMBER	251	251	147	24
	OKTOBER	135	135	104	133
	NOVEMBER	137	137	243	149
	DESEMBER	89	89	27	143



Grafik Nilai Perbandingan Curah Hujan Aktual dan Prediksi Menggunakan Metode PLSR dan Metode JST

M A K A S S A R

**LAMPIRAN VII
NILAI T TABEL**

cum. prob	$t_{.50}$	$t_{.75}$	$t_{.80}$	$t_{.85}$	$t_{.90}$	$t_{.95}$	$t_{.975}$	$t_{.99}$	$t_{.995}$	$t_{.999}$	$t_{.9995}$
one-tail	0.50	0.25	0.20	0.15	0.10	0.05	0.025	0.01	0.005	0.001	0.0005
two-tails	1.00	0.50	0.40	0.30	0.20	0.10	0.05	0.02	0.01	0.002	0.001
df											
1	0.000	1.000	1.376	1.963	3.078	6.314	12.71	31.82	63.66	318.31	636.62
2	0.000	0.816	1.061	1.386	1.886	2.920	4.303	6.965	9.925	22.327	31.599
3	0.000	0.765	0.978	1.250	1.638	2.353	3.182	4.541	5.841	10.215	12.924
4	0.000	0.741	0.941	1.190	1.533	2.132	2.776	3.747	4.604	7.173	8.610
5	0.000	0.727	0.920	1.156	1.476	2.015	2.571	3.365	4.032	5.893	6.869
6	0.000	0.718	0.906	1.134	1.440	1.943	2.447	3.143	3.707	5.208	5.959
7	0.000	0.711	0.896	1.119	1.415	1.895	2.365	2.998	3.499	4.785	5.408
8	0.000	0.706	0.889	1.108	1.397	1.860	2.306	2.896	3.355	4.501	5.041
9	0.000	0.703	0.883	1.100	1.383	1.833	2.262	2.821	3.250	4.297	4.781
10	0.000	0.700	0.879	1.093	1.372	1.812	2.228	2.764	3.169	4.144	4.587
11	0.000	0.697	0.876	1.088	1.363	1.796	2.201	2.718	3.106	4.025	4.437
12	0.000	0.695	0.873	1.083	1.356	1.782	2.179	2.681	3.055	3.930	4.318
13	0.000	0.694	0.870	1.079	1.350	1.771	2.160	2.650	3.012	3.852	4.221
14	0.000	0.692	0.868	1.076	1.345	1.761	2.145	2.624	2.977	3.787	4.140
15	0.000	0.691	0.866	1.074	1.341	1.753	2.131	2.602	2.947	3.733	4.073
16	0.000	0.690	0.865	1.071	1.337	1.746	2.120	2.583	2.921	3.686	4.015
17	0.000	0.689	0.863	1.069	1.333	1.740	2.110	2.567	2.898	3.646	3.965
18	0.000	0.688	0.862	1.067	1.330	1.734	2.101	2.552	2.878	3.610	3.922
19	0.000	0.688	0.861	1.066	1.328	1.729	2.093	2.539	2.861	3.579	3.883
20	0.000	0.687	0.860	1.064	1.325	1.725	2.086	2.528	2.845	3.552	3.850
21	0.000	0.686	0.859	1.063	1.323	1.721	2.080	2.518	2.831	3.527	3.819
22	0.000	0.686	0.858	1.061	1.321	1.717	2.074	2.508	2.819	3.505	3.792
23	0.000	0.685	0.858	1.060	1.319	1.714	2.069	2.500	2.807	3.485	3.768
24	0.000	0.685	0.857	1.059	1.318	1.711	2.064	2.492	2.797	3.467	3.745
25	0.000	0.684	0.856	1.058	1.316	1.708	2.060	2.485	2.787	3.450	3.725
26	0.000	0.684	0.856	1.058	1.315	1.706	2.056	2.479	2.779	3.435	3.707
27	0.000	0.684	0.855	1.057	1.314	1.703	2.052	2.473	2.771	3.421	3.690
28	0.000	0.683	0.855	1.056	1.313	1.701	2.048	2.467	2.763	3.408	3.674
29	0.000	0.683	0.854	1.055	1.311	1.699	2.045	2.462	2.756	3.396	3.659
30	0.000	0.683	0.854	1.055	1.310	1.697	2.042	2.457	2.750	3.385	3.646
40	0.000	0.681	0.851	1.050	1.303	1.684	2.021	2.423	2.704	3.307	3.551
60	0.000	0.679	0.848	1.045	1.296	1.671	2.000	2.390	2.660	3.232	3.460
80	0.000	0.678	0.846	1.043	1.292	1.664	1.990	2.374	2.639	3.195	3.416
100	0.000	0.677	0.845	1.042	1.290	1.660	1.984	2.364	2.626	3.174	3.390
1000	0.000	0.675	0.842	1.037	1.282	1.646	1.962	2.330	2.581	3.098	3.300
Z	0.000	0.674	0.842	1.036	1.282	1.645	1.960	2.326	2.576	3.090	3.291
	0%	50%	60%	70%	80%	90%	95%	98%	99%	99.8%	99.9%
	Confidence Level										

Nilai t tabel digunakan sebagai pembanding untuk nilai t statistik yang diperoleh pada bagian koefisien jalur untuk metode *Partial Least Square Regression*.